

لَهُ الْحُكْمُ لِلرَّحْمَنِ  
وَإِلَيْهِ الْمُنْتَهَا



دانشکده : مهندسی برق و رباتیک

گروه : قدرت

طراحی بهینه اندازه منابع تولید توان در خودروی برقی پیل سوختی متصل به شبکه

دانشجو:

سید رضا عزیزی قلعه‌سری

استاد راهنما:

دکتر امین حاجی‌زاده

استاد مشاور:

دکتر مرتضی رحیمیان

پایان‌نامه جهت اخذ درجه کارشناسی ارشد

۱۳۹۳ دی

شماره : ۱۳۴۴ / آ.ت.ب

تاریخ : ۹۷/۱۰/۲۲

ویرایش :

بسمه تعالیٰ



مدیریت تحصیلات تکمیلی  
فرم شماره (۶)

فرم صور تجلیسه دفاع پایان نامه تحصیلی دوره کارشناسی ارشد

با تأییدات خداوند متعال و با استعانت از حضرت ولی عصر (عج) جلسه دفاع از پایان نامه کارشناسی ارشد خانم / آقای :

رضا عزیزی قلعه سری گرایش: قدرت (ماشینهای الکتریکی) رشته: برق

تحت عنوان: طراحی بهینه اندازه منابع تولیدتوان در خودروی برقی پیل سوختی متصل به شبکه که در تاریخ ۹۷/۱۰/۲۲ با حضور هیأت محترم داوران در دانشگاه صنعتی شاهروд برگزار گردید به شرح زیر است:

<input type="checkbox"/> مردود	<input type="checkbox"/> دفاع مجدد	<input checked="" type="checkbox"/> امتیاز <u>۱۵</u>	قبول (با درجه: <u>برق</u> )
--------------------------------	------------------------------------	--	-----------------------------

۱- عالی (۱۹ - ۲۰) ۲- بسیار خوب (۱۸ - ۱۸/۹۹)

۳- خوب (۱۷/۹۹ - ۱۶) ۴- قابل قبول (۱۵/۹۹ - ۱۴)

۵- نمره کمتر از ۱۴ غیر قابل قبول

عضو هیأت داوران	نام و نام خانوادگی	مرتبه علمی	امضاء
۱- استاد راهنمای	احسن حسینی	استاد	
۲- استاد مشاور	هرمنی رحیمه	استاد	
۳- نماینده شورای تحصیلات تکمیلی	تمدنی بازآزاد	دکتری انسانی	
۴- استاد ممتحن	میرزا الفی	استاد	
۵- استاد ممتحن	حسن احمدی	استاد	

رؤیس دانشگاه:

## تقدیم

به پدر بزرگوار و مادر مهربانم، به آن دو فرشته‌ای که از خواسته‌هایشان گذشتند، سختی‌ها را به جان خریدند و خود را سپر بلای مشکلات و ناملایمات کردند تا من به جایگاهی که امروز در آن ایستاده‌ام  
برسم.

## تقدیر و تشکر:

تشکر و سپاس بی‌پایان مخصوص خدایی است که بشر را آفریده و به او قدرت اندیشیدن داده و توانایی‌های بالقوه را در وجود انسان قرار داده و او را امر به تلاش و کوشش نموده و راهنمایی‌ای را برای هدایت بشر فرستاده است.

پس از ارادت خاضعانه به درگاه خداوند بی همتا لازم است از استاد ارجمند و گرانقدر جناب آقای دکتر امین حاجی‌زاده به خاطر سعهی صدر و رهتمودهای دلسوزانه که در تهیه‌ی این تحقیق مرا مورد لطف خود قرار دادند و راهنمایی‌های لازم را نمودند، صمیمانه سپاسگذاری می‌کنم. همچنین از استاد فرزانه و دلسوز جناب آقای دکتر رحیمیان که زحمت مشاوره این پایان‌نامه را در حالی متقبل شدند که بدون مساعدت ایشان، این کار به نتیجه مطلوب نمی‌رسید؛ همچنین بر خود لازم می‌دانم که از تمامی اساتیدی که در طول دوران تحصیل و یادگیری علم از محضر آن‌ها بهره جسته‌ام تشکر و قدردانی کنم و موفقیت همگان را از درگاه احادیث خواهانم.

# تعهد نامه

اینجانب ..... دانشجوی دوره کارشناسی ارشد رشته ..... دانشکده

..... دانشگاه صنعتی شاهرود نویسنده پایان نامه .....

تحقیقات در این پایان نامه توسط اینجانب انجام شده است و از صحت و اصالت برخوردار است.

در استفاده از نتایج پژوهش‌های محققان دیگر به مرجع مورد استفاده استناد شده است.

مطالب مندرج در پایان نامه تاکنون توسط خود یا فرد دیگری برای دریافت هیچ نوع مدرک یا امتیازی در هیچ جا ارائه نشده است.

کلیه حقوق معنوی این اثر متعلق به دانشگاه صنعتی شاهرود می باشد و مقالات مستخرج با نام «دانشگاه صنعتی شاهرود» و یا «Shahrood University of Technology» به چاپ خواهد رسید.

حقوق معنوی تمام افرادی که در به دست آمدن نتایج اصلی پایان نامه تأثیرگذار بوده اند در مقالات مستخرج از پایان نامه رعایت می گردد.

در کلیه مراحل انجام این پایان نامه ، در مواردی که از موجود زنده ( یا بافت‌های آنها ) استفاده شده است ضوابط و اصول اخلاقی رعایت شده است.

در کلیه مراحل انجام این پایان نامه، در مواردی که به حوزه اطلاعات شخصی افراد دسترسی یافته یا استفاده شده است اصل رازداری ، ضوابط و اصول اخلاق انسانی رعایت شده است

## تاریخ

## امضای دانشجو

### مالکیت نتایج و حق نشر

کلیه حقوق معنوی این اثر و محصولات آن (مقالات مستخرج، کتاب، برنامه های رایانه ای، نرم افزار ها و تجهیزات ساخته شده است ) متعلق به دانشگاه صنعتی شاهرود می باشد.

این مطلب باید به نحو مقتضی در تولیدات علمی مربوطه ذکر شود.

استفاده از اطلاعات و نتایج موجود در پایان نامه بدون ذکر مرجع مجاز نمی باشد.

## چکیده :

در این پایان نامه دو روش بهینه سازی برای یک خودرو هایبرید پیل سوختی / باتری با قابلیت اتصال به شبکه معرفی می شود. در ابتدا به معرفی یک مدل تئوری برای توصیف ارتباط بین پارامترهای انتقال توان و عملکرد خودرو می پردازیم. بررسی نتایج نشان می دهد که در شرایط کار معمولی موتور الکتریکی، حداکثر سرعت و مسافت طی شونده توسط خودرو به صورت خطی تحت تأثیر پارامترهایی مثل راندمان پیل، توان خروجی پیل، جرم هیدروژن ذخیره شده مخزن، توان جانبی، ظرفیت باتری و مقاومت متوسط باتری قرار می گیرند. علاوه بر این زمان شتاب نیز به صورت خطی به پارامترهای ذکر شده به غیر از پارامترهای مرتبط با باتری بستگی دارد. در ادامه با طرح یک مسئله بهینه سازی سعی در کمینه کردن هزینه کلی سیستم خودرو می نماییم که این هزینه شامل هزینه ثابت (هزینه خرید باتری و پیل سوختی) و هزینه نگهداری و عملکرد خودرو (هزینه هیدروژن مصرفی و الکتریسیته دریافتی از شبکه) می باشد. در ادامه با در نظر گرفتن یک سری قیود سعی در حداقل کردن هزینه ثابت و نگهداری خودرو می نماییم. با حل مسئله بهینه سازی و به دست آوردن مقدادیر بهینه سپس برای تایید درستی عملکرد خودرو با استفاده از نرم افزار ADVISOR صحت و درستی نتایج را نشان می دهیم. در پایان با استفاده از الگوریتم ژنتیک و با استفاده از قابلیت نرم افزار ADVISOR اقدام به حل مسئله بهینه سازی در دو سیکل حرکتی استاندارد می نماییم.

**کلمات کلیدی:** خودروی برقی، پیل سوختی، باتری، خودروی هایبرید پیل سوختی، متصل به شبکه،

بهینه سازی، تابع هزینه

## لیست مقالات استخراجی از پایان نامه:

عزیزی قلعه‌سری، سید رضا و امین حاجی‌زاده، ۱۳۹۳، تعیین اندازه بهینه منابع تغذیه خودرو هایبرید پیل سوختی متصل به شبکه، بیست و نهمین کنفرانس بین‌المللی برق، تهران.

## فهرست مطالب

### فصل اول : مقدمه

۱-۱-۱- پیشگفتار .....	۱
۲..... آلدگی هوا .....	۲
۳-۱-۱- تغییرات جهانی آب و هوا .....	۴
۳-۱-۱- سیستم انرژی و هزینه هیدروژن .....	۵
۲-۱- پیل سوختی هیدروژنی .....	۶
۱-۲-۱- تاریخچه پیل سوختی .....	۹
۲-۲-۱- مزایا و معایب .....	۱۰
۱-۲-۲-۱- مزایای پیل سوختی: .....	۱۰
۲-۲-۲-۱- معایب پیل سوختی: .....	۱۱
۱-۳- خودروهای الکتریکی .....	۱۲
۱-۴- خودروهای پیل سوختی .....	۱۳
۱-۴-۱- خودروهای پیل سوختی (ساده) .....	۱۳
۱-۴-۲- خودروهای پیل سوختی ترکیبی (هاიبریدی).....	۱۴
۱-۴-۳- انواع پیل‌های سوختی مورداستفاده در صنعت خودرو .....	۱۵
۱-۴-۴-۱- پیل سوختی الکترولیت پلیمر جامد: .....	۱۵
۱-۴-۴-۲- پیل سوختی متابول مستقیم: .....	۱۵
۱-۴-۴-۳- اهداف پایان نامه .....	۱۶

## ۱-۴-۵- ساختار پایان نامه ..... ۱۶

### فصل دوم: معرفی انواع ساختار خودروی برقی و پیل سوختی

۱-۱- مقدمه ..... ۲۰

۱-۲- خودروهای احتراق داخلی ICE ..... ۲۰

۱-۳- خودروهای الکتریکی باتری دار ..... ۲۲

۱-۴- خودروهای الکتریکی هایبرید سری ..... ۲۳

۱-۵- خودروی الکتریکی هایبرید موازی ..... ۲۵

۱-۶- خودروی هایبرید سری-موازی ..... ۲۶

۱-۷- خودروی هایبرید مخلوط ..... ۲۶

۱-۸- خودروی هایبرید با قابلیت اتصال به شبکه ..... ۲۷

۱-۹- خودروی پیل سوختی ..... ۲۸

۱-۱۰- خودروی هایبرید پیل سوختی متصل به شبکه ..... ۳۰

۱-۱۱- مروری بر پژوهش‌های قبلی در زمینه طراحی خودروهای پیل سوختی ..... ۳۰

### فصل سوم : مدل‌سازی ریاضی خودروی برقی پیل سوختی و معرفی تابع هدف

۳-۱- مدل تئوری خودرو ..... ۳۴

۳-۱-۱- ساختار خودروی هایبرید پیل سوختی ..... ۳۴

۳-۱-۲- ارتباط بین عملکرد خودرو و پارامترهای انتقال توان ..... ۳۵

۳-۱-۲-۱- حداکثر سرعت ( $v_{max}$ ) ..... ۳۶

۳-۱-۲-۲- زمان شتاب ( $t_u$ ) ..... ۳۷

۳۸	..... حداکثر شیب بالارونده ( $\alpha_{\max}$ )	-۳-۲-۳
۳۹	..... استراتژی مدیریت انرژی	-۴-۲-۳
۴۰	..... حداکثر مسافت طی شونده تحت سرعت ثابت (L)	-۵-۲-۳
۴۱	..... هیدروژن مصرفی	-۶-۲-۳
۴۲	..... تعریف مسئله	-۳-۳

#### **فصل چهارم : بررسی عملکرد خودرو هایبرید پیل سوختی متصل به شبکه و بهینه-**

##### **سازی منابع تغذیه**

۴۶	..... تأثیر پارامترهای انتقال توان بر روی عملکرد خودرو	-۱-۴
۴۷	..... تأثیر پارامترهای مربوط به پیل سوختی ( $m_{hydro}$ و $P_{fc-\max}$ ، $\eta_{fc}$ )	-۱-۱-۴
۴۸	..... پارامترهای مربوط به باتری ( $R_{bat}$ و $C_{bat}$ )	-۲-۱-۴
۵۱	..... توان جانسی	-۳-۱-۴
۵۳	..... حل مساله بهینهسازی به روش مستقیم	-۲-۲-۴
۵۳	..... حداکثر سرعت	-۱-۲-۴
۵۵	..... زمان شتاب	-۲-۲-۴
۵۶	..... مسافت طی شونده	-۳-۲-۴
۵۷	..... بازنویسی قیود مسئله	-۴-۲-۴
۶۰	..... ADVISOR نتایج بدست آمده با استفاده از نرمافزار	-۳-۴
۶۰	..... ADVISOR معرفی نرمافزار	-۱-۳-۴
۶۱	..... شبیهسازی در سیکل رانندگی UDDS	-۲-۳-۴

۶۴ ..... ۴-۳-۳- شبیه‌سازی در سیکل رانندگی NEDC

## فصل پنجم : حل مساله بهینه‌سازی با استفاده از نرم‌افزار ADVISOR

۶۸ ..... ۵-۱- مقدمه

۶۸ ..... ۵-۱-۱- الگوریتم ژنتیک

۷۰ ..... ۵-۲- روش حل

۷۳ ..... ۵-۲-۱- تابع هدف

۷۵ ..... ۵-۲-۲- نتایج بهدست آمده در دو سیکل متفاوت

## فصل ششم : نتیجه‌گیری و پیشنهادات

۷۸ ..... ۶-۱- نتیجه‌گیری

۸۰ ..... ۶-۲- پیشنهادات

۸۱ ..... مراجع

## فهرست جداول

### شماره صفحه

جدول(۳-۱) مقادیر ضرایب $k_3$ و $k_4$ طی پنج سال گذشته.....	۴۴
جدول(۴-۱) پارامترهای خودرو سواری پراید .....	۴۶
جدول(۴-۲) مشخصات سیکل رانندگی UDDS.....	۶۱
جدول(۴-۳) نتایج تست حداکثر سرعت و زمان شتاب در سیکل NEDC	۶۴
جدول(۴-۴) مشخصات سیکل رانندگی NEDC.....	۶۴
جدول(۴-۵) نتایج تست حداکثر سرعت و زمان شتاب در سیکل NEDC	۶۶

## فصل پنجم

جدول (۵-۱) : قیود موردنظر در مسئله.....	۷۰
جدول (۵-۲) مشخصات کلی خودرو .....	۷۰
جدول (۵-۳) مشخصات انواع پیل سوختی موجود در ADVISOR	۷۰
جدول (۵-۴) مشخصات انواع موتور الکتریکی القایی به همراه کنترلر موجود در ADVISOR	۷۱
جدول (۵-۵) مشخصات انواع باتری موجود در ADVISOR	۷۲
جدول (۵-۶) حدود متغیرهای مسئله بهینهسازی	۷۳
جدول (۵-۷) نتایج بهینهسازی با استفاده از ADVISOR	۷۵
جدول (۵-۸) پارامترهای الگوریتم ژنتیک .....	۷۵

## فهرست اشکال

### شماره صفحه

۶ ..... شکل(۱-۱) شماتیک کلی پیل سوختی [۳]

## فصل دوم

۲۱ ..... شکل(۲-۱) طبقه بندی انواع مختلف خودروها بر اساس اندازه خودرو و مسافت طی شونده [۴]

۲۲ ..... شکل(۲-۲) : ساختار خودرو ICE [۶]

۲۳ ..... شکل(۲-۳) ساختار BEV

۲۴ ..... شکل(۲-۴) ساختار SHEV

۲۵ ..... شکل(۲-۵) ساختار خودروی هایبرید موازی

۲۶ ..... شکل(۲-۶) ساختار خودروی هایبرید سری-موازی

۲۷ ..... شکل(۲-۷) ساختار خودروی هایبرید مختلط

۲۹ ..... شکل(۲-۸) ساختار PHEV

۳۰ ..... شکل(۲-۹) خودروی هایبرید پیل سوختی

۳۱ ..... شکل(۲-۱۰) ساختار خودروی پیل سوختی متصل به شیکه با پیل سوختی RFC

۳۲ ..... شکل(۲-۱۱) استفاده از ابر خازن در خودروی پیل سوختی

۳۲ ..... شکل(۲-۱۲) (الف) نحوه آرایش پیل سوختی (ب) ساختار و آرایش پیل سوختی

## فصل سوم

۳۴ ..... شکل(۳-۱) ساختار خودروی برقی پیل سوختی/باتری

۳۸ ..... شکل(۳-۲) راندمان موتور بر حسب گشتاور و سرعت

۴۰ ..... شکل(۳-۳) استراتژی CDCS

## فصل چهارم

۴۷ ..... شکل (۴-۱) تأثیر پارامترهای پیل سوختی بر روی عملکرد خودرو

۴۸ ..... شکل (۴-۲) سیستم باتری خودرو

۴۹ ..... شکل (۴-۳) منحنی تغییرات ولتاژ مدارباز و مقاومت باتری بر حسب [۲۰]

شكل (۴-۴) تأثیر ظرفیت و مقاومت باتری بر حداکثر سرعت و زمان شتاب ..... ۵۱	
شكل (۴-۵) تأثیر ظرفیت و مقاومت باتری بر مسافت طی شونده ..... ۵۲	
شكل (۴-۶) تأثیر توان جانبی بر عملکرد خودرو ..... ۵۳	
شكل (۴-۷) نمودار سه بعدی تابع حداکثر سرعت بر حسب حداکثر توان پیل و ظرفیت باتری ..... ۵۴	
شكل (۴-۸) نمودار تابع حداکثر سرعت بر حسب حداکثر توان پیل و ظرفیت باتری ..... ۵۴	
شكل (۴-۹) نمودار سه بعدی تابع زمان شتاب بر حسب حداکثر توان پیل و ظرفیت باتری .. ۵۵	
شكل (۴-۱۰) نمودار تابع زمان شتاب بر حسب حداکثر توان پیل و ظرفیت باتری ..... ۵۶	
شكل (۴-۱۱) نمودار سه بعدی تابع مسافت L بر حسب جرم هیدروژن و ظرفیت باتری ..... ۵۷	
شكل (۴-۱۲) نمودار تابع مسافت L بر حسب جرم هیدروژن و ظرفیت باتری ..... ۵۷	
شكل (۴-۱۳) تأثیر ظرفیت باتری بر هزینه ثابت و هزینه نگهداری خودرو ..... ۵۹	
شكل (۴-۱۴) نمودار سرعت بر حسب مسافت در سیکل UDDS ..... ۶۲	
شكل (۴-۱۵) نمودار سرعت بر حسب زمان خودرو طراحی شده در سیکل UDDS ..... ۶۲	
شكل (۴-۱۶) تفاوت سرعت استاندارد سیکل و سرعت خودرو ..... ۶۳	
شكل (۴-۱۷) توان خروجی پیل سوختی در طول سیکل ..... ۶۳	
شكل (۴-۱۸) نمودار سرعت بر حسب زمان خودرو طراحی شده در سیکل NEDC ..... ۶۴	
شكل (۴-۱۹) نمودار سرعت بر حسب زمان خودرو طراحی شده در سیکل NEDC ..... ۶۵	
شكل (۴-۲۰) تفاوت سرعت استاندارد سیکل و سرعت خودرو ..... ۶۵	
شكل (۴-۲۱) توان خروجی پیل سوختی در طول سیکل NEDC ..... ۶۶	

## فصل پنجم

شكل (۵-۱) توان خروجی انواع موتور الکتریکی برحسب Power scale ۷۱

شكل (۵-۲) توان خروجی انواع پیل سوختی برحسب پارامتر Power scale ۷۲

شكل (۵-۳) استفاده از ADVISOR در الگوریتم ژنتیک ۷۴

# **فصل اول:**

## **مقدمه**

## ۱-۱- پیشگفتار

در دهه گذشته به سبب افزایش آلودگی‌های زیست‌محیطی ناشی از مصرف سوخت‌های فسیلی شرکت‌های بزرگ خودروسازی بیشتر توجه و تلاش خود را بر روی طراحی خودروهایی با آلایندگی و مصرف سوخت پایین معطوف نموده‌اند<sup>[۱]</sup>. استفاده از خودروهای الکتریکی<sup>۱</sup> به جهت برآورده نمودن اهداف موردنظر یک گام اساسی در این راستا بوده است؛ اما امروزه علی‌رغم پیشرفت‌های به عمل آمده در المان‌های الکترونیک قدرت و باتری‌ها، خودروهای الکتریکی با محدودیت‌های بسیاری روبرو بوده و تنها قابلیت استفاده در مسافت‌های محدود و کاربردهای خاص را دارا می‌باشند. به همین جهت تحقیقات و مطالعات پیرامون خودروهای برقی به سمت نوع هایبرید<sup>۲</sup> آن معطوف گردیده است. در این راستا استفاده از پیل سوختی پلیمری<sup>۳</sup> (PEM) به عنوان مولد انرژی الکتریکی به سبب چگالی توان و بازده بالا، طول عمر زیاد، آلودگی صوتی کم و عدم وجود قطعات و قسمت‌های متحرک و سازگاری مناسب با محیط‌زیست یک ایده مناسب برای شرکت‌های بزرگی نظیر جنرال موتورز، مرسدس بنز، فورد و ... بوده است. دلایل متعددی برای استفاده از پیل سوختی به عنوان منبع تولید توان در خودرو وجود دارد. البته این دلایل تا حد زیادی به نوع نگاه محققین بستگی دارد. با این حال برای راحتی کار این دلایل را به سه گروه آلودگی‌هوا، سیستم‌های انرژی و تغییرات آب‌وهوای جهانی تقسیم می‌کنیم.

### ۱-۱-۱- آلودگی‌هوا

علاقة به خودروهای برقی طی دهه‌های گذشته رشد چشمگیری داشته است. انگیزه اولیه برای توسعه وسایل نقلیه الکتریکی تجاری از زمانی مطرح شد که مردم متوجه مشکلات بهداشتی خود در ارتباط با آلودگی‌هوا شهری شدند<sup>[۲]</sup>. آلودگی‌هوا که حمل و نقل به عنوان عامل اصلی آن مطرح می‌شود، باعث تمایل بسیاری از دولت‌ها و مسئولین شهری و استانی به منظور کاهش این مشکل شده

<sup>۱</sup> Electric vehicles

<sup>۲</sup> Hybrid electric vehicles

<sup>۳</sup> Proton exchange membrane fuel cell

است. با افزایش تراکم و توسعه شهری در سرتاسر جهان، مسئله و خامت کیفیت هوای شهری با توجه به تولید گازهای گلخانه‌ای حاصل از خودروها تبدیل به یک مشکل جهانی شده است. فشار نظارتی بر تولیدکنندگان خودرو منجر به تولید خودروهایی با موتورهای با راندمان بالاتر، اتومبیل‌هایی با وزن سبک‌تر و آیرودینامیک بهتر و به کارگیری گستردۀ از فن‌آوری مبدل کاتالیستی<sup>۴</sup> شده است. علاوه بر این، انگیزه برای تحقیق در مورد امکان‌سنجی تولید خودروهای برقی برای رقابت و حتی جایگزینی خودروهای با موتور احتراق داخلی<sup>۵</sup> مطرح شد.

برای از بین بردن تولید گازهای گلخانه‌ای توسط خودروها چند شرکت تولیدکننده خودرو اقدام به تولید نمونه‌های توسعه‌یافته خودروهای برقی نموده‌اند. اگرچه عملکرد این خودروها در جاده قابل قبول بوده است؛ اما همه‌ی آن‌ها از مشکلات مربوط به ذخیره‌سازی انرژی و مدت‌زمان شارژ طولانی رنج می‌برند. در طرح اولیه از باتری سرب اسیدی<sup>۶</sup> و نیکل کادمیومی<sup>۷</sup> برای ذخیره انرژی استفاده شده بود، اما با این حال این باتری‌ها دارای ظرفیت محدود در مقایسه با مقدار انرژی ذخیره‌شده در یک خودرو معمولی با سوخت بنزین بوده‌اند. علاوه‌براین زمان لازم برای شارژ مجدد باتری‌ها به‌طور چشمگیری طولانی بوده است، درحالی‌که در خودروهای معمولی طی چند دقیقه مخزن بنزین پر می‌شود.

توانایی پیل سوختی برای حل این مشکل و تأمین برق بدون تولید گازهای گلخانه‌ای مضر، منجر به ایجاد علاقه برای استفاده از آن‌ها به عنوان منبع تولید توان در خودروها شده است. شرکت‌های خودروسازی بر این باورند با پیشرفت در زمینه پیل سوختی قادر به تولید خودروهایی بدون آلودگی و محدودیت‌های گفته‌شده، نظیر مدت‌زمان شارژ طولانی و برد مسافت کوتاه می‌باشند.

<sup>۴</sup> Catalytic converter

<sup>۵</sup> Internal combustion engine

<sup>۶</sup> Lead-acid

<sup>۷</sup> Nickel-cadmium

## ۱-۲- تغییرات جهانی آب و هوا

علاوه بر مشکل محلی مربوط به آلودگی هوا، گرمایش جهانی و تغییرات آب و هوایی ناشی از فعالیت‌های بشر یکی از مشکلات عمدۀ زیست‌محیطی است که در دو دهه اخیر توجه بسیاری از محافل علمی و سیاسی جهان را به خود جلب کرده است. معمولاً دگرگونی و تغییر در اقلیم، پدیده‌ای طبیعی است که در مقیاس زمانی چند هزار ساله رخ می‌دهد اما تغییرات اقلیمی که اخیراً به وقوع پیوسته، در مقایسه با تغییرات اقلیمی دو میلیون سال پیش بسیار شدیدتر بوده است و زمین در طول دو دهه گذشته به اوج گرمای خود در دو هزار سال اخیر رسیده است. در حال حاضر زمین  $0.6^{\circ}$  درجه سانتی‌گراد گرم‌تر از سال ۱۹۰۰ میلادی است. بسیاری از دانشمندان نسبت به گرمایش روزافزون زمین هشدار داده و برخی از آنان معتقدند که تنها یک دهه برای مقابله با این مشکل فرصت هست و پس از گذشت این مدت نجات کره زمین امکان پذیر نخواهد بود، زیرا حتی افزایش یک درجه‌ای دمای کره زمین سبب تغییرات فراوانی در آب‌وهوای کره زمین و شرایط زندگی موجودات زنده آن خواهد شد. دی‌اکسید کربن، متان، اکسید نیترو<sup>۸</sup>، پرفلوئوروکربن‌ها<sup>۹</sup>، هیدروفلوئوروکربن‌ها<sup>۱۰</sup> و سولفور هگزا‌فلوراید<sup>۱۱</sup> از گازهای گلخانه‌ای مهم هستند. مطالعات فراوانی بر روی تأثیر تولید گازهای گلخانه‌ای بر روی تغییرات آب‌وهوای جهانی انجام شده است. بخش حمل و نقل با تولید ۴۰ تا ۵۰ درصدی از گاز دی‌اکسید کربن موجود در هوا به عنوان یکی از اصلی‌ترین منابع این آلودگی محسوب می‌شود. اگرچه در کاهش تولید گازهای گلخانه‌ای در وسائل نقلیه احتراق داخلی پیشرفتهایی در زمینه بهبود موتور و هایبرید کردن آن وجود داشته است، اما در بهترین حالت نیز تولید گازهای گلخانه‌ای به نصف کاهش یافته است. برای رسیدن به یک کاهش اساسی در تولید گازهای گلخانه‌ای استفاده از وسائل نقلیه الکتریکی به عنوان یک رویکرد امیدوارکننده خواهد بود. وسائل نقلیه الکتریکی با استفاده از

<sup>۸</sup> N<sub>2</sub>O

<sup>۹</sup> PFC

<sup>۱۰</sup> HFC

<sup>۱۱</sup> SF<sub>6</sub>

باتری‌ها شرط رسیدن به یک وسیله نقلیه بدون آلودگی را برآورده می‌سازند، اما از آنجایی که عملکرد باتری‌ها بر اساس مقدار انرژی ذخیره شده هست در نتیجه عملکرد محدودی دارند. استفاده از پیل سوختی هیدروژنی به دلیل نداشتن هیچ‌گونه آلودگی و راندمان بیش از سه برابری نسبت به موتورهای احتراق داخلی ایده بسیار مناسبی برای رسیدن به تولید خودروهای بدون آلایندگی و با عملکرد مناسب می‌باشد.

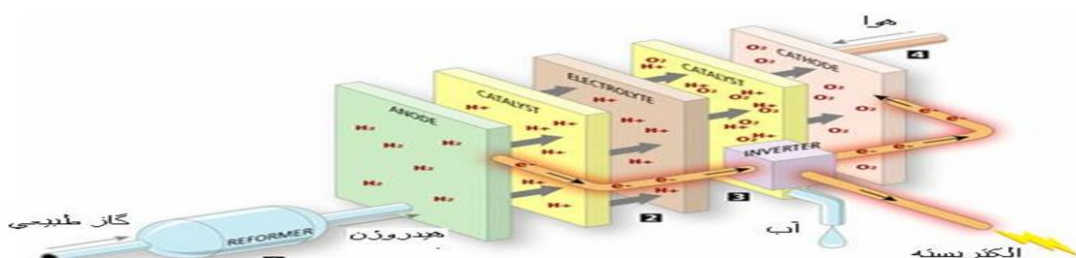
### ۱-۳-۱- سیستم انرژی و هزینه هیدروژن

مجموعه‌ای از عوامل مختلف از جمله محدودیت منابع فسیلی، تأثیرات منفی زیست محیطی، بهره‌گیری از منابع هیدروکربنی، افزایش قیمت سوخت‌های فسیلی، منازعات سیاسی و تأثیرات آن بر روی ارائه انرژی پایدار از جمله دلایلی هستند که بسیاری از سیاستمداران و متخصصین مباحث انرژی و محیط‌زیست را در حرکت به‌سوی ایجاد ساختاری نوین مبتنی بر امنیت ارائه انرژی، حفظ محیط‌زیست، ارتقاء کارایی سیستم انرژی و ادار نموده است. بر این اساس هیدروژن یکی از بهترین گزینه‌ها جهت ایفای نقش حامل انرژی در این سیستم جدید انرژی می‌باشد. هیدروژن به عنوان فراوان‌ترین عنصر موجود در سطح زمین به روش‌های مختلف قابل تولید می‌باشد. در یک سیستم ایده آل انرژی بر پایه هیدروژن با هدف تأمین امنیت ارائه انرژی، حفظ محیط‌زیست و ارتقاء کارایی سیستم انرژی، هیدروژن از الکتریسیته تولیدی از منابع تجدید پذیر نظیر باد، خورشید، زمین‌گرمایی و نظایر آن تولید شده و پس از ذخیره‌سازی و انتقال به محل‌های مصرف، در کاربردهای مختلف از جمله تجهیزات الکترونیکی کوچک (میلی وات)، صنعت حمل و نقل و صنایع نیروگاهی قابل به کارگیری است. با این رویکرد بسیاری بر این باورند که سوخت نهایی بشر هیدروژن بوده و بشر در آینده‌ای نه‌چندان دور عصر هیدروژن را تجربه خواهد نمود. از جمله ویژگی‌هایی که هیدروژن را از سایر گزینه‌های مطرح سوختی متمایز می‌نماید، می‌توان به فراوانی، انتشار بسیار ناچیز آلاینده‌ها، برگشت‌پذیر بودن چرخه تولید آن و کاهش اثرات گلخانه‌ای اشاره نمود. سیستم انرژی هیدروژنی به دلیل استقلال از منابع

اولیه انرژی، سیستم دائمی، پایدار، فناپذیر، فرآگیر و تجدید پذیر می‌باشد و پیش‌بینی می‌شود که در آینده‌ای نه‌چندان دور تولید و مصرف آن به عنوان حامل انرژی به سراسر اقتصاد جهانی سرایت نموده و اقتصاد هیدروژنی ثبیت شود؛ با این وجود نباید انتظار داشت که هیدروژن در بدو ورود از نظر قیمتی بتواند با سایر حامل‌های انرژی رقابت نماید. در آینده هیدروژن و پیل‌های سوختی می‌توانند نقش محوری و کنترل‌کننده‌ی در آلودگی شهرها داشته باشند. عمل تبدیل انرژی شیمیایی موجود در هیدروژن به انرژی الکتریکی توسط پیل سوختی انجام می‌پذیرد که متناسب با کاربرد و خواص ساختاری آن‌ها، پیل‌های سوختی خود به انواع مختلف تقسیم می‌شوند. در این اهمیت فناوری پیل سوختی در یک سیستم انرژی بر پایه هیدروژن (عصر هیدروژن) به گونه‌ای است که بسیاری آن را به لوکوموتیو قطار توسعه عصر هیدروژن تشبیه نموده‌اند. علاوه بر فناوری پیل سوختی به عنوان مصرف‌کننده هیدروژن در عصر هیدروژن، فناوری‌های تولید، ذخیره‌سازی، عرضه و انتقال هیدروژن نیز از اجزاء اصلی ساختار انرژی این عصر خواهد بود.

## ۱-۲- پیل سوختی هیدروژنی

پیل سوختی نوعی پیل الکتروشیمیایی است که انرژی شیمیایی حاصل از واکنش را مستقیماً به انرژی الکتریکی تبدیل می‌کند. سازه و بدنه اصلی پیل سوختی از الکترولیت، الکترود آند و الکترود کاتد تشکیل شده است. نمای کلی یک پیل سوختی به همراه گازهای واکنش‌دهنده و تولیدشده و مسیر حرکت یون‌ها در شکل (۱-۱) ارائه شده است.



شکل (۱-۱): شماتیک کلی پیل سوختی [۳]

پیل سوختی یک دستگاه تبدیل انرژی است که به لحاظ نظری تا زمانی که ماده اکسیدکننده و سوخت در الکترودهای آن تأمین شود قابلیت تولید انرژی الکتریکی را دارد. البته در عمل استهلاک، خوردگی و بد عمل کردن اجزای تشکیلدهنده، طول عمر پیل سوختی را کاهش می‌دهد. در یک پیل سوختی، سوخت به‌طور پیوسته به الکترود آند و اکسیژن به الکترود کاتد تزریق می‌شود و واکنش‌های الکتروشیمیایی در الکترودها انجام شده و با ایجاد پتانسیل الکتریکی جریان الکتریکی برقرار می‌گردد. اگرچه پیل سوختی اجزاء و ویژگی‌های مشابه یک باتری را دارد اما از بسیاری جهات با آن متفاوت است. باتری یک وسیله ذخیره انرژی است و بیشترین انرژی قابل استحصال از آن به‌وسیله میزان ماده شیمیایی واکنش‌دهنده که در خود باتری ذخیره شده است (عموماً در الکترودها) تعیین می‌شود. چنانچه ماده واکنش‌دهنده در باتری کاملاً مصرف شود، تولید انرژی الکتریکی متوقف خواهد شد (باتری تخلیه می‌شود). در باتری‌های نسل دوم ماده واکنش‌دهنده با شارژ مجدد، دوباره احیا می‌شود که این عمل مستلزم تأمین انرژی از یک منبع خارجی است. در این حالت نیز انرژی الکتریکی ذخیره شده در باتری محدود و وابسته به میزان ماده واکنش‌دهنده در آن خواهد بود.

گاز اکسیدکننده نظیر هوا یا اکسیژن خالص در الکترود کاتد که با صفحه الکترولیت در تماس است جریان پیدا می‌کند و با اکسیداسیون الکتروشیمیایی سوخت که معمولاً هیدروژن است و با احیاء اکسیدکننده انرژی شیمیایی گازهای واکنش‌گر به انرژی الکتریکی تبدیل می‌شود. از نظر تئوری، هر ماده‌ای که به‌صورت شیمیایی قابل اکسید شدن باشد و بتوان آن را به‌صورت پیوسته (به‌صورت سیال) به پیل سوختی تزریق کرد، می‌تواند به‌عنوان سوخت در الکترود آند پیل سوختی مورد استفاده قرار گیرد. به‌طور مشابه ماده اکسیدکننده سیالی است که بتواند با نرخ مناسبی احیا شود. گاز هیدروژن به دلیل تمایل واکنش دهنده‌گی بالا به همراه چگالی انرژی بالا به‌عنوان سوخت ایده آل در پیل سوختی مورد استفاده قرار می‌گیرد. هیدروژن را می‌توان از تبدیل هیدروکربن‌ها از طریق واکنش کاتالیستی تولید و به صورت‌های گوناگون ذخیره نمود. اکسیژن موردنیاز در پیل سوختی به‌طور مستقیم از هوا تهیه می‌شود. بر روی سطح الکترودهای آند و کاتد پیل سوختی واکنش اکسیداسیون و احیاء در

ناحیه سه فازی (و در صورت جامد بودن الکتروولیت دوفازی) نزدیک سطح مشترک واکنش‌دهنده‌ها، کاتالیست و الکتروولیت صورت می‌گیرد. این ناحیه سه فازی نقش مهمی در عملکرد الکتروشیمیایی پیل سوختی به‌ویژه پیل‌های سوختی با الکتروولیت مایع دارد. در این‌گونه پیل‌های سوختی، گازهای واکنش‌دهنده از میان یک لایه نازک از الکتروولیت که سطح الکترودهای متخلخل<sup>۱۲</sup> را پوشانده است عبور کرده و واکنش الکتروشیمیایی مناسب روی سطح الکترود مربوطه انجام می‌شود. چنانچه الکترود متخلخل حاوی مقادیر بیش از حد الکتروولیت باشد الکترود در اصطلاح غرق<sup>۱۳</sup> شده و به‌این ترتیب انتقال واکنشگرهای گازی محلول در الکتروولیت به مکان‌های واکنش محدود می‌شود. درنتیجه عملکرد الکتروشیمیایی الکترود متخلخل تضعیف می‌شود لذا ضروری است که در ساختار الکترودهای متخلخل یک تعادل مناسب بین الکترود، الکتروولیت و فاز گازی ایجاد شود. تلاش‌های اخیر جهت بهبود عملکرد واکنش الکتروشیمیایی، کاهش هزینه‌های تولید، کاهش ضخامت اجزای پیل سوختی و درعین حال اصلاح و بهبود ساختار الکترودها و فاز الکتروولیت متمرکز شده است. الکتروولیت با هدایت یون‌ها بین الکترودها سبب تکمیل مدار الکتریکی پیل سوختی می‌شود.

الکتروولیت یک مانع فیزیکی بین سوخت و گاز اکسیژن ایجاد می‌کند و مانع اختلاط مستقیم آن‌ها می‌شود. وظیفه صفحات الکترود متخلخل در پیل سوختی شامل موارد زیر است:

- ۱ - ایجاد یک سطح فعال و مناسب که واکنش‌های الکتروشیمیایی روی این سطوح انجام می‌شود.
- ۲ - هدایت یون‌های حاصل از واکنش به داخل یا خارج از ناحیه تبادل سه فازی و انتقال الکترون‌های تولیدی به مدار خارجی (الکترودها باید هدایت الکتریکی خوبی داشته باشد).

برای افزایش سطح تماس واکنش‌دهنده‌ها با کاتالیست لازم است که ساختار الکترود، متخلخل بوده و میزان سطح در دسترنس و پوشش داده شده توسط کاتالیست نسبت به حجم الکترود زیاد باشد.

<sup>۱۲</sup> Porous electrode

<sup>۱۳</sup> Flood

ساختار متخلخل دسترسی راحت اجزاء واکنش‌دهنده به مراکز فعال را میسر می‌سازد. نرخ واکنش‌های الکتروشیمی با افزایش دما افزایش پیدا می‌کند، لذا خاصیت کاتالیزوری الکترودها در پیل‌های سوختی دماپایین از اهمیت بیشتری در مقایسه با پیل سوختی دمابالا برخوردار است. الکترودهای متخلخل باید در هر دو طرف تماس با الکترولیت و گازهای واکنش‌دهنده، نفوذپذیر باشند تا حدی که توسط الکترولیت اشباع نشده و بهوسیله گازهای واکنش‌دهنده خشک نشوند.

## ۱-۲-۱- تاریخچه پیل سوختی

اگرچه پیل سوختی به تازگی به عنوان یکی از راهکارهای تولید انرژی الکتریکی مطرح شده است ولی تاریخچه آن به قرن نوزدهم و کار دانشمند انگلیسی سرویلیام گرو<sup>۱۴</sup> برمی‌گردد. او اولین پیل سوختی را در سال ۱۸۳۹ با سرمشق گرفتن از واکنش الکترولیز آب، طی واکنش معکوس و در حضور کاتالیست پلاتین ساخت. واژه پیل سوختی در سال ۱۸۸۹ توسط لودویک مند<sup>۱۵</sup> و چارلز لنجر<sup>۱۶</sup> به کار گرفته شد. آن‌ها نوعی پیل سوختی که هوا و سوخت زغال‌سنگ را مصرف می‌کرد، ساختند. تلاش‌های متعددی در اوایل قرن بیستم در جهت توسعه پیل سوختی انجام شد که به دلیل عدم درک علمی مسئله هیچ‌یک موفقیت‌آمیز نبود. علاقه به استفاده از پیل سوختی با کشف سوخت‌های فسیلی ارزان و رواج موتورهای بخار کمرنگ گردید. فصلی دیگر از تاریخچه تحقیقات پیل سوختی توسط فرانسیس بیکون<sup>۱۷</sup> از دانشگاه کمبریج انجام شد. او در سال ۱۹۳۲ بر روی ماشین ساخته شده توسط مند و لنجر اصلاحات بسیاری انجام داد. این اصلاحات شامل جایگزینی کاتالیست گران‌قیمت پلاتین با نیکل و همچنین استفاده از هیدروکسید پتاسیم قلیایی به جای اسید سولفوریک به دلیل مزیت عدم خورندگی آن می‌باشد. این اختراع که اولین پیل سوختی قلیایی بود، "Bacon Cell" نامیده شد. او ۲۷ سال تحقیقات خود را ادامه داد تا توانست یک پیل سوختی کامل و کارا ارائه نماید.

<sup>۱۴</sup> Sir William Robert Grove

<sup>۱۵</sup> Ludwig Mond

<sup>۱۶</sup> Charles Langer

<sup>۱۷</sup> Francis Bacon

بیکون در سال ۱۹۵۹ پیل سوختی با توان ۵ کیلووات را تولید نمود که می‌توانست نیروی محرکه یک دستگاه جوشکاری را تأمین نماید. تحقیقات جدید در این عرصه از اوایل دهه ۶۰ میلادی با اوج گیری فعالیت‌های مربوط به تسخیر فضا توسط انسان آغاز شد. مرکز تحقیقات ناسا در پی تأمین نیرو جهت پروازهای فضایی باسرنشین بود. ناسا پس از رد گزینه‌های موجود نظیر باتری (به علت سنگینی)، انرژی خورشیدی (به علت گران بودن) و انرژی هسته‌ای (به علت ریسک بالا) پیل سوختی را انتخاب نمود. تحقیقات در این زمینه به ساخت پیل سوختی پلیمری توسط شرکت جنرال الکتریک منجر شد. ایالات متحده فناوری پیل سوختی را در برنامه فضایی Gemini استفاده نمود که اولین کاربرد تجاری پیل سوختی بود. پرت و ویتنی دو سازنده موتور هوایپیما پیل سوختی قلیایی بیکون را به‌منظور کاهش وزن و افزایش طول عمر اصلاح نموده و آن را در برنامه فضایی آپولو به کار برداشتند. در هر دو پروژه پیل سوختی به عنوان منبع انرژی الکتریکی برای فضایپیما استفاده شدند، اما در پروژه آپولو پیل‌های سوختی برای فضانوردان آب آشامیدنی نیز تولید می‌شد. پس از کاربرد پیل‌های سوختی در این پروژه‌ها، دولتها و شرکتها به این فناوری جدید به عنوان منبع مناسبی برای تولید انرژی پاک در آینده توجه روزافزونی نشان دادند. از سال ۱۹۷۰ فناوری پیل سوختی برای سیستم‌های زمینی توسعه یافت. تحریم نفتی از سال ۱۹۷۳-۱۹۷۹ موجب تشدید تلاش دولتمردان امریکا و محققین در توسعه این فناوری به جهت قطع وابستگی به واردات نفتی گشت. در طول دهه ۸۰ تلاش محققین بر تهییه مواد موردنیاز، انتخاب سوخت مناسب و کاهش هزینه استوار بود. همچنین اولین محصول تجاري جهت تأمین نیرو محرکه خودرو در سال ۱۹۹۳ توسط شرکت بلارد ارائه شد.

## ۱-۲-۲-۲-۱- مزايا و معایب

### ۱-۲-۲-۱- مزايا پیل سوختي:

پیل سوختی آلودگی ناشی از سوزاندن سوخت‌های فسیلی را حذف نموده و تنها محصول جانبی آب می‌باشد. در صورتی که هیدروژن مصرفی حاصل از الکتروولیز آب باشد، نشر گازهای

گلخانه‌ای نیز به صفر می‌رسد. به دلیل وابسته نبودن به سوخت‌های فسیلی متداول نظیر بنزین و نفت، وابستگی اقتصادی کشورهای ناپایدار اقتصادی را حذف می‌کند. با نصب پیلهای سوختی نیروگاهی کوچک، شبکه غیرمتمرکز نیرو گستردگی می‌گردد. پیلهای سوختی راندمان بالاتری نسبت به سوخت‌های فسیلی متداول نظیر نفت و بنزین دارد. هیدروژن در هر مکانی از آب و برق تولید می‌گردد. لذا پتانسیل تولید سوخت، غیرمتمرکز خواهد شد. اکثر پیلهای سوختی در مقایسه با موتورهای متداول بسیار بی‌صدا هستند. انتقال گرما از پیلهای دماپایین بسیار کم می‌باشد لذا آن‌ها را برای کاربردهای نظامی مناسب خواهد شد. زمان عملکرد آن‌ها از باتری‌های متداول بسیار طولانی‌تر است. فقط با دو برابر نمودن سوخت مصرفی می‌توان زمان عملکرد را دو برابر نمود و نیازی به دو برابر کردن خود پیل نمی‌باشد. سوخت‌گیری مجدد پیلهای سوختی به راحتی امکان‌پذیر هست و هیچ‌گونه اثرات حافظه‌ای بر جای نمی‌گذارد. به علت عدم وجود اجزای متحرک نگهداری از آن‌ها بسیار ساده است. نصب و بهره‌برداری از پیلهای سوختی بسیار ساده و مقرن به صرفه می‌باشد. پیلهای سوختی مدولار می‌باشند یعنی به راحتی توان تولیدی از آن‌ها قابل افزایش هست. این مولدها قابلیت تولید هم‌زمان برق و حرارت را دارند. امکان استفاده از سوخت‌های تجدیدپذیر و سوخت‌های فسیلی پاک در آن‌ها وجود دارد.

#### ۲-۲-۱- معایب پیل سوختی:

سوخت‌گیری پیلهای سوختی مشکل اصلی پیلهای سوختی است. تولید، انتقال، توزیع و ذخیره به علت نبودن زیرساخت مناسب مشکل می‌باشد. تبدیل هیدروکربن به هیدروژن از طریق مبدل هنوز با چالش‌هایی روبروست و هنوز فناوری کاملاً پاک محسوب نمی‌شود. برخی خودروهای پیل سوختی کوتاه‌تر و زمان سوخت‌گیری و استارت زدن طولانی‌تری نسبت به خودروهای متداول دارند. پیلهای سوختی از باتری‌های متداول سنگین‌تر هستند و محققین در پی کاهش وزن آن‌ها می‌باشند. تولید پیل سوختی به دلیل نداشتن خط تولید هنوز گران است. برخی پیلهای سوختی از مواد

گران قیمت استفاده می کنند. این فناوری هنوز کاملاً توسعه نیافته و محصولات کمی از آن موجود هست.

### ۱-۳- خودروهای الکتریکی

علیرغم خودروهای متداول که توسط انرژی حرارتی تولید شده و از احتراق سوخت‌های فسیلی حرکت می کنند، خودروهای الکتریکی به الکتریسیته نیاز دارند و الکتریسیته لازم از راههای مختلف قابل دسترسی هست. یک راه آن استفاده از باتری‌های قابل شارژ است که مشابه آن در خودروهای معمولی به عنوان راهانداز به کار می رود. مزیت خودروهای الکتریکی بدون آلودگی بودن آنها است. البته برای شارژ مجدد باتری‌ها به الکتریسیته نیاز است این الکتریسیته باستی از یک نیروگاه تأمین شود و البته نیروگاه نیز ایجاد آلودگی می کند؛ اما باید در نظر داشت که کنترل آلودگی چند نیروگاه بسیار ساده‌تر و امکان‌پذیرتر از میلیون‌ها خودرو خواهد بود. حتی با احتساب این آلودگی آلایندگی حاصل از خودروی برقی یک‌دهم خودروهای متداول است. تقریباً در حدود ۲۹۰۰ خودروی الکتریکی در سال ۱۹۹۵ در آمریکا استفاده شده است که انتظار می رود این تعداد به سبب مقررات سخت کالیفرنیا در خصوص آلودگی، بسیار افزایش یابد. خودروهای الکتریکی با باتری‌های شیمیایی معايیبی را نیز دارا می باشند و اگرچه قیمت انرژی الکتریکی موردنیاز برای شارژ آنها نسبتاً پایین است اما هزینه اولیه خودرو بالاست. باتری‌های آنها سنگین بوده و وزن زیادی را به خود اختصاص می دهند. قیمتی در محدوده ۱۵۰۰-۴۰۰۰۰ دلار دارند و بعد از ۵۰۰-۶۰۰ بار دشارژ دور اندخته می شوند. محدوده رانش خودروی برقی ۱۳۰ کیلومتر است. به علاوه شتاب حرکت آن پایین است، امکان شارژ مجدد بین جاده‌ها وجود ندارد و باستی شارژ مجدد در منزل برای زمانی حدود چند ساعت صورت گیرد.

## **مزایای خودروهای برقی:**

● راهاندازی سریع

● آرام و بی‌سروصدای

● قابل اعتماد

● ذخیره انرژی سینتیکی در حالت توقف<sup>۱۸</sup>

● رانندگی راحت

● عدم نیاز به سیستم کلاغ و جعبه‌دنده

● نداشتن اجزای متحرک در مقایسه با خودروهای بنزینی

● عدم نیاز به تعویض روغن، فیلترهای سوخت، تزریق سوخت و...

● آلایندگی تقریباً صفر

● راندمان تبدیل انرژی بالا در مقایسه با راندمان 25 درصدی خودروهای بنزینی

● حداقل نیاز به تعمیرات و نگهداری

### **۴-۱- خودروهای پیل سوختی**

#### **(۴-۱- خودروهای پیل سوختی (садه)**

در خودروهای پیل سوختی، خود پیل سوختی به عنوان منبع تولید توان بوده و هیچ‌گونه باتری کمکی در آن استفاده نمی‌شود. پیل سوختی مشابه باتری خودروهای برقی جریان الکتریسیته

---

<sup>۱۸</sup> Regenerative breaking

موردنیاز موتور و نیروی محرکه را تولید می‌کند. سیستم نیرومحرکه شامل یک معکوس کننده برای تبدیل جریان پیل سوختی از DC به AC با فرکانس و ولتاژ متغیر، یک رتور AC و یک سیستم انتقال نیرو از موتور به چرخ‌های ماشین می‌باشد.

#### ۲-۴-۱- خودروهای پیل سوختی ترکیبی (هایبریدی)

یک خودروی پیل سوختی ترکیبی دارای یک باتری با یک خازن با ظرفیت بالا به صورت موازی با سیستم پیل سوختی است. پیل سوختی ترکیبی به طور همزمان از بیشترین بازده انرژی پیل سوختی و نیز توان بالای موجود در باتری استفاده می‌نماید. در هنگامی که مصرف انرژی بالاست مانند حالت شتاب، توان موردنیاز ماشین را باتری و مجموعه پیل سوختی تأمین خواهد کرد. وقتی میزان مصرف انرژی پایین باشد، مانند حرکت در خیابان، پیل سوختی توان موردنیاز را تأمین می‌کند. باتری‌ها در طی مدت زمانی که مصرف انرژی پایین است شارژ خواهند شد؛ بنابراین برای تأمین توان و انرژی موردنیاز، پیل سوختی برای حرکت معمولی و باتری برای ماکزیمم توان، طراحی می‌شوند. انتخاب مجموعه باتری به عواملی چون هزینه و عملکرد پیل سوختی و فناوری ساخت باتری و سیکل حرکتی بستگی دارد.

استفاده از باتری امکان راهاندازی سریع را به خودروی پیل سوختی داده و آن را در مقابل واکنش معکوس در پیل سوختی طی عملکرد و سوخت توده محافظت می‌نماید. به علاوه باتری حداکثر توان موردنیاز را تأمین می‌کند؛ و انرژی تولیدی می‌تواند بازیابی شود. زمان پاسخ سیستم خودرو به تغییرات بار در حالت وجود باتری سریع‌تر هست. پیل سوختی ترکیبی دارای عملکرد خوب، زمان کارکرد طولانی و زمان سوخت‌گیری سریع بوده و مسافت قابل توجهی را طی می‌کند.

سایر مزایای وجود باتری عبارت‌اند از:

● عدم نیاز خودرو به پیش گرم کردن پیل سوختی برای راهاندازی خودرو

● توانایی عملکرد خودرو در حالت کاملاً برقی طی زمانی که سیستم پیل قادر به عملکرد در سطح ولتاژ اسمی خود نیست.

### ● زمان پاسخ بسیار سریع‌تر برای تغییرات بار

از جمله مزای و وجود باتری می‌توان هزینه، وزن، زمان شارژ مجدد بالای آن باشد که به خودرو تحمیل می‌شود. هزینه یک مجموعه باتری معمولاً متناسب با مقدار انرژی‌ای که می‌تواند ذخیره نماید و هزینه پیل سوختی متناسب با میزان توان خواسته شده است. لذا یک باتری با ظرفیت توان بالا و ذخیره انرژی متوسط ممکن است کمی گران باشد.

## ۱-۴-۳-۴-۳-۴-۱- انواع پیل‌های سوختی مورداستفاده در صنعت خودرو

در زیر پیل سوختی الکتروولیت پلیمر جامد و مтанول مستقیم که مستقیماً مربوط به صنعت خودرو می‌باشد، شرح داده خواهند شد.

### ۱-۴-۳-۴-۱- پیل سوختی الکتروولیت پلیمر جامد:

پیل سوختی الکتروولیت پلیمر جامد از یک غشاء تبادل یون به عنوان الکتروولیت استفاده می‌کند. این نوع پیل‌ها ابتدا در برنامه فضایی ایالات متحده (Gemini) در دهه ۱۹۶۰ مورداستفاده قرار گرفت. امروز استفاده از این فناوری در رابطه با حمل و نقل مورد تأکید است.

### ۱-۴-۳-۴-۲- پیل سوختی مтанول مستقیم<sup>۱۹</sup>:

در وسایل نقلیه الکتریکی یک راه حل خوب استفاده از پیل سوختی مтанول مستقیم (DMFC) است. در حدود سی سال است که تحقیقات بر روی آن آغاز شده است و کاربرد آن در وسایل نقلیه رویای محققان پیل سوختی محسوب می‌گردد.

<sup>۱۹</sup> Direct methanol fuel cell

گرچه مтанول ساده‌ترین ماده آلی است اما فعالیت الکتروشیمیایی آن حدود سه درجه کمتر از هیدروژن هست و از این‌رو چگالی جریان تولید آن پایین است. به علاوه فعالیت کاتالیزور در این نوع پیل سوختی به دلیل مسمومیت به شدت افت می‌کند. علیرغم این مشکلات که بایستی رفع گردد استفاده از پیل سوختی مтанول مستقیم به علت حمل و نقل راحت مтанول و نداشتن مشکلات ذخیره‌سازی و امنیتی هیدروژن بسیار مورد توجه محققان است.

#### ۴-۴-۱-اهداف پایان‌نامه

این پایان‌نامه در واقع در جهت رفع قسمتی از مشکلات و موانع موجود در راه تجاری کردن و تولید انبوه خودروهای پیل سوختی صورت گرفته است. در این خودروها همواره قیمت بالای باتری‌ها و پیل سوختی یک مشکل اساسی جهت تجاری کردن آن‌ها محسوب می‌شود. هدف اصلی در این پایان‌نامه پس از بررسی تأثیر پارامترهای مختلف موجود در باتری و پیل سوختی بر عملکرد خودرو و تعریف یک تابع هزینه که هزینه خودرو را معطوف به هزینه منابع تغذیه خودرو یعنی باتری و پیل سوختی و همچنین قیمت هیدروژن مصرفی پیل و توان دریافتی از شبکه می‌داند، اقدام به بدست آوردن یک مقدار بهینه اقتصادی برای ظرفیت باتری و حداکثر توان موردنیاز پیل سوختی برای یک خودروی سواری می‌نماییم. در واقع با بدست آوردن این مقادیر گامی در جهت پایین آوردن قیمت این خودروها برمی‌داریم.

#### ۴-۵-۱-ساختار پایان‌نامه

پس از مقدمه، در فصل دوم به بررسی و مقایسه ساختار انواع خودروهای برقی، هایبریدی و پیل سوختی می‌پردازیم. هر کدام از این خودروها دارای توانایی و محدودیت خاص مربوط به خود می‌باشند که این محدودیتها و توانایی‌ها تا حدود زیادی به معماری خودرو و سیستم نیرومحرکه آن بستگی دارد.

در فصل سوم، ساختار خودروی برقی پیل سوختی متصل به شبکه معرفی می‌شود. در ادامه با بیان معادله‌ی دینامیک حرکت خودرو به بررسی و نحوه محاسبه پارامترهایی مهم در بحث مربوط به عملکرد خودرو می‌پردازیم. در پایان نیز با بیان مسئله بهینه‌سازی تابع هدف را مشخص می‌کنیم.

در فصل چهارم تأثیر پارامترهای انتقال توان نظیر ظرفیت باتری ( $C_{bat}$ )، مقاومت الکتریکی باتری ( $R_{bat}$ )، حداکثر توان پیل سوختی ( $P_{fc\text{-max}}$ ، راندمان پیل سوختی ( $\eta_{fc}$ )، جرم هیدروژن مخزن ( $m_{hydro}$ ) و توان جانبی ( $p_{aux}$ ) بر عملکرد خودرو را موردنبررسی قرار می‌دهیم و با درنظر گرفتن تأثیر هر پارامتر بر عملکرد خودرو اقدام به حل مسئله بهینه‌سازی می‌نماییم. پس از حل مسئله با استفاده از نرم‌افزار ADVISOR صحت نتایج حاصل را موردنبررسی قرار می‌دهیم.

در فصل پنجم به حل مسئله بهینه‌سازی با استفاده از الگوریتم ژنتیک و با ترکیب این الگوریتم با نرم‌افزار ADVISOR می‌پردازیم.

در فصل ششم نتیجه‌گیری و جمع‌بندی کلی نسبت به نتایج و خروجی‌ها می‌پردازیم و با توجه به نتایج و اطلاعات موجود، پیشنهاداتی را در زمینه بهبود و ادامه پژوهش در این زمینه ارائه می‌دهیم.



## **فصل دوم:**

**معرفی انواع ساختار خودروهای برقی و**

**پیل سوختی**

## ۱-۲- مقدمه

تکنولوژی خودروها را می‌توان به صورت خودروهای احتراق داخلی ICE و خودروهای بر پایه‌ی نیرومحرکه الکتریکی دسته‌بندی کرد. وسایل نقلیه الکتریکی به طور نسبی یا کامل به وسیله‌ی سیستم الکتریکی هدایت می‌شوند و به صورت: خودروهای الکتریکی EVs، خودروهای الکتریکی هایبرید HEVs، خودروهای الکتریکی هایبرید متصل به شبکه<sup>۲۰</sup> PHEVs، خودروهای پیل سوختی<sup>۲۱</sup> FCVs و خودروهای پیل سوختی متصل به شبکه<sup>۲۲</sup> PFCVs دسته‌بندی می‌شوند. در این‌بین هر کدام از خودروها دارای توانایی و محدودیت خودش در قالب چگالی انرژی، چگالی توان، نرخ انتشار آلودگی، کارایی، مصرف اقتصادی سوخت، اندازه، وزن، هزینه و ایمنی می‌باشد. این فاکتورها تا حد زیادی وابسته به معماری خودرو و سیستم نیرومحرکه آن هستند. از بین چند گروه وسیله‌ی الکتریکی ذکر شده در بالا که در شکل (۱-۲) نشان داده شده است، خودروهای الکتریکی هایبرید (HEV) تنها گزینه‌ای می‌باشند که دارای پتانسیل، جهت رقابت با وسایل نقلیه ICE در قالب کارایی دینامیکی، مصرف اقتصادی سوخت و هزینه می‌باشند. مزایای اصلی HEV عبارت‌اند از: طی مسافت بیشتر در حالت الکتریکی، مصرف پایین سوخت، راندمان بالاتر، توان کافی در دسترس و پاسخ دینامیکی بهتر. درنتیجه معماهای گوناگون آن موردنرسی قرار می‌گیرد به‌نحوی که شامل ساختارهای سری، موازی، سری-موازی و مخلط<sup>۲۳</sup> می‌باشد.

## ۲-۲- خودروهای احتراق داخلی ICE

قبل از ورود به تکنولوژی وسایل نقلیه الکتریکی پیشرفته، آگاهی یافتن از بنیادهای موتور احتراق داخلی معمولی (ICE) برای سیستم وسایل نقلیه مهم می‌باشد. یک خودرو ICE معمولی

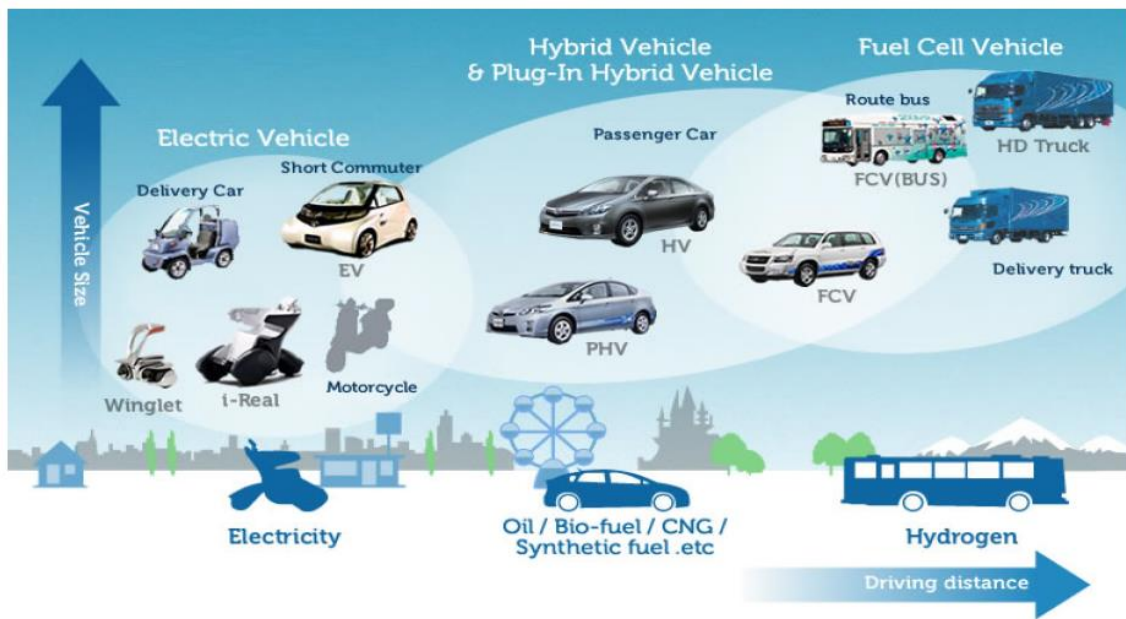
<sup>۲۰</sup> Plug in hybrid electric vehicles

<sup>۲۱</sup> Fuel cell vehicles

<sup>۲۲</sup> Plug in fuel cell vehicle

<sup>۲۳</sup> Complex

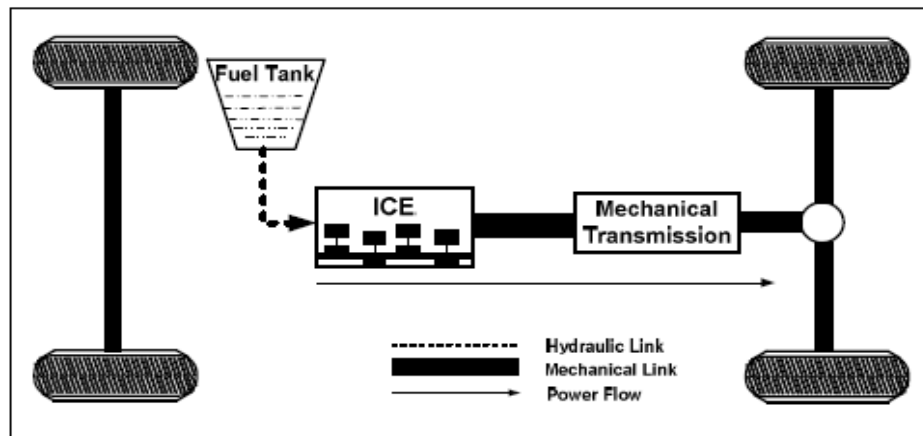
سوختی پتروشیمی با چگالی انرژی بالا را در اتاقک احتراقش می‌سوزاند و قدرتی را به وجود می‌آورد که می‌تواند برای به حرکت درآوردن وسایل نقلیه با استفاده از سیستم انتقال مکانیکی به صورتی که



شکل(۲-۱): طبقه‌بندی انواع مختلف خودروها بر اساس اندازه و مسافت طی شونده [۴]

در شکل (۲-۲) نشان داده شده استفاده کرد. درواقع این خودرو شامل یک مخزن سوخت با منبع انرژی با چگالی بالا در دسترس، موتور احتراق داخلی و یک سیستم مکانیکی برای انتقال توان از موتور به چرخ‌ها می‌باشد [۵]. وسایل نقلیه ICE دارای سیکل رانندگی طولانی، به دلیل چگالی انرژی بالای سوخت‌های مایع هیدروکربنی و همچنین زمان سوخت‌گیری کوتاه جهت پر کردن مجدد منبع در مقایسه با شارژ کردن باتری وسایل نقلیه الکتریکی، دارای برتری می‌باشند. اشکال اصلی وسایل نقلیه ICE راندمان پایین آن‌ها برای تبدیل سوخت به توان مفید و انتشار آلودگی زیاد می‌باشد که تأثیری زیادی بر روی محیط‌زیست دارد. دلیل اصلی عدم کارایی وسایل نقلیه ICE ناسازگاری مشخصه توان موتور با مشخصه بار خودرو، راندمان پایین انتقال مکانیکی و اتلاف انرژی جنبشی در طول فرآیند ترمز می‌باشد. با این حال موتورهای احتراق داخلی بیشتر از یک قرن استفاده شده‌اند و

پیشرفتهای فراوانی در مصرف سوخت، راندمان بالای مصرف انرژی و کاهش انتشار آلودگی به دست آمده است و همچنان تحقیقات زیادی برای بهینه‌سازی این خودروها در حال انجام می‌باشد.



شکل (۲-۶): ساختار خودرو ICE [۶]

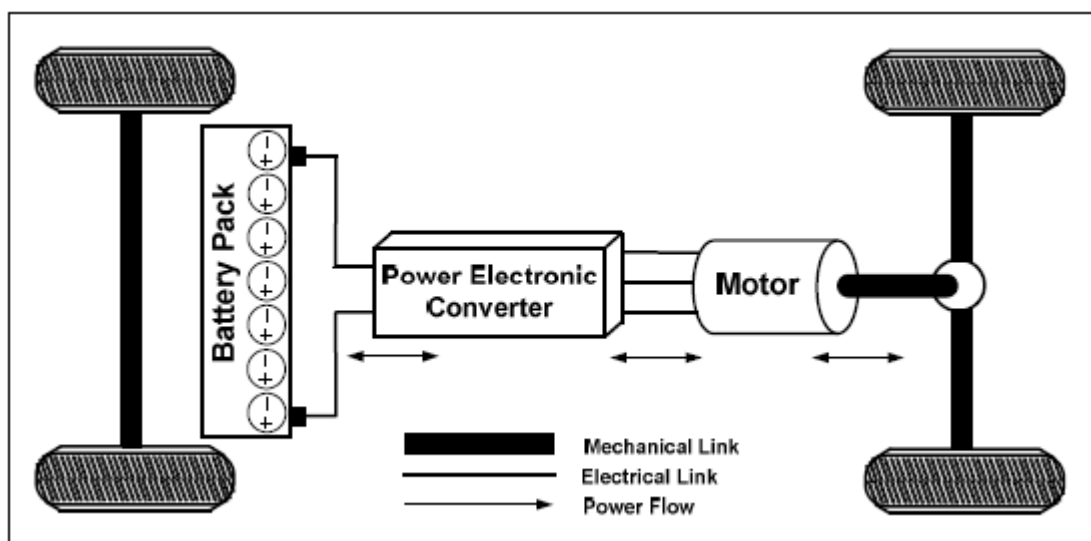
### ۳-۲- خودروهای الکتریکی بااتری دار

مفهوم BEVs<sup>۲۴</sup> بر مبنای دستگاه‌های الکتریکی که شامل منبع تغذیه، مبدل الکتریکی و موتور الکتریکی به صورتی که در شکل (۳-۲) نشان داده شده می‌باشد. اولین BEV در قرن نوزدهم اختراع شده است و توجه زیادی از مصرف‌کنندگان و تولیدکنندگان خودرو را در دوره‌ی ۱۸۸۰ تا ۱۹۲۰ را به خود جلب کرده است. در حقیقت تا سال ۱۹۱۰ وسائل نقلیه‌ی الکتریکی از لحاظ تعداد نسبت به وسائل نقلیه‌ی بر پایه‌ی ICE بیشتر بودند. با این حال، به دلیل محدودیت‌های مرتبط با باتری‌ها و BEV پیشرفت سریع در وسائل نقلیه‌ی ICE همانند هزینه‌های پایین سوخت‌های دیزلی و بنزین، قادر به رقابت با ICE نشده‌اند. نگرانی‌های زیستمحیطی مرتبط با مقدار آلودگی‌های آزادشده در اتمسفر به وسیله‌ی وسائل نقلیه‌ی ICE، قیمت ناپایدار سوخت‌های فسیلی در بازار جهانی و قوانین متنوع و سخت‌گیرانه انتشار آلودگی مفهوم وسائل نقلیه‌ی با انتشار آلودگی صفر<sup>۲۵</sup> (ZEV) را مطرح نمود. BEV دارای مزیت‌های مختلفی مانند: انتشار آلودگی صفر، راندمان بالا، کم‌صدا بودن، ایمنی

<sup>۲۴</sup> Battery electric vehicles

<sup>۲۵</sup> Zero emission vehicle

بالا و عدم وابستگی به سوخت‌های فسیلی می‌باشند. علاوه بر این زمانی که راندمان بیشینه‌ی وسایل نقلیه ICE می‌تواند در حدود ۳۰-۳۵٪ باشد، سیستم نیرومحرکه الکتریکی می‌تواند پیک کارایی ۹۰٪ از باتری کار کند. همچنین وسایل الکتریکی توانایی ذخیره انرژی جنبشی اضافی در طول فرآیند ترمزگیری را دارا می‌باشند [۷]. جدا از مزیت‌های متعدد، این خودروها دارای محدودیت‌هایی مانند زمان شارژ طولانی باتری و کارایی دینامیکی محدود می‌باشند. محدودیت مهم BEV محدودیت عملیاتی محدود آن در هر چرخه شارژ باتری می‌باشد. عیب اصلی این خودروها وابستگی کامل آن‌ها به باتری می‌باشد که تکنولوژی آن هنوز به لحاظ ظرفیت و چگالی انرژی، قابل مقایسه با سوخت‌های فسیلی نیست.

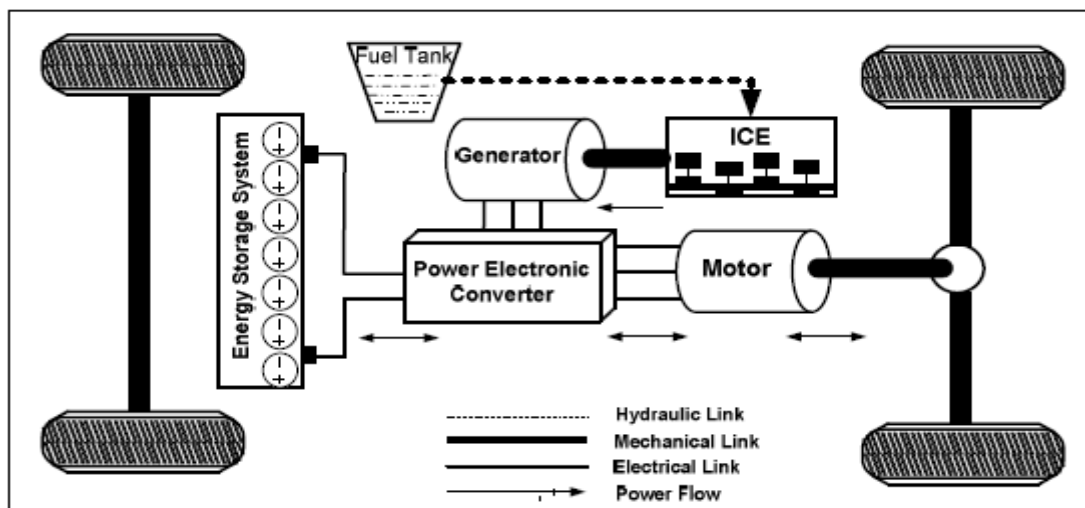


شکل (۴-۲): ساختار BEV [۶]

#### ۴-۲- خودروهای الکتریکی هایبرید سری

ساختمن این خودروها ساده‌ترین حالت HEV می‌باشد به‌نحوی که یک موتور احتراق داخل به طور مکانیکی به ژنراتور الکتریکی متصل شده است که این ژنراتور نیز به موتور الکتریکی و پکیج باتری همراه با مبدل‌های الکترونیکی مطابق با شکل (۴-۲) متصل شده است. ژنراتور توان مکانیکی ICE را به توان الکتریکی تبدیل می‌کند. این توان الکتریکی می‌تواند برای شارژ کردن باتری بکار رود

یا می‌تواند برای تأمین کردن توان لازم موتور الکتریکی برای به حرکت درآوردن خودرو استفاده شود یا هر دو حالت می‌تواند به صورت همزمان رخ دهد. انتقال توان از مخزن سوخت تا مبدل الکترونیک قدرت تک جهته می‌باشد در حالی که انتقال توان از باتری تا موتور الکتریکی دو جهته می‌باشد. در واقع، ICE به عنوان کمک دهنده EVs می‌باشد و هیچ ارتباط مکانیکی بین ICE و چرخ‌ها وجود ندارد. زمان شروع/پایان کار ICE به وسیله‌ی سطح شارژ باتری<sup>۲۶</sup> (SOC) کنترل می‌شود. در زمانی که باتری به SOC کمینه‌ی از قبل تنظیم شده برسد، ICE به جهت شارژ کردن باتری شروع به کار می‌کند. زمانی که باتری به SOC بیشینه‌ی مطلوب برسد، ICE متوقف می‌گردد. الگوریتم کنترلی بهینه برای عملیات ICE در راندمان بالا و مصرف سوخت کم طوری انتخاب شده است که سطح شارژ باتری می‌باشد در حدود ۶۵-۷۵٪ شارژ کامل نگه داشته شود [۱]. ازین رو، تأمین توان از منابع انرژی برای چرخ‌ها در دو مرحله تبدیل توان (مکانیکی به الکتریکی و الکتریکی به مکانیکی) انجام می‌شود که منجر به افزایش اتلاف انرژی و کاهش راندمان کلی می‌گردد.



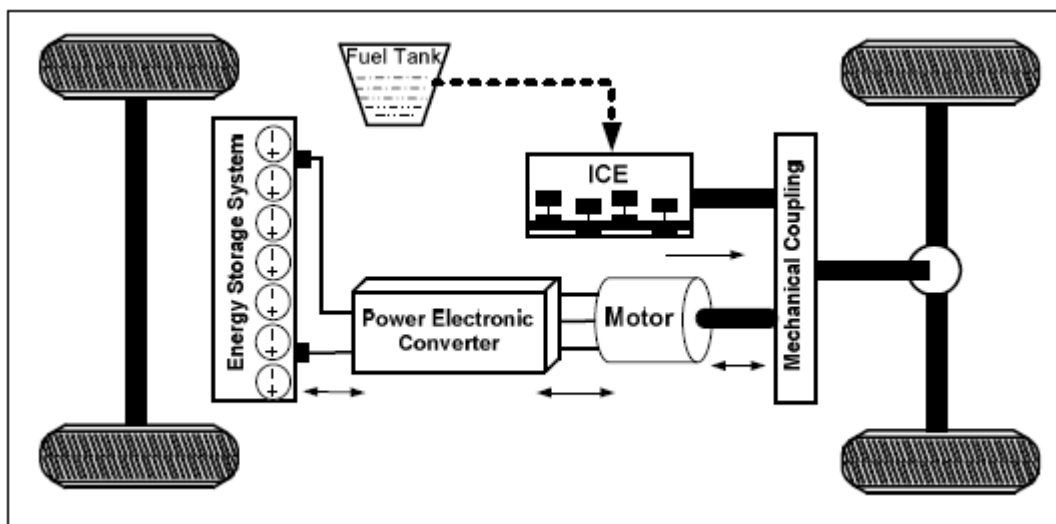
شکل (۴-۲): ساختار SHEV<sup>۲۷</sup> [۶]

<sup>۲۶</sup> State of charge

<sup>۲۷</sup> Series hybrid electric vehicle

## ۲-۵- خودروی الکتریکی هایبرید موازی

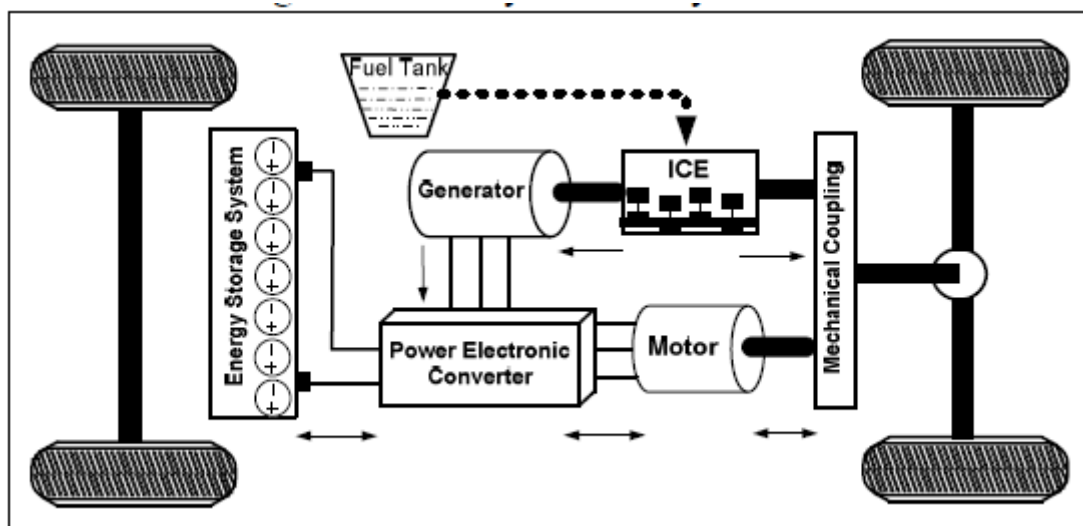
در ساختمان خودروهای موازی، موتور الکتریکی و ICE به صورت موازی باهم متصل می‌شوند. مطابق با شکل (۲-۵) هر دو موتور قادر به انتقال توان به چرخ‌ها به صورت همزمان یا تنها یکی می‌باشند. توان حاصل از موتور الکتریکی و ICE با یکدیگر به کمک یک سیستم مکانیکی ترکیب می‌شود. ساختار هایبرید موازی اساساً از یک چرخه تولید همراه با منبع انرژی در موازات آن تشکیل شده است. در این ساختار موتور درون‌سوز همچنان به وسیله جعبه‌دنده به چرخ‌ها متصل است و با چرخش دنده‌ها محدود می‌شود. درنتیجه باز ICE همچنان به طور مستقیم با توان درخواستی متغیر خودرو پیوند دارد، همچنین از سیستم الکتریکی نیز برای به حرکت درآوردن خودرو استفاده می‌شود و هنگامی که به حداکثر نیرو نیاز است هر دو با همدیگر آغاز به انتقال نیرو به چرخ می‌کنند. در خودرو هایبرید موازی به دو محرک نیرو احتیاج است؛ موتور درون‌سوز و موتور الکتریکی. مزیت این ساختار بر ساختار هایبرید سری این است که از موتور درون‌سوز و همچنین از موتور الکتریکی کوچک‌تری برای ایجاد حداکثر عملکرد بهینه تا زمانی که باتری تمام نشده است، می‌توان استفاده کرد [۷].



شکل (۲-۵): ساختار خودروی هایبرید موازی [۶]

## ۶-۲- خودروی هایبرید سری- موازی

در ساختار هایبرید سری- موازی، برای استفاده از مزایای هر کدام و رفع معایب آنها، ساختارهای هایبرید سری و هایبرید موازی ترکیب می شود، در این ترکیب یک المان مکانیکی اضافی در مقایسه با هایبرید سری و یک ژنراتور اضافی در مقایسه با هایبرید موازی اضافه می شود. در این خودرو توان ایجادشده در موتور درون سوز به دو بخش مکانیکی و الکتریکی تقسیم شده و بخش الکتریکی به گونه ای کنترل می شود که این موتور در نقطه بھینه خود کار کند. این کار توسط بخش جدا کننده توان صورت می پذیرد و بخش ذخیره انرژی (باتری)، انرژی الکتریکی حاصل از این کار را علاوه بر انتقال به موتور الکتریکی، ذخیره می کند [۸].

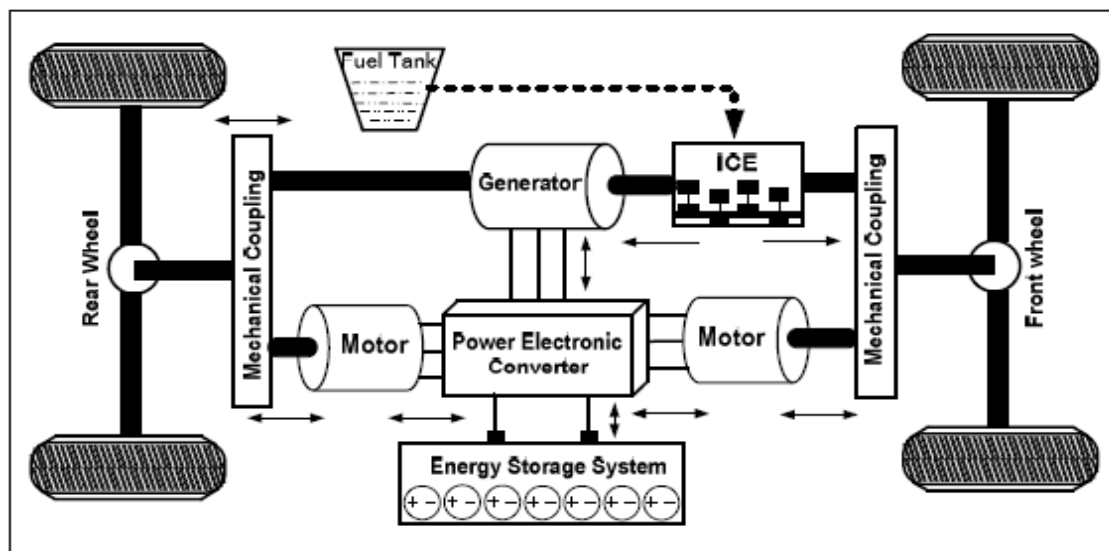


شکل (۶-۲): ساختار خودروی هایبرید سری- موازی [۶]

## ۷-۲- خودروی هایبرید مختلط

ساختارهایی که تاکنون بحث شده اند برای خودروهایی که سیستم نیروی محرکه تک محوری دارند می باشد. برای داشتن یک سیستم دو محور یعنی سیستم انتقال قدرت برای چرخ های جلو و عقب الگوی جدید ترکیبی به عنوان ساختار ترکیبی برای سیستم نیروی محرکه دوگانه طراحی شده است. در این معماری، هم چرخ های عقب و جلو به صورتی که در شکل (۷-۲) نشان داده شده حرکت می -

کنند. در این سیستم، محورهای چرخ جلو و چرخ عقب از همدیگر مجزا هستند و هیچ اتصال مکانیکی بین آنها وجود ندارد. ازین رو هر دو محور به طور مستقل کار می‌کنند. در معماری مختلط، ژنراتور الکتریکی انتقال توان دو جهته را پیشنهاد می‌کند در حالی‌که در نوع سری-موازی آن انتقال توانی تک‌جهته را پیشنهاد می‌کند. ازین رو، هر دو نوع ساختار شامل ICE، ژنراتور و موتور برای حرکت در آوردن وسیله هستند. توانایی معماری مختلط برای هدایت چرخها در هر دو صورت الکتریکی یا هایبرید یا ترکیب هر دوی آنها، انعطاف‌پذیری و قابلیت اطمینان بیشتری را به وجود می‌آورد. چرخهای جلو به وسیله‌ی سیستم حرکت هایبرید و چرخهای عقب به وسیله‌ی سیستم حرکتی الکتریکی یا بر عکس رانده می‌شوند.



شکل (۷-۲): ساختار خودروی هایبرید مختلط [۶]

## ۸-۲- خودروی هایبرید با قابلیت اتصال به شبکه

اولین خودروی هایبرید با قابلیت اتصال به پریز برق را شرکت جنرال موتورز در اوخر دهه ۱۹۶۰ معرفی کرد و بدین ترتیب آغاز شروع به تعریف<sup>۷۸</sup> PHEV را می‌توان به آن زمان مربوط دانست. این نوع خودروها رو به این صورت معرفی می‌کند: هر وسیله‌ی نقلیه‌ی هایبرید که حداقل

<sup>۷۸</sup> Plug-in hybrid electric vehicle

دارای یکی از موارد زیر باشد: (۱) سیستم ذخیره‌ساز باتری با ظرفیت بیشتر از ۴ kwh که برای حرکت خودرو مورداستفاده باشد. (۲) شارژ مجدد سیستم باتری از منبع خارجی الکتریسیته صورت گیرد؛ و (۳) توانایی پیمودن حداقل ۱۰ مایل در حالت الکتریکی درحالی‌که از هیچ سوخت بنزینی استفاده نشود. به صورت مفهومی PHEV یک نوع HEV با پکیج باتری بزرگ‌تر می‌باشد که قابلیت شارژ از منبع خارجی را به صورت شکل (۸-۲) دارد می‌باشد. در این وسایل نقلیه، علاوه بر مخزن بنزین، پکیج باتری نیز می‌تواند به وسیله‌ی منبع خارجی برای گسترش محدوده مسافت الکتریکی<sup>۲۹</sup> PHEV (AER) شارژ گردد. زمانی که پکیج باتری به وسیله‌ی منبع خارجی به طور کامل شارژ گردد، به صورت EV همراه با AER گستردۀ عمل می‌کند و سپس زمانی که باتری به SOC از قبل تعریف‌شده‌ی خودش برسد یا نیاز به توان اضافی برای شتابده‌ی داشته باشد، به حالت هایبرید تغییر پیدا می‌کند [۱۰، ۱۱]. همه‌ی انواع HEV می‌توانند به راحتی به PHEV تبدیل شوند. PHEV علاوه بر توانایی جهت شارژ شدن باتری از شبکه همچنین توان موردنیاز شبکه در ساعت پیک بار را نیز دارد [۱۲]. هنگامی‌که به خودروهای الکتریکی پارک شده و متصل به شبکه به عنوان منابع ارائه‌دهنده خدمت به شبکه برق نگاه شود، ورود به بحث V2G<sup>۳۰</sup> صورت گرفته است. به بیان دیگر به معنای استفاده از ظرفیت باتری خودروهای الکتریکی به عنوان ذخیره‌کننده انرژی الکتریکی برای ارائه توان الکتریکی یا خدمات جانبی به شبکه قدرت است. تمام وسایل نقلیه با توانایی V2G می‌باشند مطابق با استاندارد IEEE 1547 عمل کنند [۱۳].

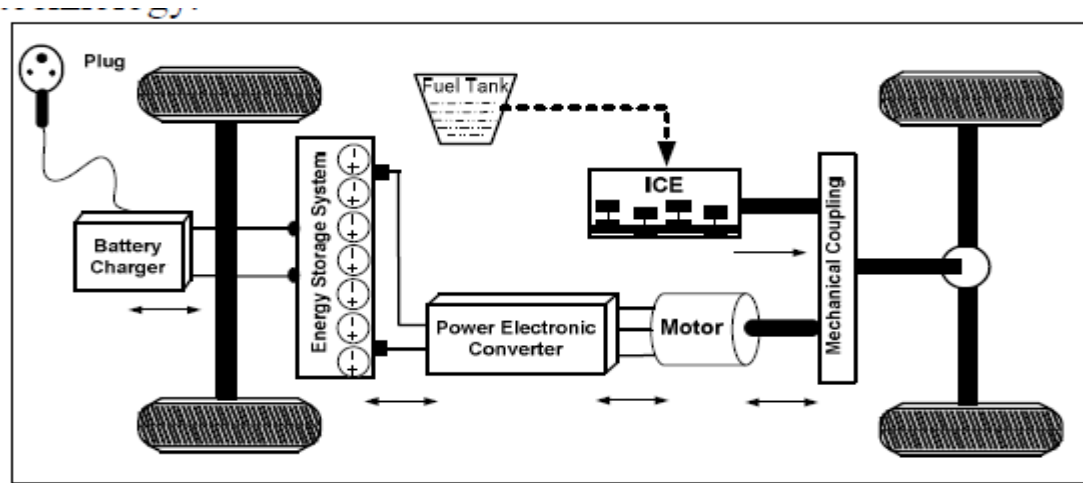
## ۹-۲- خودروی پیل سوختی

در خودروهای پیل سوختی، خود پیل و توده سوختی آن به عنوان منبع تولید توان بوده و هیچ گونه باتری کمکی در آن استفاده نمی‌شود. پیل سوختی مشابه باتری خودروهای برقی جریان الکتریسیته موردنیاز موتور و نیروی محرکه را تولید می‌کند. سیستم نیروی محرکه شامل یک معکوس کننده برای

<sup>۲۹</sup> All electric range

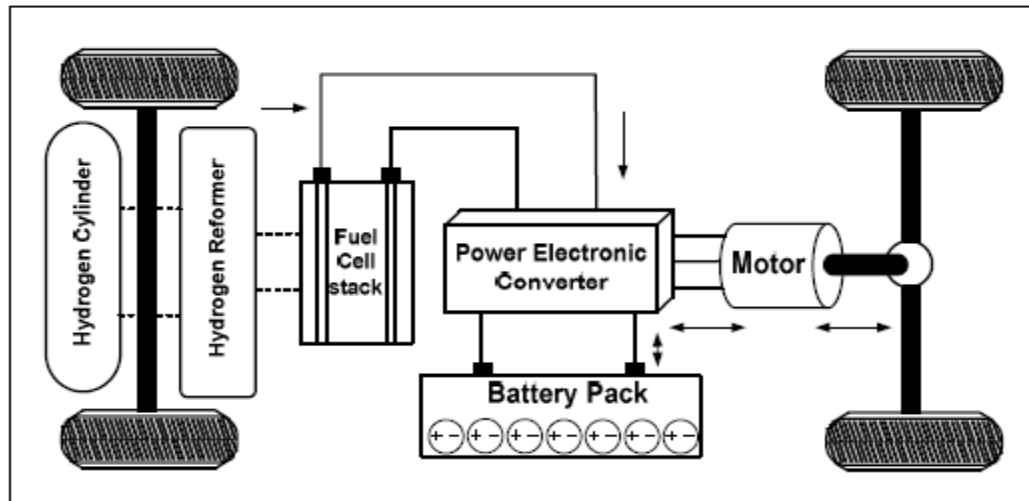
<sup>۳۰</sup> Vehicle to grid

تبدیل جریان پیل سوختی از DC به AC با فرکانس و ولتاژ متغیر، یک رتور AC و یک سیستم انتقال نیرو از موتور به چرخ‌های ماشین می‌باشد. یک خودروی پیل سوختی ترکیبی همانند شکل (۹-۲) دارای یک باتری با یک خازن با ظرفیت بالا به صورت موازی با سیستم پیل سوختی است. طول عمر خودروهای پیل سوختی زمانی که در نقطه تعادل خود کار می‌کند نسبت به حالت دینامیک بسیار بیشتر می‌باشد [۱۴].



شکل (۲-۸): ساختار PHEV [۶]

به همین دلیل برای ما مطلوب می‌باشد که از یک سیستم ذخیره‌ساز انرژی (باتری یا ابر خازن) برای سیستم پیل سوختی استفاده کنیم پیل سوختی هایبرید به‌طور هم‌زمان از بیشترین بازده انرژی پیل سوختی و نیز توان بالای موجود در باتری استفاده می‌نماید. در هنگامی که مصرف انرژی بالاست مانند حالت شتاب، توان موردنیاز ماشین را باتری و مجموعه پیل سوختی تأمین خواهد کرد. وقتی میزان مصرف انرژی پایین باشد، مانند حرکت در خیابان، پیل سوختی توان موردنیاز را تأمین می‌کند. باتری‌ها در طی مدت‌زمانی که مصرف انرژی پایین است شارژ خواهند شد؛ بنابراین برای تأمین توان و انرژی موردنیاز، پیل سوختی برای حرکت معمولی و باتری برای رسیدن به حداکثر توان، طراحی می‌شوند. انتخاب مجموعه باتری به عوامل چون هزینه و عملکرد پیل سوختی و فناوری ساخت باتری و سیکل حرکتی بستگی دارد.



شکل (۹-۲): خودروی هایبرید پیل سوختی [۶]

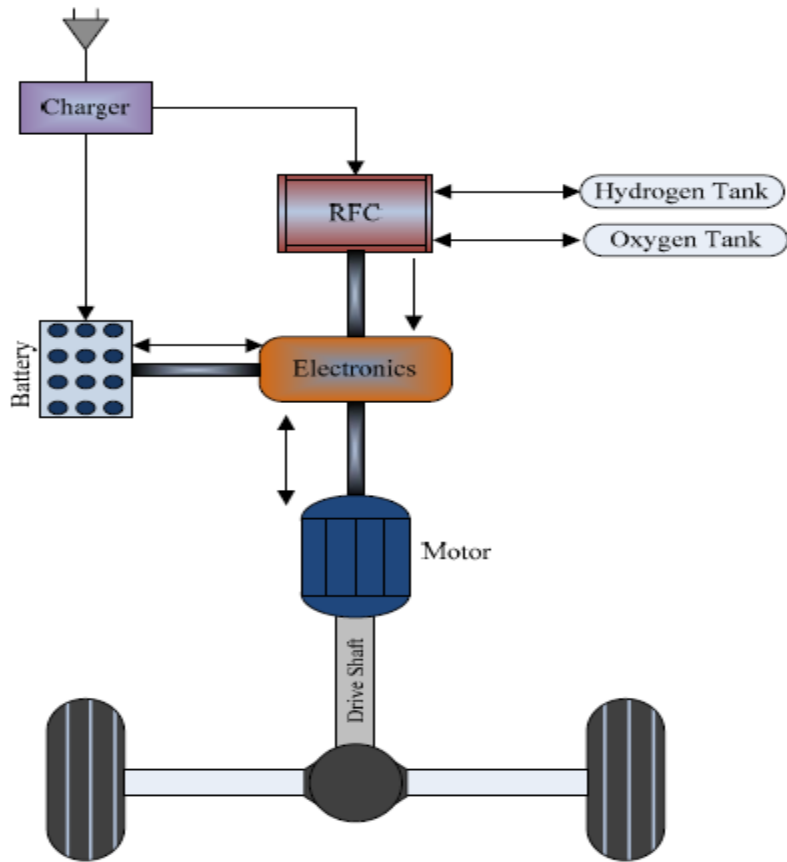
## ۱۰-۲- خودروی هایبرید پیل سوختی متصل به شبکه

این خودروها از لحاظ ساختاری مشابه خودروهای پیل سوختی معرفی شده در شکل (۹-۲) می‌باشند و تنها تفاوت آن‌ها قابلیت اتصال این خودروها به شبکه می‌باشد. با تری این خودروها توانایی شارژ شدن از شبکه را دارند. عملکرد این خودروها به نحوه‌ی تعیین اندازه اجزا تشکیل‌دهنده آن در مرحله تولید خودرو و استراتژی کنترلی انتخاب شده برای آن‌ها بستگی دارد [۱۵، ۱۶].

## ۱۱-۲- مرواری بر پژوهش‌های قبلی در زمینه طراحی خودروهای پیل سوختی

در ارتباط با مسئله تعیین سایز خودروهای پیل سوختی اخیراً مطالعاتی انجام شده است. در [۱۷] یک روش بهینه‌سازی با استفاده از الگوریتم ژنتیک چندهدفه برای تعیین اندازه بهینه پارامترهای انتقال توان در یک خودروی پیل سوختی متصل به شبکه انجام شده است. در این مقاله برای خودرو مانند شکل (۱۰-۲) از یک پیل سوختی از نوع RFC<sup>۳۱</sup> استفاده شده است. این نوع از پیل‌ها می‌توانند در دو حالت کار کنند یعنی هم به عنوان پیل سوختی عمل می‌کنند و هم می‌توانند به عنوان الکترولایزر عمل کند و با استفاده از برق شبکه اقدام به تولید هیدروژن کند.

<sup>۳۱</sup> Regenerative fuel cell

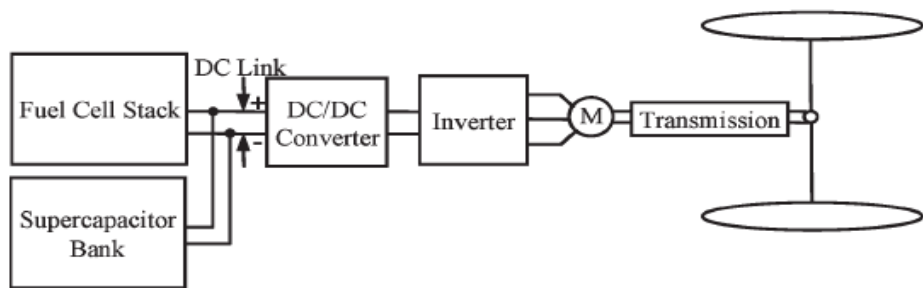


[۱۰-۲]: ساختار خودروی پیل سوختی متصل به شبکه با پیل سوختی RFC [۱۷]

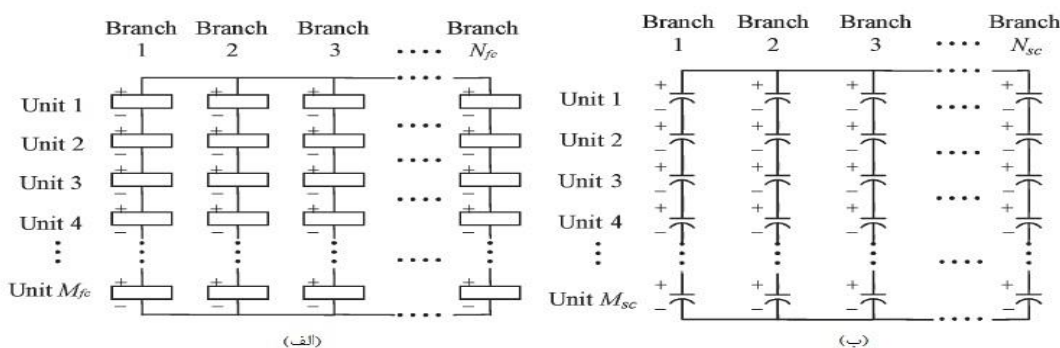
در [۱۸] از یک ابرخازن<sup>۳۳</sup> مانند شکل (۱۱-۲) به عنوان منبع ذخیره انرژی استفاده شده است. یک طراحی بهینه برای حداقل کردن هزینه پیل سوختی و ابرخازن در یک خودروی پیل سوختی ارائه شده است و فرض شده است که هزینه پیل سوختی و ابرخازن به صورت تابعی از تعداد واحدهای تشکیل دهنده هر کدام به ترتیب می باشد. در واقع با در نظر گرفتن پیل سوختی و ابرخازن به صورت شکل (۱۲-۲) و نوشتن تابع هزینه بر اساس تعداد واحدهای سری و موازی باتری و پیل سوختی سعی در کمینه کردن این تابع می نماید.

<sup>۳۳</sup> Super capacitor

در [۱۹] یک روش تعیین اندازه بهینه برای یک سیستم هایبرید پیل سوختی در یک زیردرباری بدون سرنشین پیشنهاد شده است. در این مطالعه سیستم پیل سوختی بهوسیله‌ی باتری و ابرخازن به طور همزمان هایبرید شده است. نتایج نشان می‌دهد که سیستم ذخیره‌سازی هیدروژن و اکسیژن تأثیر زیادی بر روی تعیین سایز و مدت زمان انجام مأموریت زیردرباری دارد.



شکل (۱۱-۲): استفاده از ابر خازن در خودروی پیل سوختی [۱۸]



شکل (۱۲-۲): (الف) نحوه آرایش پیل سوختی (ب) ساختار و آرایش پیل سوختی [۱۸]

در [۲۰] به ارائه یک روش بهینه‌سازی برای یک اتوبوس شهری با استفاده از مدل تئوری و به دست آوردن روابط بین عملکرد خودرو و پارامترهای انتقال توان آن پرداخته است.

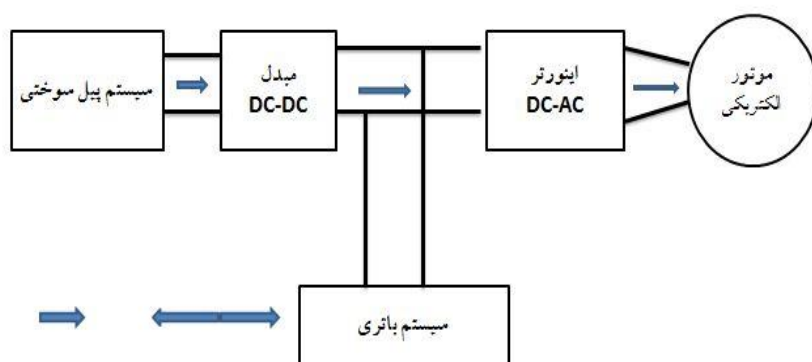
## فصل سوم:

مدل‌سازی ریاضی خودروی برقی پیل  
سوختی و معرفی تابع هدف

### ۳-۱-۳- مدل تئوری خودرو

#### ۳-۱-۱- ساختار خودروی هایبرید پیل سوختی

شکل (۱-۳) ساختار خودروی برقی پیل سوختی متصل به شبکه به کار گرفته شده در این پایان نامه را نشان می دهد. توان مورد نیاز برای به حرکت درآوردن خودرو از طریق موتور الکتریکی سه فاز آسنکرون تأمین می شود. موتورهای القایی AC پر کاربرد ترین موتورهایی هستند که در سامانه های کنترل حرکت صنعتی و همچنین خانگی به کار گرفته می شوند. طراحی ساده و پایدار، بهای ارزان، هزینه نگهداری پایین و اتصال آسان و کامل به یک سرچشم نیروی AC برتری های بنیادی موتورهای القایی AC هستند. با اینکه طراحی موتورهای AC آسان تر از موتورهای DC است، ولی کنترل سرعت و گشتاور در انواع مختلف موتورهای القایی AC نیازمند دریافتی ژرف تر در طراحی و ساخت این نوع موتورها هست. از مبدل DC-DC برای تنظیم ولتاژ خروجی پیل سوختی و همچنین از یک اینورتر جهت تبدیل جریان DC خروجی از پیل سوختی به جریان AC و اتصال مجموعه باتری و پیل سوختی به موتور الکتریکی استفاده شده است. انرژی لازم برای به حرکت درآوردن خودرو توسط پیل سوختی و باتری تأمین می شود.



شکل (۱-۳): ساختار خودروی برقی پیل سوختی/باتری

گونه‌های مختلفی از باتری‌ها در خودروهای برقی می‌توانند استفاده شوند که شامل: باتری سرب اسیدی، باتری هایبرید نیکل-فلز، باتری نیکل-کادمیم و باتری لیتیم یونی<sup>۳۳</sup> می‌باشند. در این‌بین باتری‌های لیتیم یونی به سبب دارا بودن بالاترین چگالی انرژی، طول عمر زیاد، ولتاژ بالاتر و عدم آلدگی ترجیح داده می‌شوند.<sup>[۲۱]</sup>

### ۲-۳- ارتباط بین عملکرد خودرو و پارامترهای انتقال توان

در بررسی عملکرد یک خودروی هایبرید پیل سوختی ایمنی، طول عمر، کم‌صرف بودن و ... مهم می‌باشند. در این پایان‌نامه جهت بررسی عملکرد خودرو فاکتورهایی نظیر: حداکثر سرعت، زمان شتاب صفر تا یک سرعت معین، حداکثر مسافت طی شونده توسط خودرو تحت شرایط خاص، حداکثر شبیه بالارونده خودرو در یک سرعت خاص و میزان هیدروژن مصرفی خودرو موردنبررسی قرار می‌گیرد. در این خودروها موتور الکتریکی برای به حرکت درآوردن خودرو باید بتواند بر نیروهایی نظیر: مقاومت چرخ‌ها، مقاومت هوا و نیروی مقاومت شتاب غلبه کند. بنابراین معادله‌ی دینامیکی خودرو را به صورت زیر می‌توان نوشت.<sup>[۲۰]</sup>

$$mgfv\cos\alpha + 0.5C_d A \rho v^3 + \delta mv \frac{dv}{dt} + mgv \sin\alpha = p_m \eta_T \eta_{md} \quad (1-3)$$

در این معادله  $m$  جرم خودرو که شامل جرم پیل سوختی، باتری، موتور الکتریکی و دیگر اجزا خودرو می‌باشد.  $g$  شتاب گرانش زمین،  $f$  ضریب مقاومت غلتی،  $v$  سرعت خودرو،  $\alpha$  زاویه مسیر بالارونده،  $\rho$  ضریب اصطکاک هوا،  $A$  مساحت قسمت بادخور جلویی خودرو،  $\delta$  ضریب تصحیح چرخشی،  $C_d$  چگالی هوا،  $p_m$  توان الکتریکی تحویلی از اینورتر به موتور،  $\eta_T$  راندمان انتقال و  $\eta_{md}$  راندمان موتور الکتریکی می‌باشند. علاوه بر این معادله مربوط به تعادل توان در انتقال توان هایبرید نیز به صورت زیر می‌باشد.

---

<sup>۳۳</sup> Lithium-ion battery

$$P_m + P_{aux} = P_{fc} \eta_{dc} + P_{bat} \quad (2-3)$$

که  $P_{aux}$  توان جانبی (توان مربوط به سیستم تهویه، کولر و سیستم فرمان الکتریکی)،  $P_{fc}$  توان خالص خروجی از پیل سوختی،  $P_{bat}$  توان خروجی از باتری و  $\eta_{dc}$  راندمان مبدل DC-DC می‌باشد. در بخش‌های بعدی با استفاده از معادله‌های (۱-۳) و (۲-۳) می‌توانیم معادلات مربوط به بررسی عملکرد متغیرهای خودرو را استخراج کنیم.

### ۱-۲-۳ - حداکثر سرعت ( $v_{max}$ )

حداکثر سرعت برای یک خودرو در جاده‌های صاف ( $\alpha = 0$ ) محاسبه می‌شود؛ و همچنین در این

$$\text{سرعت} \frac{dv_{max}}{dt} = 0 \text{ هست. از معادله (۱-۳) داریم:}$$

$$2mgf v_{max} + C_d A \rho v_{max}^3 - 2p_{m-max} \eta_T \eta_{md} = 0 \quad (3-3)$$

که  $v_{max}$  حداکثر سرعت و  $p_{m-max}$  حداکثر توان تحویلی از اینورتر به موتور می‌باشد. معادله (۳-۳) یک معادله درجه سه استاندارد هست که با حل معادله داریم:

$$v_{max} = \left[ \sqrt{p^2 + \frac{8}{27}q^3} + p \right]^{\frac{1}{3}} - \left[ \sqrt{p^2 + \frac{8}{27}q^3} - p \right]^{\frac{1}{3}} \quad (4-3)$$

که در این معادله  $p$  و  $q$  دو متغیر دلخواه می‌باشند و به صورت زیر محاسبه می‌شوند:

$$\begin{cases} p = (p_{m-max} \eta_T \eta_{md}) / (C_d A \rho) \\ q = (mgf) / (C_d A \rho) \end{cases} \quad (5-3)$$

حداکثر توان الکتریکی ورودی به موتور الکتریکی به قابلیت توان دهی باتری و پیل سوختی و همچنین به توان موتور الکتریکی بستگی دارد. از این‌رو با استفاده از رابطه (۶-۳) می‌توان مقدار

[۲۰]  $P_{m-max}$  را محاسبه نمود.

$$P_{m-\max} = \min\left(P_{m-\max\text{ allowed}}, P_{fc-\max} \eta_{dc} + v_{\min} (v_{ocv} - v_{\min}) / R_{bat} - p_{aux}\right) \quad (6-3)$$

$P_{m-\max\text{ allowed}}$  حداکثر توان الکتریکی مجاز ورودی به موتور الکتریکی هست و به مشخصات داخلی موتور الکتریکی که به صورت تابعی از سرعت دورانی موتور می‌باشد، بستگی دارد.  $P_{fc-\max}$  حداکثر توان خالص خروجی از پیل سوختی و  $\eta_{dc}$  نیز راندمان مبدل DC-DC می‌باشد.  $v_{ocv}$  ولتاژ مدار باز باتری هست که بر اساس حالت شارژ باتری و دمای باتری معمولاً محاسبه می‌شود.  $v_{\min}$  حداقل مقدار مجاز سطح ولتاژ باتری می‌باشد و بر اساس مشخصات الکتروشیمیایی باتری مشخص می‌شود.  $R_{bat}$  نیز مقدار متوسط مقاومت دشارژ باتری می‌باشد، معمولاً به وسیله‌ی منحنی حالت شارژ باتری به دست می‌آید.

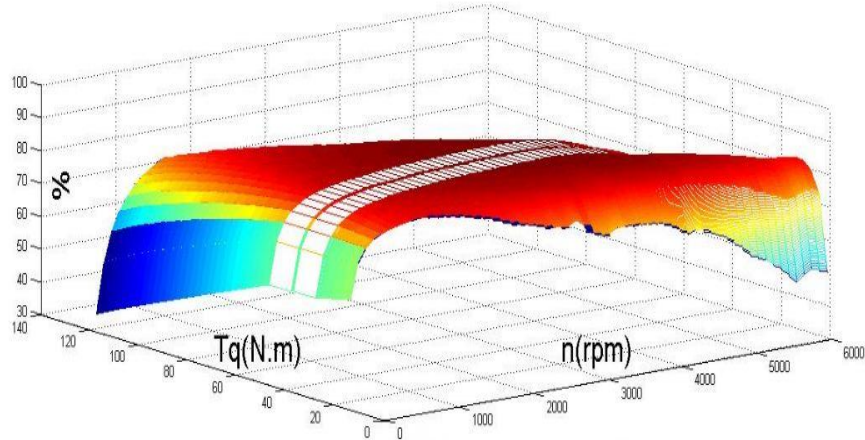
### ۲-۲-۳- زمان شتاب ( $t_u$ )

معمولًاً زمان شتاب یک خودرو را معیاری برای ارزیابی قابلیت شتاب‌گیری خودرو می‌دانند. زمان شتاب را به صورت مدت زمانی که طول می‌کشد تا سرعت خودرو از سرعت صفر به سرعت معین  $v_1$  برسد، تعریف می‌کنند. همانند محاسبه حداکثر سرعت، زمان شتاب را نیز در جاده‌های صاف محاسبه می‌کنند. در حین شتاب گیری خودرو، سرعت لحظه‌ای به صورت زیر محاسبه می‌شود: [۲۰]

$$\begin{cases} v(k) = F(k) \frac{\Delta t}{\delta m} + v(k-1) \\ v(0) = 0 \\ F(k) = T_{m-\max}(k) i_g i_0 \frac{\eta_r}{r} - mgf - 0.5 C_D A \rho v(k-1)^2 \\ T_{m-\max}(k) = \min(T_{m-\max\text{ allowed}}, p_{m-\max}(k) \frac{\eta_{md}}{\omega(k)}) \end{cases} \quad (7-3)$$

در معادله (7-3)،  $F$  نیروی رانش،  $\Delta t$  زمان ثابت و معین،  $K$  اندیس تعداد دفعات،  $\omega$  سرعت دورانی موتور الکتریکی،  $r$  شعاع چرخ خودرو،  $i_g$  بهره انتقال اصلی،  $i_0$  بهره انتقال جعبه‌دنده و

حداکثر گشتاور موتور الکتریکی که به منحنی مشخصه موتور الکتریکی (شکل (۲-۳)) بستگی دارد و  
حداکثر مقدار گشتاور در این منحنی مشخصه،  $T_{m\text{-max-allowed}}$  می‌باشد [۲۲]. زمان شتاب نیز به صورت  
 $N = \min k$  تعریف می‌شود، وقتی سرعت لحظه‌ای  $t_u = N \Delta t$  محاسبه می‌شود. که اندیس  $N$  به صورت  $N = \min k$  تعریف می‌شود، وقتی سرعت معین  $v_1$  بیشتر از سرعت  $v(k)$



شکل (۲-۳): راندمان موتور بر حسب گشتاور و سرعت

### ۳-۲-۳- حداکثر شیب بالارونده ( $\alpha_{\max}$ )

از آنجایی که خودروها با سرعت بسیار کمی به حداکثر شیب صعود خود می‌رسند پس  $\frac{dv}{dt} = 0$  و

$v^3$  می‌باشند. از معادله (۱-۳) و قیود بالا خواهیم داشت:

$$fc \cos \alpha + \sin \alpha = T_{m\text{-max}} i_g i_0 \eta_T / (mgr) \quad (8-3)$$

با حل معادله (۸) حداکثر شیب صعود بر حسب درجه را می‌توان به صورت زیر نشان داد:

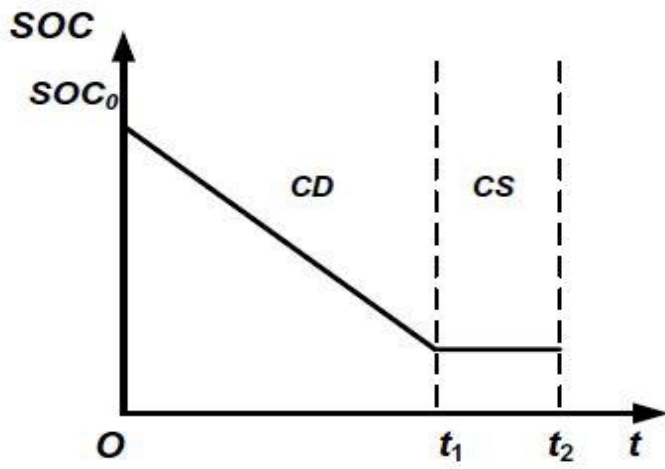
$$\alpha_{\max} = \arcsin \left( T_{m\text{-max}} i_g i_0 \eta_T / \left( mgr \sqrt{f^2 + 1} \right) \right) - \arcsin \left( T_{m\text{-max}} i_g i_0 \eta_T f / \left( mgr \sqrt{f^2 + 1} \right) \right) \quad (9-3)$$

#### ۴-۲-۳- استراتژی مدیریت انرژی

در خودروهای هایبریدی برای افزایش راندمان، لازم است علاوه بر بهینه‌سازی اجزا ساختاری خودرو به استراتژی مدیریت انرژی نیز پرداخته شود. آنچه در یک خودروی هایبریدی بسیار حائز اهمیت است چگونگی تقسیم توان بین اجزا اصلی زنجیره توان است تا خودرو در هر لحظه بالاترین راندمان را داشته باشد. این شیوه تقسیم توان تحت عنوان استراتژی مدیریت انرژی و یا استراتژی کنترل خودروی هایبریدی شناخته می‌شود. در این نوع ساختار به کار گرفته شده برای خودروی هایبریدی چگونگی تقسیم توان موردنیاز موتور الکتریکی، بین باتری و پیل سوختی به عنوان یک مشکل اساسی مطرح هست. که برای رفع این مشکل باید از یک استراتژی مدیریت انرژی مناسب استفاده گردد. استراتژی‌هایی مانند استراتژی بهینه آنی [۲۳]، استراتژی بهینه عام [۲۴]، استراتژی تبدیل موجک [۲۵] و استراتژی مدیریت انرژی بر اساس فرکانس متغیر [۲۶] روش‌هایی هستند که مورداً استفاده قرار می‌گیرند. در این‌بین استراتژی ترکیبی CDCS به عنوان پرطرفدارترین نوع استراتژی‌ها مطرح می‌باشد. هدف از استراتژی ترکیبی کمینه کردن هزینه بهره‌برداری در خودروهای هایبریدی می‌باشد. در استراتژی که در این پایان‌نامه نیز از آن استفاده شده است با استفاده از وضعیت شارژ باتری حالت کاری باتری را به دو قسمت  $CD^{۳۴}$  و  $CS^{۳۵}$  تقسیم می‌کنیم. شکل شماره (۳-۳) نمودار مربوط به حالت شارژ باتری و استراتژی ترکیبی را نشان می‌دهد. در حالت اول خودرو می‌تواند در هر دو حالت هایبرید یا باتری کار کند؛ اما در حالت دوم خودرو فقط از توان پیل استفاده می‌کند و باتری در حالت شارژ قرار می‌گیرد. با توجه به اینکه در معادلات مربوط به مصرف انرژی تفاوتی ایجاد نمی‌شود در حالت اول فرض می‌شود که پیل سوختی خاموش و خودرو فقط از باتری استفاده می‌کند.

<sup>۳۴</sup> Charge sustaining

<sup>۳۵</sup> Charge depleting



شکل (۳-۳): استراتژی CDSC

### ۳-۲-۵-حداکثر مسافت طی شونده تحت سرعت ثابت (L)

با توجه به استراتژی مدیریت انرژی به کار گرفته شده در این پایان نامه، حرکت خودرو را در دو مرحله در نظر می‌گیریم؛ یعنی فرض می‌کنیم در یک مرحله خودرو فقط از توان پیل سوختی استفاده می‌کند و در مرحله بعد پیل خاموش شده و باتری تمام توان موردنیاز را تأمین می‌کند. به همین ترتیب در مرحله اول مسافت  $L_1$  یعنی مسافت طی شونده توسط توان تحویلی از پیل سوختی به صورت زیر محاسبه می‌شود:

$$\left\{ \begin{array}{l} L_1 = (E_{fc} \eta_{dc} - E_{aux}) \frac{\eta_T \eta_{md}}{mgf + 0.5 C_D A \rho V_0^2} \\ E_{fc} = m_{hydro} LHV \eta_{fc} \end{array} \right. \quad (10-3)$$

که  $E_{fc}$  انرژی خالص خروجی از پیل سوختی،  $\eta_{dc}$  راندمان مبدل DC-DC انرژی مصرف شده توسط اجزای جانبی خودرو،  $m_{hydro}$  جرم هیدروژن ذخیره شده در مخزن مخصوص، LHV کمترین حرارت هیدروژن درون مخزن<sup>۳۶</sup>،  $\eta_{fc}$  راندمان سیستم پیل سوختی و  $V_0$  سرعت ثابت در طول حرکت خودرو می‌باشد. در مرحله دوم یعنی با فرض اینکه تمام توان از باتری تأمین شود مسافت

<sup>۳۶</sup> Low heat value of hydrogen

$L_2$  نیز به همین روش محاسبه می‌شود. اگر  $E_{bat}$  انرژی ذخیره شده در باتری و  $\eta_{bat}$  راندمان دشارژ باتری باشد. مسافت  $L_2$  به صورت زیر محاسبه می‌شود.

$$L_2 = (E_{bat} \eta_{bat} - E_{aux}) \frac{\eta_T \eta_{md}}{mgf + 0.5 C_D A \rho V_0^2} \quad (11-3)$$

مسافت کلی طی شده در دو مرحله نیز به صورت زیر حاصل می‌شود:

$$L = L_1 + L_2 \quad (12-3)$$

### ۶-۲-۳- هیدروژن مصرفی

با توجه به فرض در نظر گرفته شده در شکل (۳-۳) در مورد استراتژی مدیریت انرژی، هیدروژن فقط در مرحله CS مصرف می‌شود. در تعیین میزان مصرف، هیدروژن مصرف شده در طی مسافت ۱۰۰ کیلومتر در مرحله CS در یک سیکل دلخواه را اندازه‌گیری می‌کنند. از [۲۷] میزان انرژی مصرف شده از هیدروژن به صورت زیر به دست می‌آید:

$$E_{hydro} = \left( \frac{E_{md}}{\eta_{md}} + E_{aux} + E_{batloss} - E_{mb} \eta_{mb} \right) / \eta_{fc} \eta_{dc} \quad (13-3)$$

که  $E_{md}$  انرژی مکانیکی استفاده شده موتور الکتریکی برای حرکت خودرو،  $E_{batloss}$  انرژی اضافی در حین شارژ/دشارژ باتری،  $E_{mb}$  انرژی مکانیکی حاصل از بازیافت انرژی حاصل از ترمز و  $\eta_{mb}$  راندمان بازیافت انرژی ترمز گیری موتور الکتریکی می‌باشد. جرم هیدروژن مصرفی نیز به صورت زیر محاسبه می‌شود.

$$m_{hydro} = \frac{E_{hydro}}{LHV} \quad (14-3)$$

### ۳-۳- تعریف مسئله

مسئله بهینهسازی در این پایاننامه درواقع طراحی یک خودروی هایبریدی پیل سوختی/باتری می باشد. بهگونه ای که تمام ملزمات موردنیاز برای یک خودرو خانوادگی برای سفرهای شهری و بین شهری را برآورده سازد، و در عین حال هزینه کلی سیستم حداقل شود. عملکرد خودرو: نظیر حداکثر سرعت، زمان شتاب صفر، حداکثر مسافت طی شونده توسط خودرو تحت شرایط خاص و میزان هیدروژن مصرفی یک خودرو برقی پیل سوختی تحت تأثیر شش پارامتر یعنی: حداکثر توان پیل سوختی ( $P_{fc\text{-max}}$ )، راندمان سیستم پیل سوختی ( $\eta_{fc}$ )، هیدروژن ذخیره شده ( $m_{hydro}$ )، مقاومت متوسط باتری ( $R_{bat}$ )، ظرفیت باتری ( $C_{bat}$ ) و توان جانبی خودرو ( $P_{aux}$ ) می باشد. از بین شش پارامتر مطرح شده، دو پارامتر یعنی راندمان پیل سوختی و توان جانبی خودرو مقادیر مشخصی دارند. یعنی راندمان سیستم پیل سوختی، بر حسب نوع شرکت سازنده پیل و مدل آن همواره چیزی در حدود ۵۰-۵۵٪ می باشد و توان جانبی با توجه به نوع سیستم تهويه و فرمان الکتریکی به صورت یک مقدار ثابت بیان می شوند. تعداد پارامترهای مسئله به چهار پارامتر کاهش می یابد که در این بین با توجه به معادله (۱۱-۳) و رابطه زیر متوجه می شویم که متغیر  $R_{bat}$  تابعی از  $C_{bat}$  می باشد.

$$\begin{cases} R_{bat} = D \frac{V_{ocv}}{C_{bat}} \\ D = R_{cell} \frac{C_{cell}}{V_{ocvcell}} \end{cases} \quad (15-3)$$

که در این رابطه  $D$  به عنوان یک پارامتر که بر حسب خواص سلول باتری به دست می آید، تعریف شده است. درنتیجه به یک مسئله بهینهسازی با سه متغیر مستقل یعنی: ظرفیت باتری ( $C_{bat}$ )، جرم هیدروژن ذخیره شده ( $m_{hydro}$ ) و حداکثر توان خروجی پیل سوختی ( $P_{fc\text{-max}}$ ) خواهیم رسید که به صورت (۱۶-۳) تعریف می شود.

$$\min_x \left\{ \begin{array}{l} \text{cost}_{sys} = \text{cost}_{fix} + \text{cost}_{ope} \\ \text{cost}_{fix} = k_1 P_{fc\ max} + k_2 C_{bat} V_{ocv} \\ \text{cost}_{ope} = k_3 N_1 C_{bat} V_{ocv} \Delta SOC \eta_{grid} + k_4 N_2 m_{hydro} \eta_{ref} \end{array} \right\}$$

$$S.t \begin{cases} v_{max} \geq 120 kmh^{-1} \\ t_u \leq 6s \\ L \geq 300 km \end{cases} \quad (16-3)$$

که  $\text{cost}_{sys}$  هزینه کلی می‌باشد و باید کمینه شود،  $\text{cost}_{fix}$  هزینه ثابت پیل و باتری،  $\text{cost}_{ope}$  هزینه نگهداری از دو منبع توان در طول عمر خودرو،  $k_1$  هزینه متوسط سیستم پیل سوختی،  $k_2$  هزینه متوسط سیستم باتری،  $k_3$  قیمت برق شبکه،  $k_4$  قیمت هیدروژن پالایش شده،  $\Delta SOC$  تغییرات مجاز میزان شارژ باتری بر اساس استراتژی تعیین شده، ضریب  $N_1$  و  $N_2$  به ترتیب مربوط به تعداد دفعات شارژ باتری از شبکه و تعداد دفعات پر شدن مخزن هیدروژن در کل طول عمر خودرو و بردار  $x = (P_{fc\ max}, m_{hydro}, C_{bat})$  بردار متغیرهای بهینه‌سازی می‌باشد.

در قیود مسئله فوق به موارد زیر اشاره شده است:

- ۱) حداکثر سرعت خودرو باید بیش از  $120 kmh^{-1}$  باشد.
- ۲) زمان شتاب خودرو یعنی مدت زمانی که سرعت خودرو از  $0 kmh^{-1}$  به  $50 kmh^{-1}$  می‌رسد باید کمتر از  $6s$  باشد.
- ۳) مسافت طی شونده توسط خودرو با یکبار سوخت‌گیری کامل باتری و هیدروژن، باید بیش از  $300 km$  باشد.

همان‌طوری که مطرح شد در این پایان‌نامه از استراتژی مدیریت انرژی موسوم به CDCS استفاده شده است. در مود کاری CD، انرژی لازم برای به حرکت درآوردن خودرو توسط باتری تأمین می‌شود. در معادله‌ی مربوط به تابع هدف مسئله بهینه‌سازی قسمت اول تابع مربوط به هزینه نگهداری سیستم (

( $\text{cost}_{ope}$ ) مربوط به هزینه الکتریکی باتری می‌باشد. در مود کاری CS باتری در حالت شارژ قرار می-گیرد و اگرچه در بعضی از شرایط باتری توان موردنیاز برای اتفاقات دینامیکی گذرا را فراهم می‌کند ولی متوسط توان خروجی از باتری تقریباً برابر با صفر است. در این مود تنها از پیل سوختی برای تأمین انرژی خودرو استفاده می‌شود؛ بنابراین قسمت دوم مربوط به  $\text{cost}_{ope}$  به هزینه گاز هیدروژن مصرف شده در مود CS در کل طول عمر خودرو می‌باشد. در رابطه هزینه نگهداری با این فرض که بخواهیم با توجه به استاندارد اروپا مدت ۵ سال از خودور استفاده کنیم ضرایب  $k_3$  و  $k_4$  مقادیر متوسط سالانه قیمت برق شبکه و قیمت هیدروژن می‌باشند و مقادیر آن‌ها از [۲۸] در جدول (۱-۳) در جدول آورده شده است.

جدول (۱-۳): مقادیر ضرایب  $k_3$  و  $k_4$  طی ۵ سال گذشته

	2009	2010	2011	2012	2013
$k_3 (\$/kwh)$	0.04	0.0489	0.0464	0.0359	0.0561
$k_4 (\$/kg)$	3.8	3.6	3.5	3.2	3.2

## فصل چهارم:

بررسی عملکرد خودرو هایبرید پیل سوختی

متصل به شبکه و بهینه‌سازی منابع تغذیه

#### ۴-۱- تأثیر پارامترهای انتقال توان بر روی عملکرد خودرو

عملکرد یک خودرو الکتریکی هایبرید پیل سوختی به صورت کلی تحت تأثیر پارامترهایی نظیر ظرفیت باتری ( $C_{bat}$ )، مقاومت الکتریکی باتری ( $R_{bat}$ )، حداکثر توان پیل سوختی ( $P_{fc-max}$ )، راندمان پیل سوختی ( $\eta_{fc}$ )، جرم هیدروژن مخزن ( $m_{hydro}$ ) و توان جانبی ( $p_{aux}$ ) قرار می‌گیرد. جرم یک خودرو هایبریدی شامل جرم تمام اجزا خودرو از جمله پیل سوختی، باتری و موتور الکتریکی می‌باشد. با در نظر گرفتن این نکات خواهیم داشت:

$$m = m_0 + p_{fc-max} / p_1 + E_{bat} / p_2 \quad (1-4)$$

که در این رابطه  $m_0$  جرم کلی خودرو بدون در نظر گرفتن پیل سوختی و باتری،  $p_1$  نسبت توان به وزن سیستم پیل سوختی ( $0.157 \text{ kw/kg}$ )،  $p_2$  انرژی مخصوص پکیج باتری ( $70 \text{ wh/kg}$ ) و نیز انرژی الکتریکی موجود در پکیج باتری می‌باشد. با افزایش حداکثر توان خروجی پیل سوختی و ظرفیت باتری بر جرم کلی خودرو نیز افزوده می‌شود که درواقع یک تأثیر منفی بر عملکرد خودرو خواهد داشت. برای نشان دادن تأثیر پارامترهای مختلف بر روی عملکرد خودرو، از یک خودرو مشخصات خودرو سواری پراید از جدول شماره (۱-۴) استفاده کرده‌ایم.

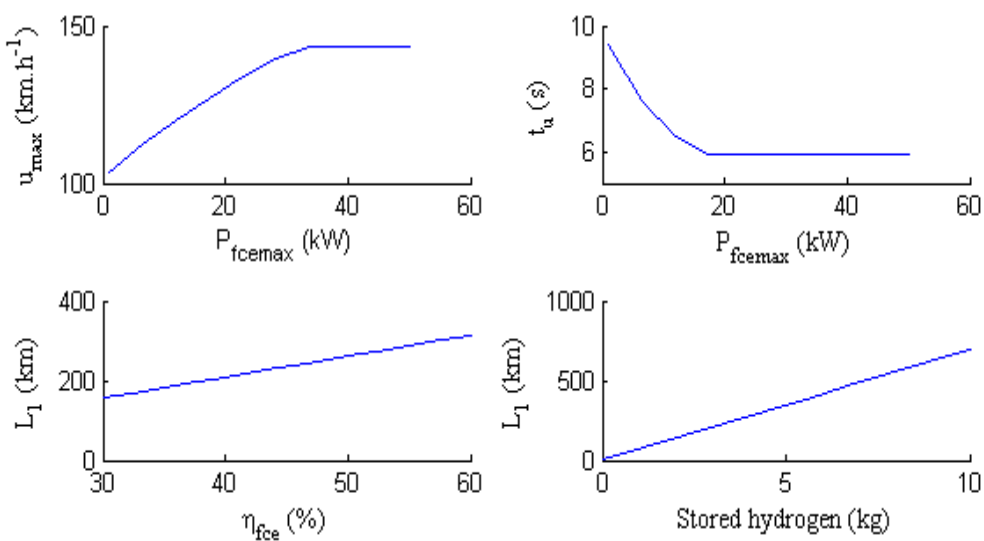
جدول (۱-۴): پارامترهای خودرو سواری پراید

پارامتر	واحد	مقدار
$m$	$\text{kg}$	1024
$g$	$\text{m/s}^2$	9.8
$f$	-	0.015
$C_d$	-	0.41
$A$	$\text{m}^2$	1.8
$\delta$	-	1.1
$\eta_T$	%	93
$\eta_{md}$	%	85
$\rho$	$\text{kg/m}^3$	1.29

#### ۱-۱-۴- تأثیر پارامترهای مربوط به پیل سوختی ( $m_{hydro}$ , $P_{fc-\max}$ , $\eta_{fc}$ و $L$ )

در شکل (۱-۴) نحوه تأثیر پارامترهای پیل سوختی بر روی عملکرد خودرو نشان داده شده است. حداکثر سرعت خودرو با افزایش حداکثر توان پیل سوختی افزایش می‌یابد و این افزایش با شیب ۱.۲۲  $km(h\ kW)^{-1}$  تا حداکثر توان پیل سوختی برابر با  $33\ kW$  ادامه می‌یابد. در این توان، حداکثر سرعت به  $145\ km/h$  می‌رسد. در توان خروجی پیل سوختی بیش از  $33\ kW$  حداکثر سرعت با شیب بسیار ناچیزی شروع به کاهش می‌کند و دلیل این اتفاق افزایش وزن کلی خودرو می‌باشد در حالی‌که توان خروجی موتور الکتریکی ثابت می‌ماند.

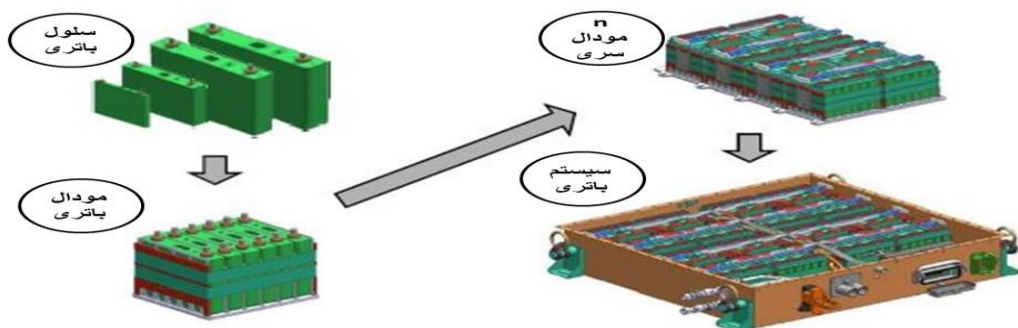
در بررسی نمودار مربوط به زمان شتاب (زمان رسیدن سرعت از  $0$  تا  $50\ km/h$ ) مشاهده می‌شود که زمان شتاب با افزایش توان پیل با شیب  $kw^{-1}-0.13s$ - کاهش می‌یابد اما به همان دلیل مربوط به حداکثر سرعت در توان بیش از  $23\ kW$  زمان شتاب نیز با شیب بسیار ناچیزی شروع به افزایش می‌کند. همچنین مسافت طی شونده خودرو توسط توان حاصل از پیل سوختی  $L_1$  به صورت خطی با افزایش راندمان پیل و جرم هیدروژن ذخیره شده پیل افزایش می‌یابد.



شکل (۱-۴): تأثیر پارامترهای پیل سوختی بر روی عملکرد خودرو

#### ۲-۱-۴- پارامترهای مربوط به باتری ( $R_{bat}$ و $C_{bat}$ )

در میان گونه‌های مختلف باتری مورداستفاده (سرب اسیدی، هایبرید نیکل-فلز، نیکل-کادمیم) در خودروهای برقی باتری‌های لیتیم-یونی به سبب دارا بودن بالاترین چگالی انرژی، طول عمر زیاد، ولتاژ بالاتر و عدم آلودگی ترجیح داده می‌شوند.



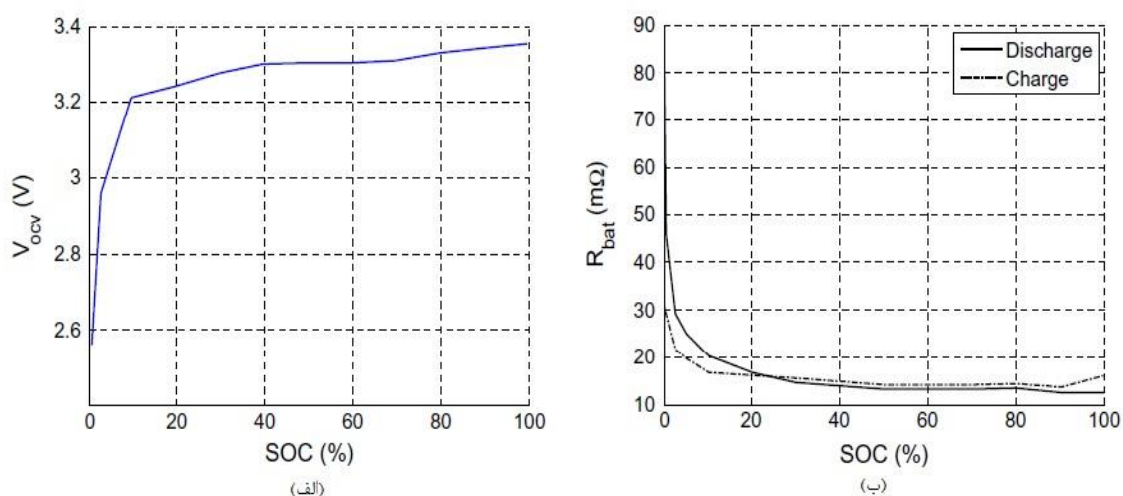
شکل (۲-۴): سیستم باتری خودرو

در سیستم مربوط به باتری خودرو فرض می‌کنیم که باتری از  $n$  مژول سری متصل شده به یکدیگر تشکیل شده است [۶] و هر مژول دارای  $m$  سلول موازی متصل شده به هم می‌باشد. درنتیجه خواهیم داشت:

$$\left\{ \begin{array}{l} C_{bat} = \frac{m}{n} C_{cell} \\ R_{bat} = \frac{n}{m} R_{cell} \\ V_{ocv} = n V_{ocvcell} \end{array} \right. \quad (2-4)$$

که  $C_{bat}$  ظرفیت باتری،  $R_{bat}$  میانگین مقاومت باتری،  $V_{ocv}$  ولتاژ مدارباز باتری،  $C_{cell}$  ظرفیت هر سلول باتری،  $R_{cell}$  مقاومت هر سلول باتری و  $V_{ocvcell}$  ولتاژ مدارباز هر سلول باتری می‌باشد. عملکرد هر باتری طبق معادله (۲-۴) بر اساس سه پارامتر مشخص می‌شود؛ که در این بین ولتاژ مدارباز تحت تأثیر دو عامل محدود می‌شود؛ یعنی اگر این ولتاژ بالا باشد تلفات سیستم به دلیل کم شدن جریان کاهش

می‌باید و از طرفی بالا رفتن سطح ولتاژ سبب استفاده از ابزار الکترونیکی با قیمت بالاتری جهت بالا بردن ایمنی و قابلیت اطمینان می‌شود؛ که به خاطر مسائل مربوط به هزینه و راندمان سیستم از ابتدا ولتاژ مدارباز تعیین می‌شود. بنابراین برای یک خودرو عملکرد خودرو تحت تأثیر دو پارامتر قرار می-گیرد. ظرفیت و مقاومت متوسط باتری که هر دو پارامتر به دلیل اینکه باتری با گذشت زمان دچار تخریب می‌شود<sup>[۷]</sup> متغیر می‌باشند و به مرور زمان باتری دچار کاهش ظرفیت و افزایش مقاومت می-شود. انواع مختلفی از باتری‌های لیتیم یونی مانند: Li(NiCo)O<sub>2</sub>, LiMn<sub>2</sub>O<sub>4</sub>, LiCoO<sub>2</sub>, LiFePO<sub>4</sub> موجود می‌باشند. عموماً در خودروهای برقی از باتری‌های لیتیم یونی LiFePO<sub>4</sub> به دلیل ایمنی و طول عمر بیشتر استفاده می‌کنند. در شکل شماره (۴-۳-الف) ارتباط بین ولتاژ مدارباز و SOC یک سلول باتری LiFePO<sub>4</sub> با ظرفیت 11 A.h نشان داده شده است. همچنین در شکل شماره (۴-۳-ب) ارتباط بین مقاومت شارژ و دشارژ باتری با SOC باتری نشان داده شده است. از آنجایی که هم در حالت شارژ و هم در حالت دشارژ مقاومت باتری در محدوده  $soc \in [0.3, 0.9]$ ،  $15m\Omega$  می‌باشد. بنابراین مقاومت متوسط هر سلول باتری را  $15m\Omega$  در نظر می‌گیریم.



شکل (۴-۳): الف) منحنی تغییرات ولتاژ مدارباز و مقاومت باتری بر حسب  $soc$  [۲۰]

در شکل‌های شماره (۴-۴) و (۵-۴) نشان داده می‌شود که چگونه پارامترهای باتری بر روی عملکرد خودرو تأثیر می‌گذارند. در قسمت بالایی هر دو شکل تأثیر افزایش تعداد سلول‌های موازی باتری یا افزایش ظرفیت باتری بر عملکرد خودرو و در قسمت پایینی نیز تأثیر ایجاد تخریب در باتری و افزایش مقاومت باتری بر عملکرد خودرو به تصویر کشیده می‌شود. درواقع مقاومت متوسط باتری منعکس‌کننده درجه تخریب باتری برآثر گذشت زمان می‌باشد. ظرفیت باتری با افزایش تعداد سلول‌های موازی باتری، افزایش داده می‌شود. یک باتری با ظرفیت بیشتر، توان بیشتری را نسبت به یک باتری با ظرفیت کمتر تحویل می‌دهد بنابراین افزایش ظرفیت باعث افزایش حداکثر سرعت و کاهش زمان شتاب خودرو می‌شود. همان‌طور که در شکل (۴-۴) مشاهده می‌شود حداکثر سرعت، تقریباً به صورت خطی و با شیب  $1.6 \text{ km.h}^{-2} \text{ A}^{-1}$  افزایش می‌یابد. بر عکس این قضیه زمان شتاب به صورت غیرخطی دچار کاهش می‌شود. به عنوان مثال وقتی ظرفیت باتری  $10 \text{ A.h}$  باشد زمان شتاب  $10$  ثانیه می‌باشد و در ظرفیت‌های بیشتر زمان شتاب کاهش می‌یابد. اگر در یک خودرو برای ما زمان شتاب کمتر از  $10$  ثانیه مطلوب باشد، همان‌طور که در شکل مشاهده می‌کنیم ظرفیت باتری باید بیشتر از  $18 \text{ A.h}$  باشد.

یک باتری با ظرفیت بیشتر، انرژی بیشتری را در خود ذخیره می‌کند. بنابراین همان‌طور که در شکل (۵-۴) نشان داده شده است. مسافت طی شونده توسط خودرو در حالت CD یعنی زمانی که فقط از باتری جهت حرکت خودرو استفاده می‌شود با افزایش ظرفیت باتری، با شیب تقریبی  $0.8 \text{ km(Ah)}^{-1}$  افزایش می‌یابد. مقاومت متوسط باتری با ایجاد تخریب در باتری برآثر گذشت زمان افزایش می‌یابد. طبق مقاله [۲۸] افزایش مقاومت سطحی و مقاومت الکتروولیت دلایل اصلی تلفات توان در باتری‌ها می‌باشند. مطالعه انجام‌شده در مقاله فوق تلفات توان برای یک سلول باتری LiFePO<sub>4</sub> بعد از ۶۰۰ سیکل کاری در دماهای ۰,۱۰, ۴۵ درجه به ترتیب در حدود ۰%, ۶۱.۶%, ۷۷.۲% می‌باشد. در قسمت

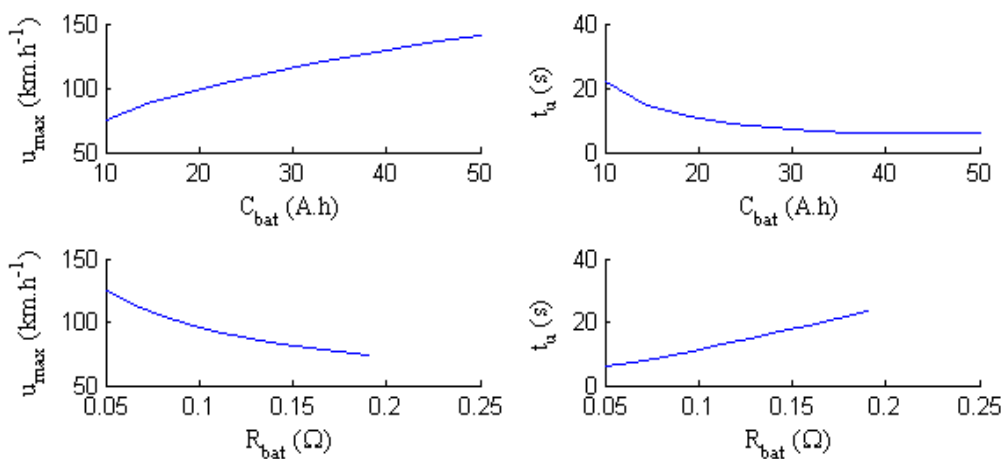
پایین شکل (۴-۴) مشاهده می‌شود که اگر مقاومت متوسط باتری سه برابر شود، عملکرد توان

خروجی باتری به مقدار  $\frac{1}{3}$  خود می‌رسد. که یعنی تلفات توان ۶۶.۷٪ اتفاق افتاده است.

زمانی که مقاومت متوسط باتری افزایش می‌یابد. توان خروجی کاهش و تلفات انرژی افزایش می‌یابد که متعاقباً باعث کاهش مسافت طی شونده خودرو در حالت کاری CD می‌شود. علاوه بر موارد فوق افزایش مقاومت متوسط باتری باعث افزایش مصرف هیدروژن در خودرو نیز می‌شود؛ که از طریق رابطه زیر می‌توان این ارتباط را بیان نمود.

$$\Delta E_{hydro} / E_{hydro} = -NEC \Delta R_{bat} / (E_{hydro} R_{bat} \eta_{fce} \eta_{dc}) \quad (3-4)$$

در رابطه فوق NEC مصرف خالص برق از باتری می‌باشد که از یک پارچه‌سازی انرژی ورودی/خروجی از باتری در حین کار به دست می‌آید. اگر مقاومت متوسط باتری تا ۵۰٪ افزایش یابد، یک افزایش ۳.۴٪ در مصرف هیدروژن خودرو خواهیم داشت.

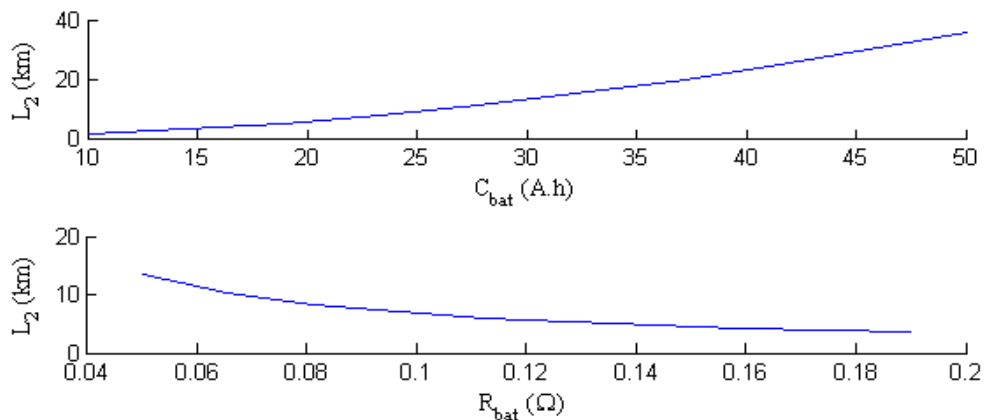


شکل (۴-۴): تأثیر ظرفیت و مقاومت باتری بر حداکثر سرعت و زمان شتاب

### ۳-۱-۴ - توان جانبی

توان جانبی خودرو توان موردنیاز برای سیستم تهویه الکتریکی هوا و سیستم فرمان الکتریکی می‌باشد. در سیستم تهویه الکتریکی، انرژی الکتریکی موردنیاز، توسط باتری خودرو تأمین می‌شود؛

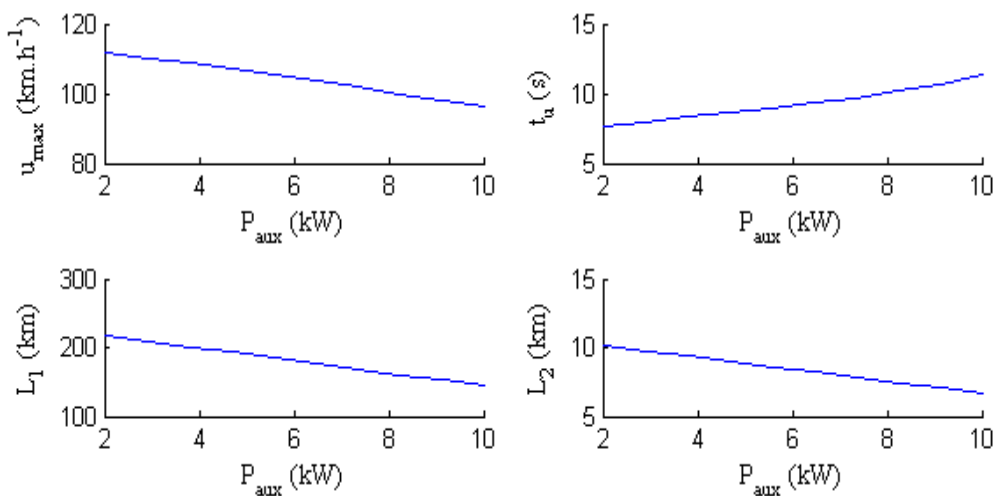
بنابراین سیستم تهویه الکتریکی مستقیماً از توان موتور استفاده نمی‌کند و بار اضافی بر موتور اعمال نمی‌کند و به همین دلیل سبب کاهش مصرف سوخت می‌شود.



شکل (۴-۵): تأثیر ظرفیت و مقاومت باتری بر مسافت طی شونده

این سیستم بیشتر در خودروهای هایبریدی کاربرد دارد زیرا برای تأمین انرژی الکتریکی، تجهیزات بیشتری نسبت به خودروهای معمول دارد. سیستم فرمان الکتریکی نیز در بسیاری از خودروها، جایگزین سیستم فرمان هیدرولیکی شده است. سیستم فرمان هیدرولیکی از توان خودرو برای کارکرد خود استفاده می‌کند اما سیستم الکتریکی با استفاده از انرژی الکتریکی باتری خودرو که همیشه در حرکت شارژ می‌شود استفاده می‌کند به همین دلیل توان کمتری مصرف می‌کند و درنتیجه سبب کاهش مصرف سوخت می‌شود. در شکل (۴-۶) تأثیر این توان بر عملکرد خودرو را می‌بینیم. مصرف توان جانبی تأثیر زیادی بر روی مصرف هیدروژن مصرفی خودرو دارد. ارتباط بین این دو کمیت را می‌توان با فرمول زیر نشان داد:

$$\Delta E_{hydro} / E_{hydro} = \Delta E_{aux} / (E_{hydro} \eta_{fce} \eta_{dc}) \quad (4-4)$$



شکل (۶-۴): تأثیر توان جانبی بر عملکرد خودرو

زمانی که مصرف توان جانبی افزایش می‌یابد، حداکثر سرعت و مسافت طی شونده توسط خودرو کاهش می‌یابند. در حالی که زمان شتاب افزایش می‌یابد. ارتباط بین پارامترها و مصرف توان جانبی تقریباً به صورت خطی می‌باشد و شبیه مربوط به نمودار حداکثر سرعت، زمان شتاب و مسافت طی شونده در حالت کاری CS و CD به ترتیب  $CD = -0.625 \text{ km}(\text{h.kw})^{-1}$ ,  $CS = 0.375 \text{ s(kw)}^{-1}$  و  $-7 \text{ km kw}^{-1}$  می‌باشد.

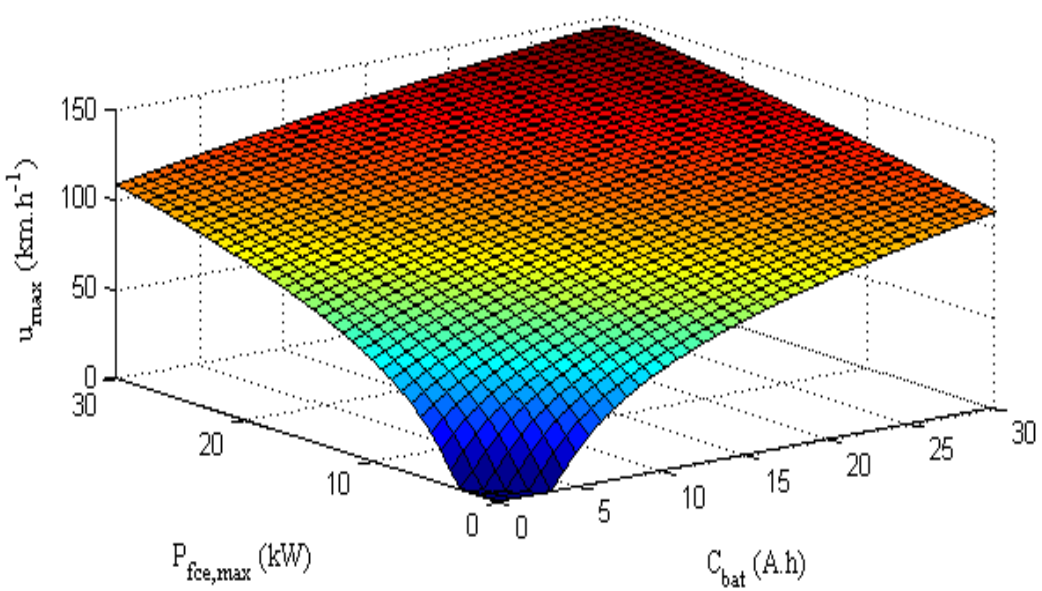
#### ۴-۲- حل مساله بهینه‌سازی به روش مستقیم

مسئله (۳-۱۶) به گونه‌ای هست که قیود مسئله به صورت مستقیم در مسئله ظاهر نمی‌شوند. به همین دلیل با استفاده از روابط مطرح شده در فصل قبل می‌توانیم قیود را بر حسب متغیرهای موجود در تابع هدف بازنویسی کنیم.

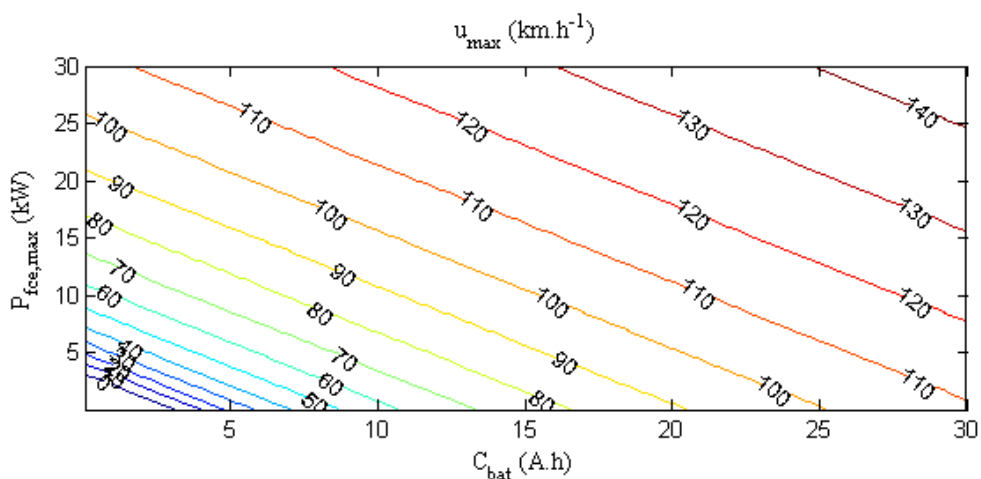
#### ۴-۲-۱- حداکثر سرعت

از معادله‌های (۳-۴) و (۳-۶) متوجه می‌شویم که حداکثر سرعت خودرو تابعی از حداکثر توان خروجی پیل سوختی و ظرفیت باتری می‌باشد،  $v_{\max} = f(p_{fce-\max}, c_{bat})$ . نمودار مربوط به تابع

حداکثر سرعت در شکل (۷-۴) نشان داده شده است. برای برقراری شرط  $v_{\max} \geq 120 \text{ kmh}^{-1}$  همان‌طور که در شکل (۸-۴) مشخص شده است، حداکثر توان پیل سوختی و ظرفیت باتری باید به ترتیب بیش از ۱۰ kw و ۹ A.h باشد.



شکل (۷-۴): نمودار سه‌بعدی تابع حداکثر سرعت بر حسب حداکثر توان پیل و ظرفیت باتری

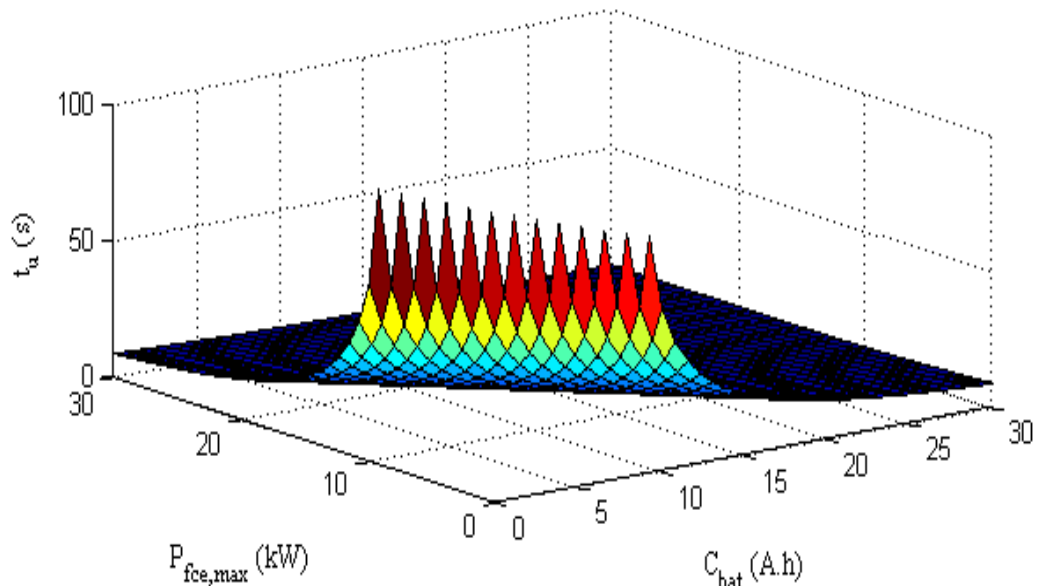


شکل (۸-۴): نمودار تابع حداکثر سرعت بر حسب حداکثر توان پیل و ظرفیت باتری

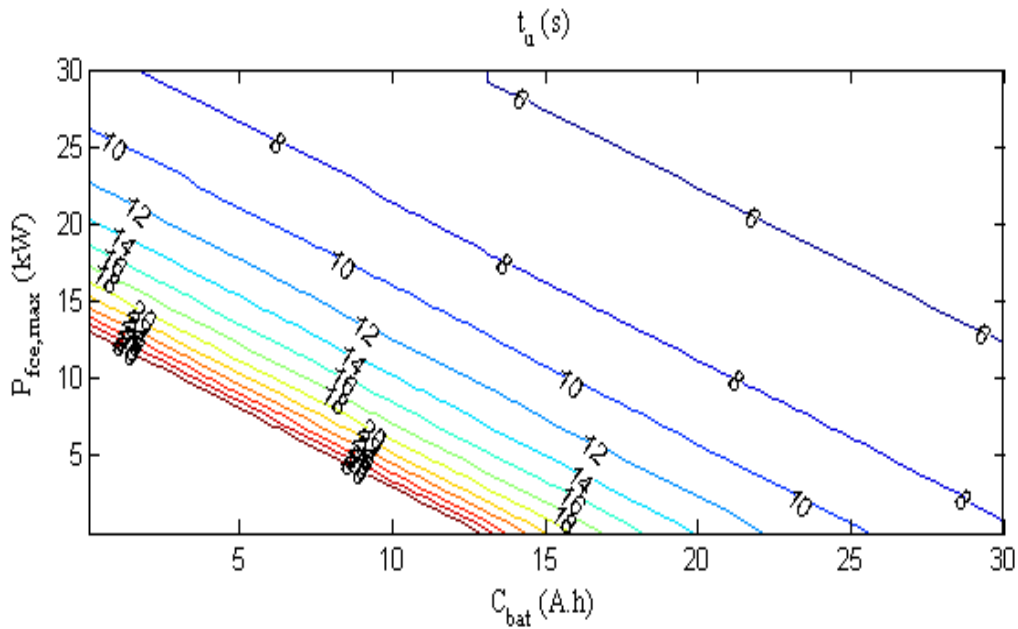
در شکل (۸-۴) مشاهده می‌کنیم زمانی که حداکثر سرعت  $v_{\max} = 120 \text{ kmh}^{-1}$  یک رابطه خطی بین  $c_{bat}$  و  $p_{fce-\max}$  برقرار می‌باشد.

#### ۲-۲-۴- زمان شتاب

از معادلات شماره (۳-۶) و (۳-۷) متوجه می‌شویم که زمان شتاب از ۰ km/h تا ۵۰ km/h تابعی از حداکثر توان پیل سوختی و ظرفیت باتری می‌باشد،  $t_u = g(p_{fce-\max}, c_{bat})$ . نمودار مربوط به تابع زمان شتاب در شکل (۹-۴) نشان داده شده است. برای برقراری شرط  $t_u \leq 6s$  همان‌طور که در شکل (۱۰-۴) نشان داده شده است، حداکثر توان پیل سوختی و ظرفیت باتری باید به ترتیب بیش از ۱۵ kw و ۱۵ A.h باشد.



شکل (۹-۴): نمودار سه‌بعدی تابع زمان شتاب بر حسب حداکثر توان پیل و ظرفیت باتری

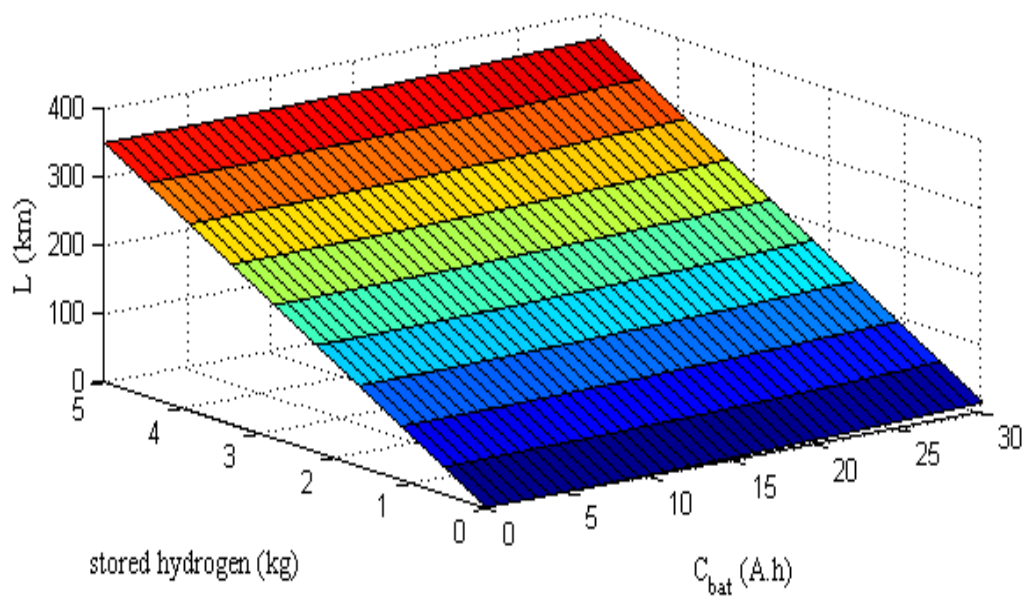


شکل (۱۰-۴): نمودار تابع زمان شتاب بر حسب حداکثر توان پیل و ظرفیت باتری

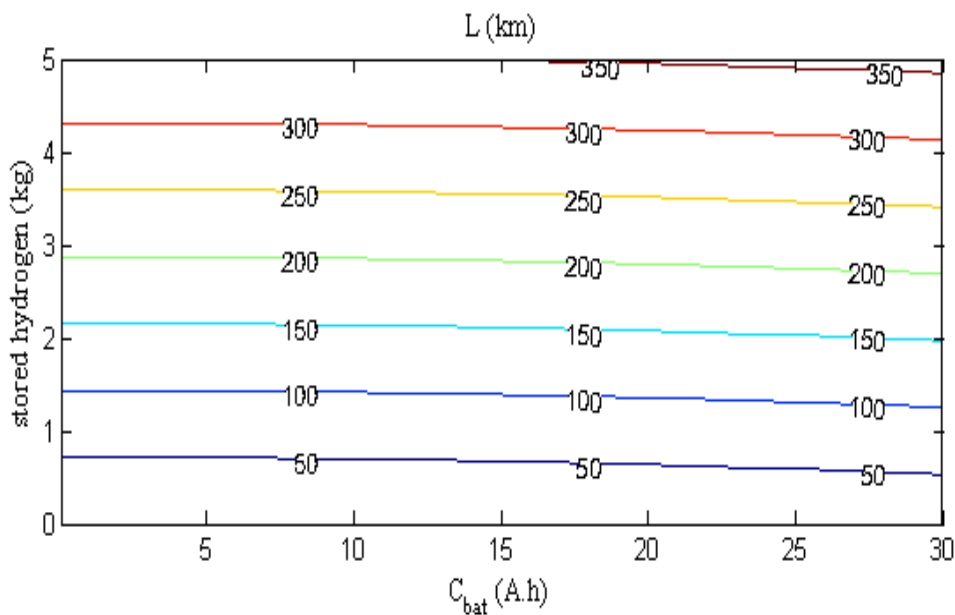
در شکل (۱۰-۴) نیز مشاهده می‌کنیم زمانی که زمان شتاب  $t_u = 6s$  یک رابطه خطی بین  $P_{fce\text{-max}}$  و  $C_{bat}$  برقرار می‌باشد.

### ۳-۲-۴- مسافت طی شونده

از معادلات (۱۰-۳) تا (۱۴-۳) متوجه می‌شویم که حداکثر مسافت طی شونده توسط خودرو ( $L$ ) به صورت تابعی از جرم هیدروژن ذخیره شده ( $m_{hydro}$ ) و ظرفیت باتری ( $C_{bat}$ ) می‌باشد،  $L = h(m_{hydro}, C_{bat})$ . با افزایش جرم هیدروژن و یا ظرفیت باتری مسافت طی شونده، افزایش می‌یابد. البته حساسیت مسافت نسبت به تغییر در جرم هیدروژن ذخیره شده بسیار بیشتر از ایجاد تغییر در ظرفیت باتری می‌باشد ( $L = 76.658m_{hydro} + 1.597C_{bat}$ ). نمودار مربوط به تابع حداکثر مسافت بر حسب جرم هیدروژن و ظرفیت باتری در شکل (۱۱-۴) نشان داده شده است. برای برقراری شرط همان‌طور که در شکل شماره (۱۲-۴) نشان داده شده است، جرم هیدروژن ذخیره شده باید بیشتر از ۴.۵ کیلوگرم باشد و ظرفیت باتری می‌تواند در هر محدوده دلخواهی باشد.



شکل (۱۱-۴): نمودار سه بعدی تابع مسافت L بر حسب جرم هیدروژن و ظرفیت باتری



شکل (۱۲-۴): نمودار تابع مسافت L بر حسب جرم هیدروژن و ظرفیت باتری

#### ۴-۲-۴- بازنویسی قیود مسئله

حال با در نظر گرفتن نمودارهای فوق و همچنین مسئله بهینه‌سازی، به بازنویسی قیود مسئله می-

پردازیم. در واقع با مسئله‌ای روبرو می‌شویم که باید از شروط زیر پیروی کند:

جهت رسیدن به زمان شتاب مطرح شده در قید، حداکثر توان خروجی پیل سوختی باید بیشتر از 15 kw و ظرفیت باتری بیشتر از 15 A.h باشد.

برای رسیدن به شرط مربوط به مسافت طی شونده توسط خودرو، جرم هیدروژن مخزن باید بیشتر از 4.5 kg باشد.

برای رسیدن به شرط مربوط به حداکثر سرعت، حداکثر توان خروجی پیل سوختی و ظرفیت باتری باید به ترتیب بیش از 10 kw و 9 A.h باشند.

همچنین به دلیل داشتن محدودیت در وزن و فضا قیود زیر را نیز باید در نظر بگیریم:

$$\begin{cases} m_{hydro} \in [0,5] \text{kg} \\ C_{bat} \in [0,30] \text{A.h} \\ P_{fc \max} \in [0,50] \text{kw} \end{cases} \quad (5-4)$$

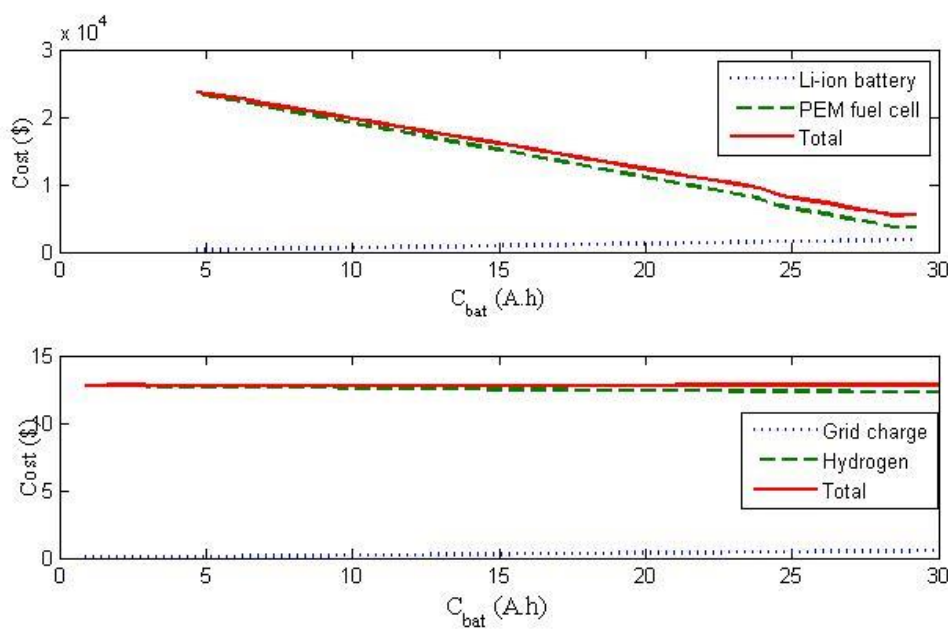
درنتیجه قیود زیر را برای مسئله خواهیم داشت:

$$\begin{cases} m_{hydro} \geq 4.5 \text{kg} \\ C_{bat} \geq 15 \text{A.h} \\ P_{fc \max} \geq 15 \text{kw} \end{cases} \quad (6-4)$$

قبل از حل مسئله بهینه‌سازی با قیود فوق اقدام به بررسی تغییرات هزینه‌های کلی، هزینه ثابت و هزینه مربوط به نگهداری خودرو می‌کنیم. برای این منظور تغییرات هزینه‌های فوق را در محدوده مجاز  $L=300 \text{ km}$  و  $t_u=6 \text{ s}$  را بر حسب تغییرات ظرفیت باتری رسم می‌کنیم. در قسمت بالایی شکل (۱۳-۴) ارتباط بین هزینه ثابت ( $C_{bat}$ ) و ظرفیت باتری ( $cost_{fix}$ ) زمانی که  $t_u=6 \text{ s}$  می‌باشد، نشان داده شده است. هزینه ثابت شامل هزینه سیستم پیل سوختی و هزینه مربوط به پکیج باتری می‌باشد. زمانی که ظرفیت باتری از ۰ تا ۳۰ A.h افزایش داده می‌شود، قیمت پکیج باتری از ۴۰۰ دلار تا ۱۷۰۰

دلار افزایش می‌یابد و هزینه سیستم پیل سوختی از ۲۳۲۰۰ دلار به ۵۰۰۰ دلار کاهش می‌یابد. هزینه کلی نیز از ۶۰۰۰ دلار به ۲۴۰۰۰ دلار کاهش می‌یابد. درنتیجه خواهیم داشت که افزایش ظرفیت باتری باعث ایجاد کاهش در هزینه ثابت سیستم می‌شود.

قسمت پایینی شکل (۱۳-۴) ارتباط بین هزینه نگهداری روزانه سیستم ( $cost_{ope}$ ) و ظرفیت باتری را زمانی که  $L=300\text{ km}$  می‌باشد، نشان می‌دهد. در این نمودار نیز مشاهده می‌شود هزینه شارژ باتری از شبکه با افزایش ظرفیت باتری، افزایش می‌یابد ولی هزینه مربوط به هیدروژن مصرفی و هزینه کلی با کاهش مواجه می‌شود. درنتیجه خواهیم داشت که افزایش ظرفیت باتری باعث ایجاد کاهش در هزینه نگهداری سیستم می‌شود.



شکل (۱۳-۴): تأثیر ظرفیت باتری بر هزینه ثابت و هزینه نگهداری خودرو

از آنجایی که هر دو نوع هزینه تعریف شده برای خودرو یعنی هزینه های ثابت و نگهداری روزانه خودرو با افزایش ظرفیت باتری، کاهش می‌یابند بنابراین هزینه کلی سیستم ( $cost_{sys}$ ) در کل طول عمر خودرو نیز با افزایش ظرفیت باتری، کاهش می‌یابند.

بر اساس تحلیل‌های انجام‌شده تا این مرحله برای برآورده ساختن شرایط مناسب برای خودروی خانوادگی شهری مطرح‌شده و کاهش هزینه کلی آن، باید از نکته‌های به‌دست‌آمده زیر پیروی نمود:

● جهت رسیدن به زمان شتاب مطرح‌شده در قید، ظرفیت باتری باید بیش از  $A.h$  15 باشد. همچنین برای کاهش هزینه‌های ثابت و نگهداری، ظرفیت باتری باید تا حد امکان زیاد باشد.

● جهت رسیدن به زمان شتاب مطرح‌شده در قید، حداکثر توان خروجی پیل سوختی باید بیش از  $15kw$  باشد.

● برای رسیدن به شرط مربوط به مسافت طی شونده توسط خودرو جرم هیدروژن مخزن باید بیش از  $4.5 kg$  باشد.

با توجه به حدود گفته‌شده و همچنین در نظر گرفتن این نکته که ظرفیت باتری هرچقدر بیش‌تر باشد، هزینه کلی کمتر می‌شود.

مقادیر بهینه به صورت  $(m_{hydro} = 4.5kg, C_{bat} = 30A.h, P_{fc\ max} = 15kw)$  تعریف می‌شود.

### ۴-۳-۱- صحه‌گذاری نتایج به‌دست‌آمده با استفاده از نرم‌افزار ADVISOR

در این قسمت با استفاده از نرم‌افزار ADVISOR نتایج حاصل از انجام محاسبات بهینه‌سازی را برای خودروی پیل سوختی با مشخصات ذکر شده در جدول (۱-۴) در دو سیکل رانندگی تست می‌کیم. در واقع نرم‌افزار با شبیه‌سازی خودرو به ما نشان می‌دهد که آیا خودرو طراحی شده قادر به برآورده ساختن قیود مطرح‌شده می‌باشد؟

### ۴-۳-۲- معرفی نرم‌افزار ADVISOR

نرم‌افزار ADVISOR یک نرم‌افزار شبیه‌سازی خودرو است که شامل مدل‌هایی از خودرو، فایل‌های اجرایی و داده‌های آزمایشگاهی می‌باشد. این نرم‌افزار در سال ۱۹۹۴ تولید گردید و از سال ۱۹۹۸ با انجام بهینه‌سازی به محبوبیت بیشتری دست یافت. از آن تاریخ مؤسسات تحقیقاتی و شرکت‌های

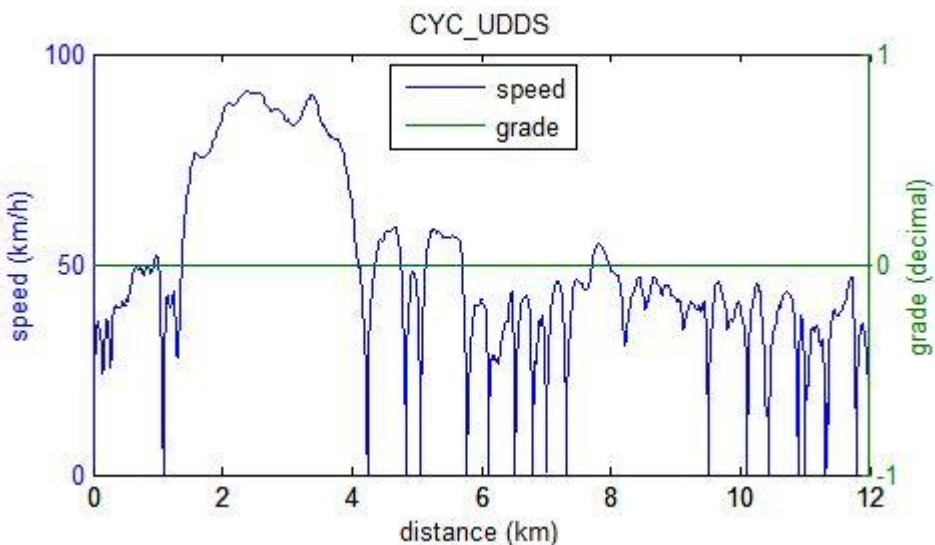
بزرگ خودروسازی در بررسی‌ها و تخمین عملکرد خودروهای تحت طراحی خود از آن بهره گرفته‌اند. این نرم‌افزار می‌تواند عملکرد دینامیکی خودروهای مختلف با کلاس‌ها، سایزها و سیستم‌های نیروی محرکه مختلف را مدل کند و همچنین قادر به شبیه‌سازی خودرو با نیروی محرکه مرسوم، شامل موتور احتراقی و انتقال‌دهنده‌های نیرو، خودروهای برقی و خودروهای هایبرید شامل موتور الکتریکی، باتری، سیستم‌های الکتریکی و کنترلی و موتور احتراقی و سیستم‌های مکانیکی می‌باشد. نرم‌افزار ADVISOR یکی از بهترین و ساده‌ترین نرم‌افزارهای تخصصی در زمینه‌ی طراحی خودروی هایبرید است. کاربران این نرم‌افزار می‌توانند با طی مراحل ساده در درون نرم‌افزار و انتخاب نوع خودروی هایبرید خود، میزان مصرف سوخت و در کل نمودارهای مربوط به آزمون‌های عملی خودرو را با دقت بسیار بالا مشاهده کنند. از این نرم‌افزار در ساخت خودروهای معروفی همچون تویوتا پریوس نیز استفاده شده است. این نرم‌افزار توسط شرکت نرم‌افزاری AVL تولید شده و از سال ۲۰۰۰ تاکنون به عنوان یکی از بهترین نرم‌افزارهای مدل‌سازی و شبیه‌سازی در زمینه‌ی خودرو به جهانیان شناسانده شده است.

#### ۲-۳-۴- شبیه‌سازی در سیکل رانندگی UDDS

مشخصات این سیکل در جدول (۲-۴) و همچنین شکل (۱۴-۴) آورده شده است.

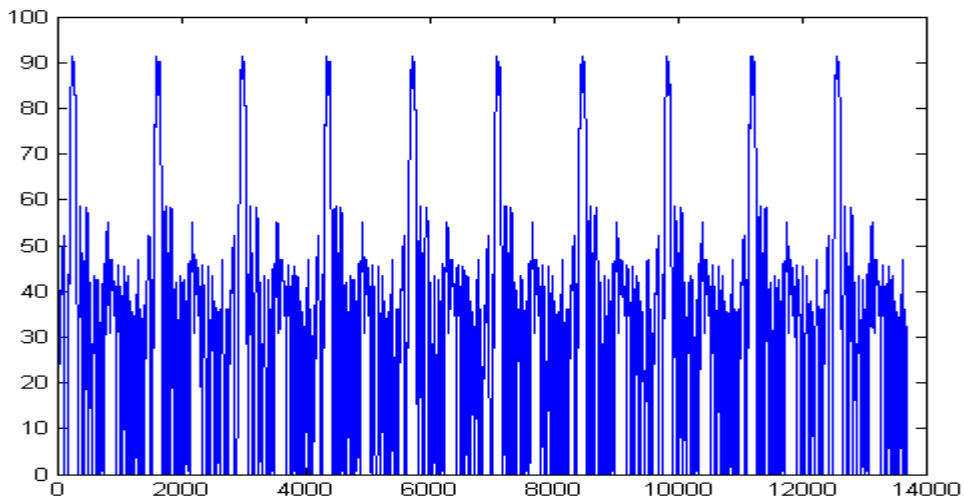
جدول (۲-۴): مشخصات سیکل رانندگی UDDS

سیکل	مدت زمان	مسافت	سرعت متوسط	تعداد ترمز	شتاب متوسط
UDDS	1369 S	11.99 Km	31.51km/h	17	0.5 m/s <sup>2</sup>



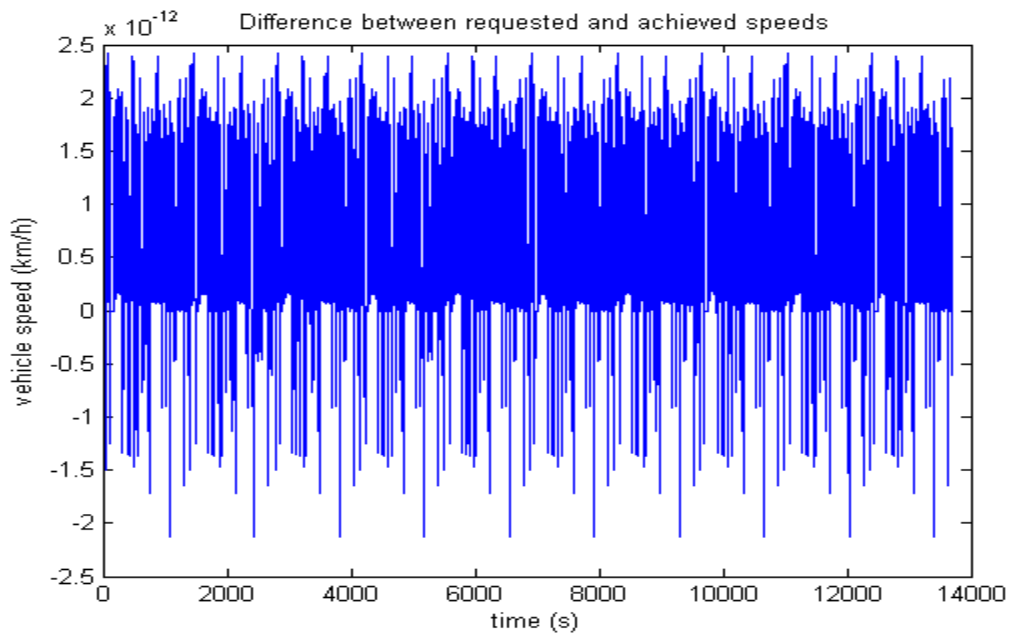
شکل (۱۴-۴): نمودار سرعت بر حسب مسافت در سیکل UDDS

در انجام شبیه‌سازی از این سیکل به صورت ده سیکل پشت سر هم که نتایج آن به صورت زیر می‌باشد.



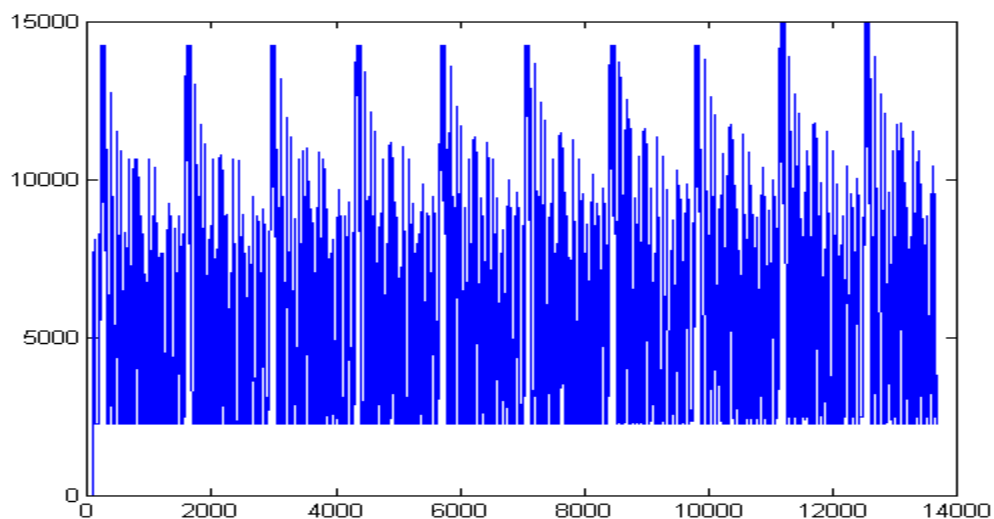
شکل (۱۵-۴): نمودار سرعت بر حسب زمان خودرو طراحی شده در سیکل UDDS

شکل (۱۵-۴) نشان می‌دهد خودرو توانسته سیکل مورد نظر را با توجه به سرعت‌های خواسته شده در سیکل طی کند. در واقع تفاوت سرعت مد نظر سیکل و سرعت خودرو بسیار ناچیز می‌باشد که این تفاوت را در شکل (۱۶-۴) می‌توانیم ببینیم.



شکل (۱۶-۴) تفاوت سرعت استاندارد سیکل و سرعت خودرو

حداکثر توان پیل سوختی در محاسبات 15 kw به دست آمده بود که در اینجا نیز منحنی توان خروجی پیل سوختی در طول زمان حرکت خودرو به صورت شکل (۱۷-۴) بوده است.



شکل (۱۷-۴): توان خروجی پیل سوختی در طول سیکل

حداکثر سرعت محاسبه شده در این سیکل 148.3 km/h و همچنین زمان شتاب (0-50 km/h) نیز 3.8 s به دست آمده است. یعنی قیود مورد نظر ما برآورده شده‌اند.

جدول (۴-۳): نتایج تست حداکثر سرعت و زمان شتاب

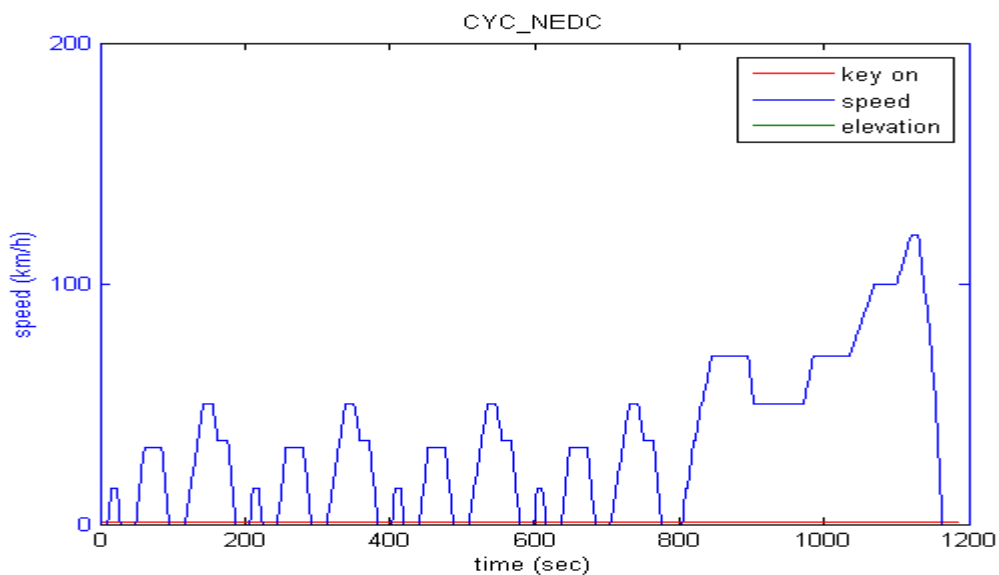
تست خودرو	مقدار
زمان شتاب ( $50-0$ )	4 s
زمان شتاب ( $100-0$ )	17.4 s
حداکثر سرعت	132.1 km/h

### ۳-۳-۴- شبیه‌سازی در سیکل رانندگی NEDC

مشخصات این سیکل در جدول (۴-۴) و همچنین شکل (۱۸-۴) آورده شده است. در انجام شبیه‌سازی از این سیکل نیز به صورت ده سیکل پشت سر هم استفاده شده است. نتایج حاصل از شبیه‌سازی به صورت زیر می‌باشد.

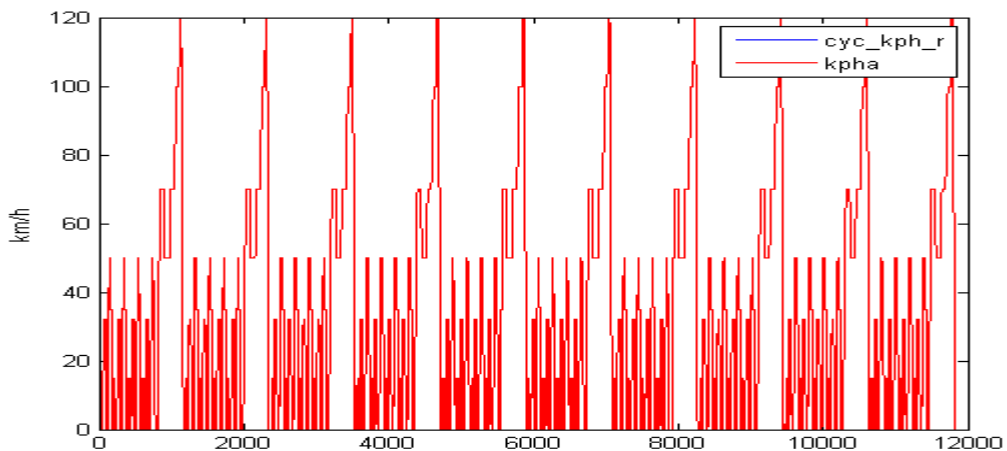
جدول (۴-۴): مشخصات سیکل رانندگی NEDC

سیکل	مدت زمان	مسافت	سرعت متوسط	تعداد ترمز	شتاب متوسط
NEDC	1184 S	10.93 Km	33.21km/h	13	0.54 m/s <sup>2</sup>



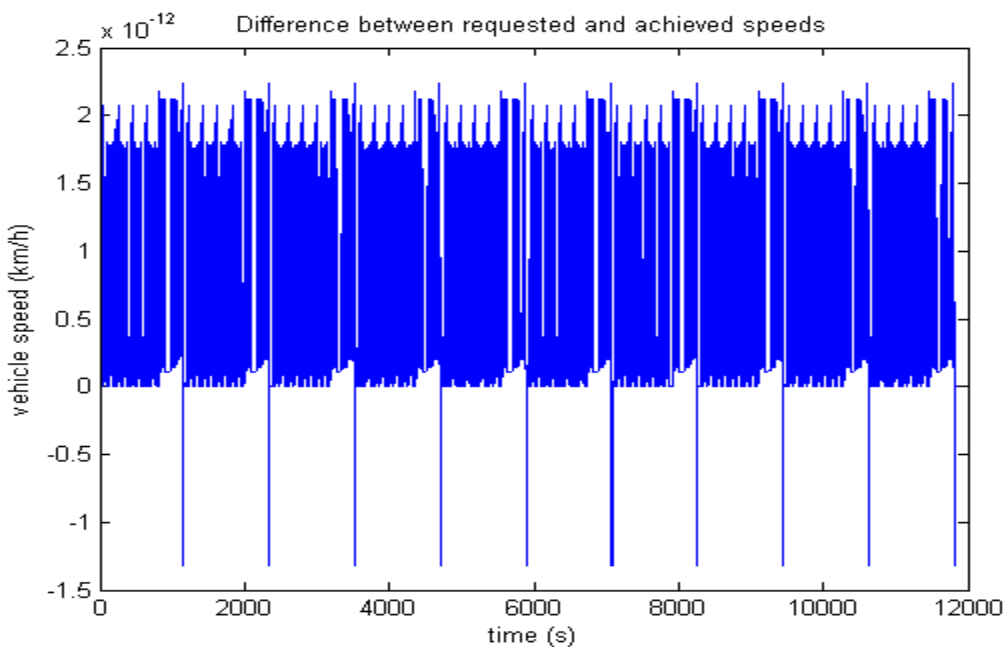
شکل (۱۸-۴): نمودار سرعت بر حسب مسافت در سیکل NEDC

شکل (۱۹-۴) نشان می‌دهد خودرو توانسته سیکل مورد نظر را با توجه به سرعت‌های خواسته شده در سیکل طی کند.



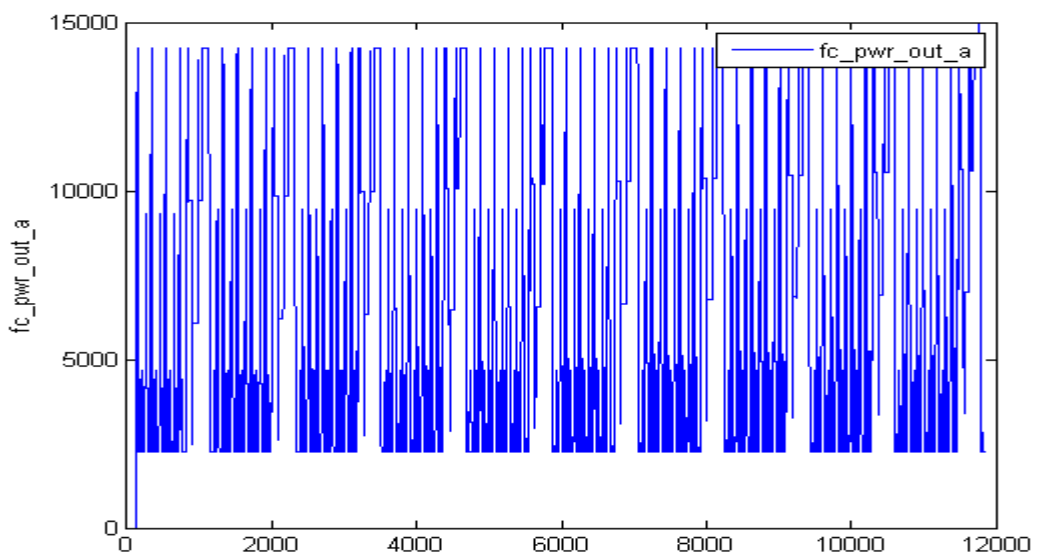
شکل (۱۹-۴): نمودار سرعت بر حسب زمان خودرو طراحی شده در سیکل NEDC

در واقع تفاوت سرعت مد نظر سیکل و سرعت خودرو بسیار ناچیز می باشد که این تفاوت را در شکل (۲۰-۴) می توانیم این تفاوت را ببینیم.



شکل (۲۰-۴) تفاوت سرعت استاندارد سیکل و سرعت خودرو

منحنی توان خروجی پیل سوختی در طول زمان حرکت خودرو به صورت شکل (۲۱-۴) بوده است.



شکل (۲۱-۴): توان خروجی پیل سوختی در طول سیکل NEDC

حداکثر سرعت محاسبه شده در این سیکل ۱۳۲.۱ km/h و زمان شتاب (۰-۵۰ km/h) نیز ۴ به دست آمده است. یعنی قیود مورد نظر ما برآورده شده‌اند.

جدول (۴-۵): نتایج تست حداکثر سرعت و زمان شتاب در سیکل NEDC

تست خودرو	مقدار
زمان شتاب (۵۰-۰)	4 s
زمان شتاب (۱۰۰-۰)	17.4 s
حداکثر سرعت	132.1 km/h

## **فصل پنجم:**

**حل مساله بهینه سازی با  
استفاده از نرم افزار ADVISOR**

## ۱-۵ مقدمه

در این بخش اقدام به بهینه‌سازی پارامترهای انتقال توان در یک خودروی پیل سوختی متصل به شبکه با هدف کمینه ساختن هزینه مربوط به پیل سوختی، باتری و موتور الکتریکی با استفاده از الگوریتم ژنتیک در محیط نرم‌افزار MATLAB با کمک نرم‌افزار ADVISOR می‌نماییم. درواقع با در نظر گرفتن پیل سوختی، باتری، موتور الکتریکی و سطح شارژ باتری به عنوان متغیرهای بهینه‌سازی سعی در انتخاب یک مقدار بهینه برای متغیرهای فوق جهت کمینه کردن هزینه سیستم خودرو پیل سوختی می‌کنیم.

## ۱-۱-۵ الگوریتم ژنتیک

محدوده کاری الگوریتم ژنتیک بسیار وسیع می‌باشد و هر روز با پیشرفت روزافزون علوم و تکنولوژی استفاده از این روش در بهینه‌سازی و حل مسائل بسیار گسترش یافته است. الگوریتم ژنتیک یکی از زیرمجموعه‌های محاسبات تکامل‌یافته هست که رابطه مستقیمی با مبحث هوش مصنوعی دارد. درواقع الگوریتم ژنتیک یکی از زیرمجموعه‌های هوش مصنوعی می‌باشد. الگوریتم ژنتیک را می‌توان یک روش جستجوی کلی نامید که از قوانین تکامل بیولوژیک طبیعی تقلید می‌کند. الگوریتم ژنتیک بر روی یک سری از جواب‌های مسئله به امید به دست آوردن جواب‌های بهتر قانون بقای بهترین را اعمال می‌کند. در هر نسل به کمک فرآیند انتخابی متناسب با ارزش جوابها و تولیدمثل جواب‌های انتخاب‌شده به کمک عملگرهایی که از ژنتیک طبیعی تقلید شده‌اند، تقریب‌های بهتری از جواب نهایی به دست می‌آید. این فرایند باعث می‌شود که نسل‌های جدید با شرایط مسئله سازگارتر باشد. الگوریتم‌های ژنتیک الگوریتم‌هایی هستند که دارای قدرت بسیار زیادی در یافتن جواب مسئله هستند، اما باید توجه داشت که شاید بتوان کاربرد اصلی این الگوریتم‌ها را در مسائلی در نظر گرفت که دارای فضای حالت بسیار بزرگ هستند و عملأ بررسی همه حالت‌ها برای انسان در زمان‌های نرمال (در حد عمر بشر) ممکن نیست. از طرفی باید توجه داشت که حتماً بین حالات مختلف مسئله باید

دارای پیوستگی مناسب و منطقی باشیم. درنهایت الگوریتم‌های ژنتیک این امکان را به ما می‌دهد که دارای حرکتی سریع در فضای مسئله بهسوی هدف باشیم. به گونه‌ای که می‌توانیم تصور کنیم که در فضای حالات مسئله بهسوی جواب مشغول پرواز هستیم. روند کلی بهینه‌سازی و حل مسائل در الگوریتم ژنتیک طبق مراحل زیر است.

۱- شروع(Start): تولید تصادفی یک جمعیت(Population) که شامل تعداد زیادی کروموزوم (روش‌های حل مسئله) می‌باشد.

۲- صحت و درستی(Fitness): ارزیابی صحت برای تابع  $f(x)$  به ازای هر کروموزوم  $x$  در جمعیت.

۳- ایجاد یک جمعیت جدید(New Population): تولید یک جمعیت جدید با انجام تمامی زیرگروه‌های زیر، تا آنکه یک جمعیت جدید ایجاد گردد.

۱-۳- انتخاب(Selection): انتخاب کروموزوم‌های پدر و مادر از جمعیت قبلی با توجه به صحت و درستی آن (Fitness)، بطوریکه هر چه Fitnees بهتر باشد (دقت جواب در همگرایی بیشتر باشد) شانس بیشتری برای انتخاب دارد.

۲-۳- تولیدمثل(Crossover): انجام زادوولد و ایجاد یک نسل جدید.

۳-۳- جهش(Mutation): مشخص شدن مکان فرزند تولیدشده در کروموزوم

۴-۳- پذیرش(Accepting) : جا دادن فرزند جدید در داخل جمعیت.

۴- جایگزینی(Replace): جایگزینی جمعیت جدید به جای جمعیت قبلی و مورداستفاده قرار دادن جمعیت جدید در مراحل بعدی الگوریتم.

۵- امتحان (Test): اگر شرایط مطلوب در حل مسئله ارضا شد اعلام می‌کنیم که به بهترین جواب رسیده‌ایم و از الگوریتم خارج می‌شویم در غیر این صورت به مرحله ۲ می‌رویم و دوباره همین روند را تکرار می‌کنیم.

## ۲-۵ روش حل

در این روش با توجه به مدل‌های مختلف باتری، پیل سوختی و موتور الکتریکی که در جدول‌های زیر مشخصات آن‌ها آورده شده است و همچنین در نظر گرفتن یک سری قیود حداقلی برای خودرو و با استفاده از الگوریتم ژنتیک کار بهینه‌سازی به صورت زیر انجام می‌شود.

جدول (۱-۵) : قیود مورد نظر در مسئله

مقادیر	قيود
$\leq 6$	Time 0-50 km/h (sec)
$\leq 5$	$\Delta_{trace}(\text{km/h})$
$\geq 120$	Top speed(km/h)

جدول (۲-۵): مشخصات کلی خودرو

وزن بدن خودرو	1024 kg
توان جانبی خودرو	2 kw
شعاع چرخ خودرو	0.28 m
ضریب دراگ آبرودینامیکی	0.41
مساحت سطح بادخور جلو	$1.8 \text{ m}^2$

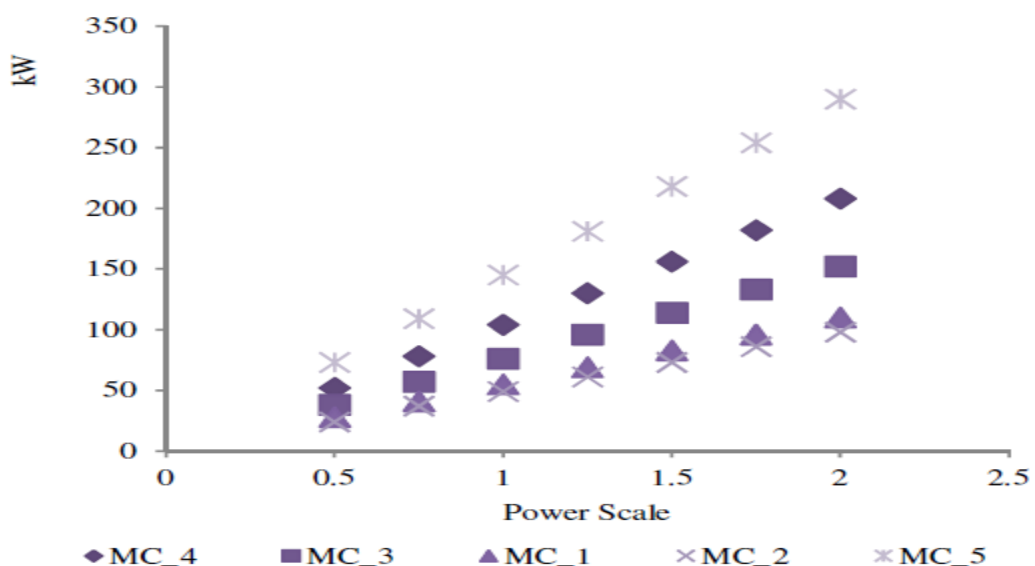
جدول (۳-۵): مشخصات انواع پیل سوختی موجود در ADVISOR

FC component	FC_1	FC_2	FC_3	FC_4	FC_5
nominal power (kW)	32	50	55	33	12
system weight (Kg)	170	223	400	162	115
specific power (kW/kg)	0.188	0.224	0.138	0.204	0.104

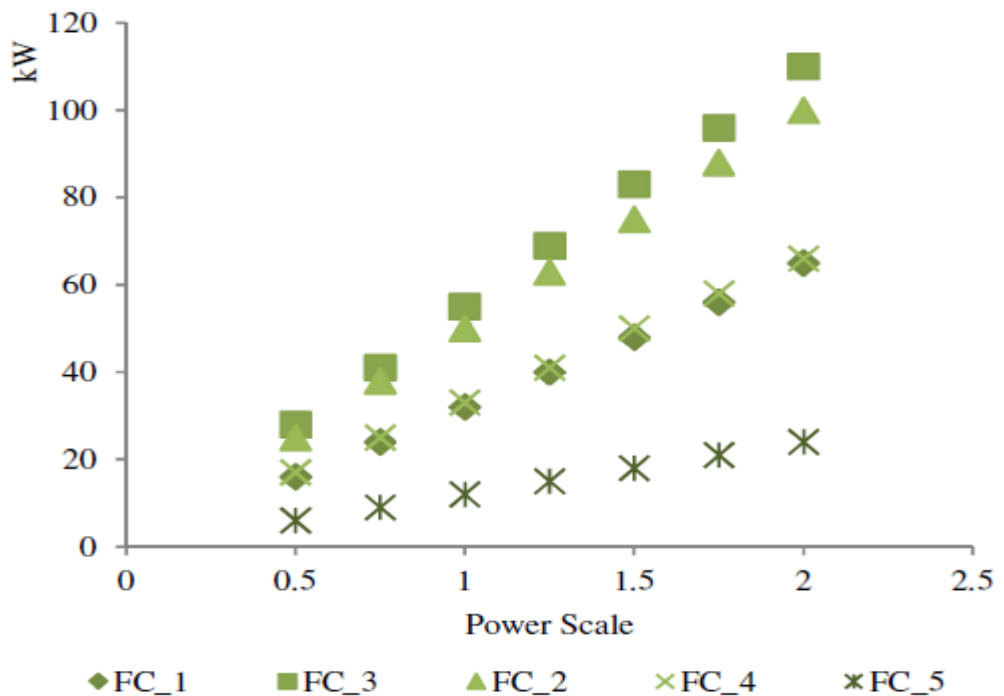
جدول (۴-۵) : مشخصات انواع موتور الکتریکی القایی موجود در ADVISOR

MC component	MC_1	MC_2	MC_3	MC_4	MC_5
nominal power (kW)	55	49	76	104	145
system weight (Kg)	91	60	57	102	66
specific power (kW/kg)	0.604	0.817	1.333	1.02	2.2

علاوه بر متغیرهایی نظیر نوع باتری، نوع پیل سوختی، نوع موتور الکتریکی و سطح شارژ باتری پارامتر دیگری تحت عنوان power scale برای سیستم پیل سوختی و موتور الکتریکی به عنوان یک متغیر مهم در مسئله بهینه‌سازی می‌باشد. نرم‌افزار ADVISOR با استفاده از تابع Scaling function اندازه موتور و پیل سوختی را بر اساس توان خروجی آن‌ها محاسبه می‌کند. در این روش بهینه‌سازی در واقع با تغییر این پارامتر، توان خروجی و وزن پیل سوختی و موتور الکتریکی را تغییر می‌دهد. در واقع مقدار یک برای این پارامتر نشان‌دهنده‌ی توان نامی برای پیل سوختی و موتور الکتریکی هست و محدوده تغییر این پارامتر را بین [۰.۵, ۰.۲] در نظر گرفته‌ایم. در شکل‌های (۱-۵) و (۲-۵) مقادیر توان خروجی پیل سوختی و موتور الکتریکی بر حسب تغییر power scale نشان داده شده است.



شکل (۱-۵) : توان خروجی انواع موتور الکتریکی بر حسب Power scale



شکل (۲-۵): توان خروجی انواع پیل سوختی بر حسب پارامتر Power scale

جدول (۵-۵): مشخصات انواع باتری موجود در ADVISOR

BAT component	BAT_1	BAT_2	BAT_3	BAT_4
battery chemistry	Lithium (module)	Lithium (module)	Lithium (module)	Lithium (module)
nominal voltage (V)	3.7	3.6	3.6	3.6
low limit voltage (V)	2.7	2.5	2.5	2.5
hi limit voltage (V)	4.2	4	4	4
energy capacity (Ah)	40	7	20	30
weight (Kg)	1	0.37	0.8	1.1

در مورد باتری‌ها نمی‌توان از این متغیر استفاده نمود اما در طراحی خودرو برای باتری‌ها می‌توان تعداد

ماژول‌های سری باتری را تغییر داد به همین خاطر تعداد ماژول‌های سری باتری به عنوان یک متغیر

بهینه‌سازی در نظر گرفته می‌شود. درنتیجه کار بهینه‌سازی را با هفت متغیر انجام خواهیم داد که این متغیرها در جدول (۶-۵) آورده شده‌اند.

جدول (۶-۵): حدود متغیرهای مسئله بهینه‌سازی

FC model	FC power scale	MC model	MC power scale	BAT model	BAT mod. number	BAT CS level
FC_1	0.5-2	MC_1	0.5-2	BAT_1	50-200	0.2-0.8
FC_2		MC_2		BAT_2		
FC_3		MC_3		BAT_3		
FC_4		MC_4		BAT_4		
FC_5		MC_5		-----		

## ۱-۲-۵- تابع هدف

تابع هزینه به صورت زیر نوشته می‌شود:

$$\min_x f(x) = \min(\text{FC}_{\text{cost}} (\$) + \text{BAT}_{\text{cost}} (\$) + \text{MC}_{\text{cost}} (\$)) \quad (1-5)$$

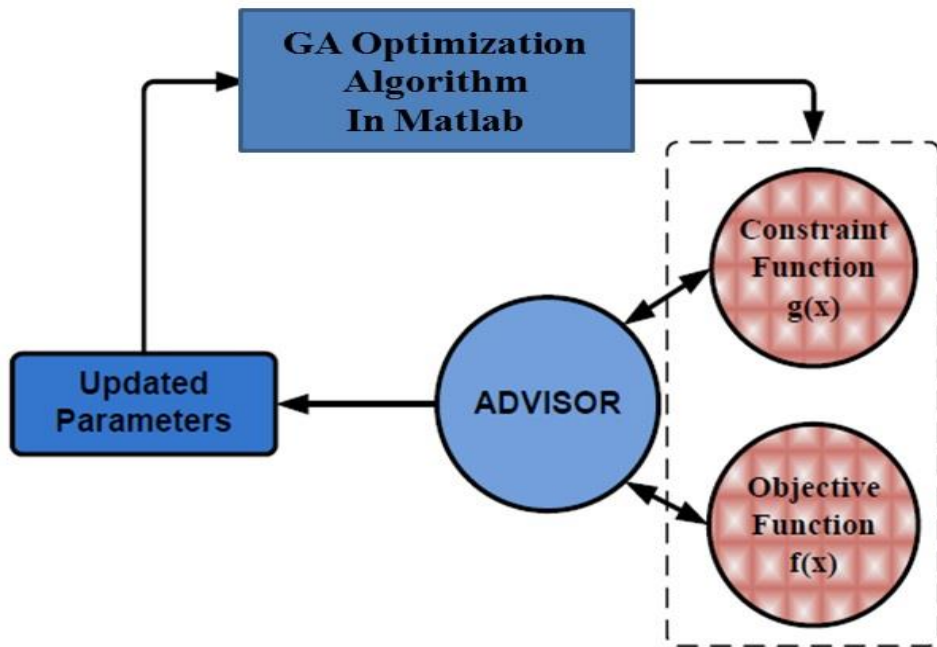
دو قسمت اول تابع هزینه مربوط به پیل سوختی و باتری می‌باشند و در معادله (۱۶-۳) بیان شده-

اند. هزینه موتور الکتریکی نیز به صورت زیر محاسبه می‌شود.

$$MC_{\text{cost}} (\$) = P(20(\frac{P}{m}) + 0.25) \quad (2-5)$$

با مشخص شدن تابع هدف و انتخاب سیکل رانندگی از بین سیکل‌های موجود در نرم‌افزار ADVISOR، اقدام به حل مسئله بهینه‌سازی تک هدفه می‌نماییم. درواقع بهینه‌سازی به این صورت می‌باشد که از بین چند مدل موتور الکتریکی، پیل سوختی و همچنین مقادیر مناسب برای power scale و cs و تعداد مازول باتری بهترین ترکیب که هزینه را حداقل می‌کند و هم قیود موردنظر ما را در سیکل رانندگی برآورده می‌سازد، انتخاب می‌شود. برای حل مسئله به روش الگوریتم ژنتیک، اقدام به تولید یک جمعیت اولیه با ۲۵ کروموزوم می‌کنیم. درواقع هر کروموزوم متشکل از هفت ژن می-

باشد، که همان متغیرهای بهینه‌سازی مسئله هستند. اگر متغیرهای بهینه‌سازی را فقط مدل‌های باقی‌مانده در نظر می‌گرفتیم ۱۰۰ حالت مختلف از ترکیب این متغیرها به وجود می‌آمد ولی با در نظر گرفتن متغیرهای دیگر تعداد ترکیب‌های ممکن بی‌نهایت می‌شود. پس از تولید جمعیت اولیه، هر کروموزوم (خودروی طراحی شده) باید توسط نرم‌افزار ADVISOR در یک سیکل رانندگی ارزیابی می‌شود. برای این کار ازتابع مشخصی به نام `adv_no_gui` که این قابلیت را به ما می‌دهد تا بتوانیم از نرم‌افزار شبیه‌سازی در حلقه‌ی الگوریتم ژنتیک استفاده کنیم.



شکل (۳-۵): استفاده از ADVISOR در الگوریتم ژنتیک

پس از انجام محاسبات به هر ذره یک مقدار برازنده‌ی تعلق می‌گیرد، که به هر ذره با مقدار کمتر رتبه بالاتری اختصاص داده می‌شود. در مرحله بعدی چند جفت کروموزوم با رتبه بالاتری اقدام به تولید-مثل می‌کنند، که از ترکیب والدین دو فرزند ایجاد می‌شود. در گام بعدی فرآیند جهش اتفاق می‌افتد، که این فرآیند باعث تنوع در جمعیت تولیدشده می‌شود و پس از انجام این مرحله فرآیند تولید نسل جدید به پایان می‌رسد. این عمل تا ۱۰۰ نسل تکرار می‌شود و درنهایت بهترین جواب‌ها را خواهیم داشت.

## ۵-۲-۲- نتایج به دست آمده در دو سیکل متفاوت

نتایج حاصل از انجام بهینه سازی در دو سیکل UDDS و NEDC به شرح زیر می باشد.

جدول (۵-۷): نتایج بهینه سازی با استفاده از ADVISOR

CYC	Objective	FC model	FC scale	MC model	MC scale	BAT model	BAT modules	CS level
NEDC	Min Cost	2	1.625	1	0.682	2	50	0.507
UDDS	Min Cost	1	1.438	1	0.685	2	58	0.271

با توجه به نتایج موجود در جدول (۷-۵) مشاهده می شود که برای دو سیکل دلخواه نتایج کمی با هم متفاوت می باشند. در واقع با توجه به هدف تعریف شده جهت حداقل کردن تابع هدف به عنوان مثال برای سیکل NEDC مقادیر بهینه برای پارامترها با این صورت می باشد: پیل سوختی شماره ۲ با ۱.۶۲۵ توان نامی، موتور الکتریکی شماره ۱ با ۰.۶۸۲ توان نامی، باتری شماره ۲ با تعداد ۵۰ مژول و با مقدار  $CS = 0.507$ .

جدول (۸-۵) : پارامترهای الگوریتم ژنتیک

پارامتر	مقدار
<b>Population size</b>	<b>25</b>
<b>Generation</b>	<b>100</b>
<b>Mutation probability</b>	<b>0.1</b>
<b>Crossover probability</b>	<b>0.8</b>



## **فصل ششم:**

# **نتیجہ گیری و پیشنهادات**

## ۱-۶- نتیجه‌گیری

در این پایان‌نامه ابتدا یک مدل توصیف‌کننده ارتباط بین پارامترهای انتقال توان ( ظرفیت باتری، مقاومت الکتریکی باتری، حداکثر توان پیل سوختی، راندمان پیل سوختی، جرم هیدروژن مخزن و توان جانبی) و عملکرد خودرو (حداکثر سرعت، زمان شتاب، مسافت  $L_1$  و مسافت  $L_2$  ) برای یک خودروی پیل سوختی با مشخصات خودروی سواری پراید پیشنهاد داده‌ایم. در مدل پیشنهادشده مشخص شده است که در محدوده کاری موتور الکتریکی، نتایج زیر را خواهیم داشت.

- ✓ با افزایش حداکثر توان پیل سوختی، حداکثر سرعت خودرو با شیب  $1.22 \text{ km(h kw)}^{-1}$  تا حداکثر توان پیل سوختی برابر با  $33 \text{ kw}$  افزایش می‌یابد.
- ✓ با افزایش ظرفیت باتری، حداکثر سرعت خودرو تقریباً به صورت خطی و با شیب  $1.6 \text{ km.h}^{-2} \text{ A}^{-1}$  افزایش می‌یابد.
- ✓ با افزایش مقاومت متوسط باتری، حداکثر سرعت خودرو با شیب  $-3.2 \text{ km(h.m}\Omega\text{)}^{-1}$  کاهش می‌یابد.
- ✓ با افزایش توان جانبی خودرو، حدکثر سرعت با شیب  $-0.625 \text{ km(h.kw)}^{-1}$  کاهش می‌یابد.
- ✓ با افزایش حداکثر توان پیل سوختی، زمان شتاب خودرو با شیب  $-0.13 \text{ s kw}^{-1}$  کاهش می‌یابد.
- ✓ با افزایش توان جانبی خودرو، زمان شتاب با شیب  $0.375 \text{ s(kw)}^{-1}$  افزایش می‌یابد.
- ✓ با افزایش ظرفیت باتری زمان شتاب به صورت غیرخطی دچار کاهش می‌شود. به عنوان مثال وقتی ظرفیت باتری  $10A.h$  باشد زمان شتاب  $10$  ثانیه می‌باشد و در ظرفیت‌های بیشتر زمان شتاب کاهش می‌یابد. با افزایش مقاومت متوسط باتری، زمان شتاب به صورت غیر خطی افزایش می‌یابد.

✓ مسافت طی شونده خودرو توسط توان حاصل از پیل سوختی  $L_1$  به صورت خطی با افزایش راندمان پیل و جرم هیدروژن ذخیره شده پیل افزایش می‌یابد.

✓ مسافت طی شونده  $L_1$  به صورت خطی و با شیب  $7 \text{ km kw}^{-1}$ - با افزایش توان جانبی خودرو کاهش می‌یابد.

✓ مسافت طی شونده توسط خودرو در حالت CD یعنی زمانی که فقط از باتری جهت حرکت خودرو استفاده می‌شود با افزایش ظرفیت باتری، با شیب تقریبی  $0.8 \text{ km(Ah)}^{-1}$  افزایش می‌یابد. با افزایش مقاومت متوسط باتری این مسافت به صورت خطی کاهش می‌یابد.

✓ مسافت طی شونده توسط خودرو در حالت CD به صورت خطی و با شیب  $0.5 \text{ km kw}^{-1}$ - با افزایش توان جانبی خودرو دچار کاهش می‌شود.

بر اساس تحلیل‌های انجام شده تا این مرحله برای برآورده ساختن شرایط مناسب برای خودروی خانوادگی شهری مطرح شده و کاهش هزینه کلی آن و با در نظر گرفتن این نکته که با افزایش ظرفیت باتری در مسافت و زمان ثتاب ثابت معین شده هزینه کلی خودرو کاهش می‌یابد و اشتراک گرفتن از سه ناحیه مجاز به دست آمده از شکل‌های (۴-۷) تا (۴-۱۲)، باید از نکته‌های به دست آمده زیر پیروی نمود:

● جهت رسیدن به زمان شتاب مطرح شده در قید، ظرفیت باتری باید بیش از ۱۵ A.h باشد. همچنین برای کاهش هزینه‌های ثابت و نگهداری، ظرفیت باتری باید تا حد امکان زیاد باشد.

● جهت رسیدن به زمان شتاب مطرح شده در قید، حداکثر توان خروجی پیل سوختی باید بیشتر از  $15 \text{ kw}$  باشد.

● برای رسیدن به شرط مربوط به مسافت طی شونده توسط خودرو جرم هیدروژن مخزن باید بیشتر از  $4.5 \text{ kg}$  باشد.

با توجه به حدود گفته شده و همچنین در نظر گرفتن این نکته که ظرفیت باتری هرچقدر بیشتر باشد، هزینه کلی کمتر می شود.

مقادیر بهینه به صورت  $(m_{hydro} = 4.5kg, C_{bat} = 30A.h, P_{fc\ max} = 15kw)$  تعریف می شود.

## ۲-۶- پیشنهادات

باتوجه به اینکه در این پایان نامه بهینه سازی با استفاده از معادله دینامیک خودرو انجام شده است و همچنین در محاسبه مسافت طی شونده خودرو از سیکل سرعت ثابت استفاده شده است، برای کارهای آینده موارد زیر یشنهداد می شود.

- ✓ با طراحی سیکل های داخل کشور و در نظر گرفتن این سیکل ها اقدام به طراحی بهینه یک خودرو با حداقل مصرف سوخت و حداکثر مسافت طی شونده کنیم.
- ✓ سیتم های ذخیره ساز انرژی به عنوان حیاتی ترین قسمت از خودروهای هایبریدی هستند. هزینه نگهداری و جایگزینی باتری ها به طول عمر و دوام آنها بستگی دارد. ازین رو منطقی می باشد که به طراحی یک استراتژی کنترلی دقیق و بهینه برای افزایش طول عمر باتری ها پرداخته شود.
- ✓ شبیه سازی خودرو در دما و شرایط آب و هوایی نرمال انجام شده است. برای شبیه سازی دقیق تر می توان شرایط دمایی و آب و هوایی مختلف را در نظر گرفت.
- ✓ با افزایش متغیرهای بهینه سازی مرتبط با کنترلرها می توان بهینه سازی دقیق تری انجام داد.

## مراجع

- [1] Chan, C. C. (2007). The state of the art of electric, hybrid, and fuel cell vehicles. Proceedings of the IEEE, 95(4), 704-718.
- [2] Dockery, D. W., Pope, C. A., Xu, X., Spengler, J. D., Ware, J. H., Fay, M. E., ... & Speizer, F. E. (1993). An association between air pollution and mortality in six US cities. New England journal of medicine, 329(24), 1753-1759.
- [3] [www.fcc.gov.ir/FuelCell-Usage.aspx](http://www.fcc.gov.ir/FuelCell-Usage.aspx)
- [4] <http://www.toyota.com/hybrid/>
- [5] Ehsani, M., Gao, Y., & Emadi, A. (2009). Modern electric, hybrid electric, and fuel cell vehicles: fundamentals, theory, and design. CRC press.
- [6] Kumar, L., Gupta, K. K., & Jain, S. (2013, May). Architecture and configuration of electrified vehicles: A review. In Industrial Electronics (ISIE), 2013 IEEE International Symposium on (pp. 1-6). IEEE.
- [7] Bilgin, B., Emadi, A., & Krishnamurthy, M. (2012, June). Switched reluctance generator with higher number of rotor poles than stator poles. In Transportation Electrification Conference and Expo (ITEC), 2012 IEEE (pp. 1-6). IEEE.
- [8] Emadi, A., Rajashekara, K., Williamson, S. S., & Lukic, S. M. (2005). Topological overview of hybrid electric and fuel cell vehicular power system architectures and configurations. Vehicular Technology, IEEE Transactions on, 54(3), 763-770.
- [9] Chau, K. T., & Wong, Y. S. (2002). Overview of power management in hybrid electric vehicles. Energy Conversion and Management, 43(15), 1953-1968.
- [10] Ghorbani, R., Bibeau, E., & Filizadeh, S. (2010). On conversion of hybrid electric vehicles to plug-in. Vehicular Technology, IEEE Transactions on, 59(4), 2016-2020.
- [11] Nemry, F., Leduc, G., & Muñoz, A. (2009). Plug-in Hybrid and Battery-Electric Vehicles: State of the research and development and comparative analysis of energy and cost efficiency (No. JRC54699). Institute for Prospective and Technological Studies, Joint Research Centre.

- [12] Kramer, B., Chakraborty, S., & Kroposki, B. (2008, November). A review of plug-in vehicles and vehicle-to-grid capability. In Industrial Electronics, 2008. IECON 2008. 34th Annual Conference of IEEE (pp. 2278-2283). IEEE.
- [13] Gao, Y., & Ehsani, M. (2010). Design and control methodology of plug-in hybrid electric vehicles. *Industrial Electronics, IEEE Transactions on*, 57(2), 633-640.
- [14] Wu, J., Yuan, X. Z., Martin, J. J., Wang, H., Zhang, J., Shen, J., ... & Merida, W. (2008). A review of PEM fuel cell durability: degradation mechanisms and mitigation strategies. *Journal of Power Sources*, 184(1), 104-119.
- [15] Rodatz P, Paganelli G, Sciarretta A, Guzzella L.(2005). Optimal power management of an experimental fuel cell/super capacitor-powered hybrid vehicle. *Control Energy Pract*,13(1), 41–53.
- [16] Lin, C. C., Peng, H., Grizzle, J. W., & Kang, J. M. (2003). Power management strategy for a parallel hybrid electric truck. *Control Systems Technology, IEEE Transactions on*, 11(6), 839-849.
- [17] Jain, M., Desai, C., Kharma, N., & Williamson, S. S. (2009, November). Optimal powertrain component sizing of a fuel cell plug-in hybrid electric vehicle using multi-objective genetic algorithm. In Industrial Electronics, 2009. IECON'09. 35th Annual Conference of IEEE (pp. 3741-3746). IEEE.
- [18] Wu, Y., & Gao, H. (2006). Optimization of fuel cell and supercapacitor for fuel-cell electric vehicles. *Vehicular Technology, IEEE Transactions on*, 55(6), 1748-1755.
- [19] Cai, Q., Brett, D. J. L., Browning, D., & Brandon, N. P. (2010). A sizing-design methodology for hybrid fuel cell power systems and its application to an unmanned underwater vehicle. *Journal of Power Sources*, 195(19), 6559-6569.
- [20] Xu, L., Ouyang, M., Li, J., Yang, F., Lu, L., & Hua, J. (2013). Optimal sizing of plug-in fuel cell electric vehicles using models of vehicle performance and system cost. *Applied Energy*, 103, 477-487.
- [21] Xu, L., Yang, F., Li, J., Ouyang, M., & Hua, J. (2012). Real time optimal energy management strategy targeting at minimizing daily operation cost for a plug-in fuel cell city bus. *International Journal of Hydrogen Energy*, 37(20), 15380-15392.

- [22] Xu, L. F., Hua, J. F., Li, X. J., Meng, Q. R., Li, J. Q., & Ouyang, M. G. (2008, September). Control strategy optimization of a hybrid fuel cell vehicle with braking energy regeneration. In Vehicle Power and Propulsion Conference, 2008. VPPC'08. IEEE (pp. 1-6). IEEE.
- [23] Paganelli, G., Delprat, S., Guerra, T. M., Rimaux, J., & Santin, J. J. (2002). Equivalent consumption minimization strategy for parallel hybrid powertrains. In Vehicular Technology Conference, 2002. VTC Spring 2002. IEEE 55th (Vol. 4, pp. 2076-2081). IEEE.
- [24] Lin, C. C., Peng, H., & Grizzle, J. W. (2004, June). A stochastic control strategy for hybrid electric vehicles. In American Control Conference, 2004. Proceedings of the 2004 (Vol. 5, pp. 4710-4715). IEEE.
- [25] Zhang, X., Mi, C. C., Masrur, A., & Daniszewski, D. (2008). Wavelet-transform-based power management of hybrid vehicles with multiple on-board energy sources including fuel cell, battery and ultracapacitor. Journal of Power Sources, 185(2), 1533-1543.
- [26] Segura, F., & Andújar, J. M. (2012). Power management based on sliding control applied to fuel cell systems: A further step towards the hybrid control concept. Applied Energy, 99, 213-225.
- [27] Xu, L., Li, J., Hua, J., Li, X., & Ouyang, M. (2009). Optimal vehicle control strategy of a fuel cell/battery hybrid city bus. international journal of hydrogen energy, 34(17), 7323-7333.
- [28] Barai, A. , Guo, Y. , McGordon, A. , & Jennings, P. (2013, December). A study of the effects of external pressure on the electrical performance of a lithium-ion pouch cell. In Connected Vehicles and Expo (ICCVE), 2013 International Conference on (pp. 295-299). IEEE.

## **Abstract:**

In this thesis, two methods for optimal sizing of power sources in plug-in fuel cell electric vehicle have been introduced. At first, a theoretical model is presented to describe the relationship between components' parameters and vehicle performance. It is understood that when the electric motor works in a normal mode, the maximum velocity and driving distance are influenced linearly by the parameters of the components, e.g. fuel cell efficiency, fuel cell output power, stored hydrogen mass, vehicle auxiliary power, battery capacity, and battery average resistance. Next, It is proposed an optimal sizing method for hybrid powertrains that minimize fixed and operation costs of plug-in fuel cell electric vehicle. Where fixed cost is the fixed cost of the fuel cell system and battery packages and operation cost is the lifetime operation cost of the two power sources (hydrogen and electricity). By solving the optimization problem and obtain the optimal values, it is confirmed the performance accuracy of vehicle by using ADVISOR software by implementing in two standard cycles.

**Keywords:** Electric vehicles, Fuel cell, Battery, Hybrid fuel cell electric vehicle, Plug-in, Optimal sizing, Cost function.





Shahrood University of Technology

Department of Electrical and Robotic Engineering

## **Optimal sizing of power sources in plug-in fuel cell electric vehicles**

By:  
**Seyed Reza Azizi Ghalesari**

Supervisor:

**Dr.Amin Hajizadeh**

Advisor:

**Dr.Morteza Rahimian**

**Date : Januray 2015**